

Souznění vesmíru a člověka

z celostního psychotronického pohledu



Karel Bartušek

Souznění vesmíru a člověka
z celostního psychotronického pohledu
prof. Karel Bartušek, DrSc.
©2018, bar@isibrno.cz
vydáno vlastním nákladem
v elektronické podobě v roce 2018

Obsah

Úvod.....	5
Složení hmoty.....	7
První dílčí závěr o hmotě ve vesmíru	9
Hypotéza o struktuře vesmíru	10
Druhý dílčí závěr o struktuře vesmíru	14
Malý dodatek k velkému třesku, rozpínání vesmíru	15
Bioenergetické vlny.....	16
Co jsou bioenergetické vlny?.....	16
Bioenergetické a interferenční pole člověka, čakry	16
Šíření bioenergetických vln	17
Průchod bioenergetických vln různými materiály	17
Polopropustné struktury	18
Odraz bioenergetických vln	20
Izolovaný prostor	20
Ohyb bioenergetických vln	21
Záznam bioenergetického pole.....	23
Vlastnosti přenosových médií.....	25
Přenosové karty.....	27
Zesilovač bioenergetických vln	28
Třetí dílčí závěr o bioelektrických polích	30
Člověk	31
Úvahy o zemi a člověku	31
Co je prvotní?	31
Duše člověka.....	31
Fyzické tělo	33
Fyzické tělo, myšlení a duchovno	35
Fyzikální vlastnosti buněk.....	38
Jaké vlastnosti buněk jsou pro člověka významné?	39
Čtvrtý dílčí závěr o člověku.....	40
Úroveň bioenergetického pole člověka	43
Úvahy o úrovni bioenergetického pole člověka	43
Úměrnost energie a průměru otáčení kyvadla	47
Pátý dílčí závěr o úrovni bioenergetického pole	48
Zvláštnosti detekce kyvadlem	49
Zpětnovazební systém s kyvadlem.....	49
Detekce magnetického pole člověkem	51
Interferenční elektromagnetická pole.....	54
Vliv pohybu okolních materiálů na detekci kyvadlem.....	58
Chování kyvadla nad magnetickým polem.....	60
Šestý dílčí závěr o kyvadle	62

Voda	63
Elektromagnetické pole molekul vody	63
Uspořádaná struktura vody	66
Některé vybrané vlastnosti vody	67
Způsoby aktivace molekul vody	68
Speciální magnetické pole	69
Uspořádanost molekul vody statickým elektrickým polem	70
Akumulátory bioenergetického pole.....	71
Co dokáže zmrazení vody?	71
Mentální spektrálně-spinová úprava molekul vody	72
Mentální sfázování vln subčástic elektronů a jader	73
Aktivace vody přenosem z vody referenční	73
Konstrukce a charakteristika akumulátorů bioenergetického pole	74
Akumulátor ve tvaru kvádrů.....	74
Izolovaný prostor	75
Akumulátor ve tvaru koule.....	75
Akumulátor ve tvaru vejce	77
Vliv aktivované vody na zdraví člověka	77
Experimenty s akumulátorem bioenergetického pole	78
Vybíjení kondenzátoru v akumulátoru	78
Vliv šroubovicového gradientního magnetického pole na iontovou vodivost vody	79
Změna smáčecího úhlu vody	83
Porovnání vlastností upravených a aktivovaných vod	84
Testování vody aktivované pomocí titanové pyramidy	86
Vlastnosti různých aktivovaných vod	87
Mentální spektrálně spinové působení na hmotu	87
Vliv magnetického pole na uspořádanost klastrové struktury.....	89
Vliv elektrického pole na uspořádanost struktury vody.....	91
Elektromagnetické pole molekul vody v úzkém válci.....	94
Vliv statického magnetického pole na elektromagnetické pole molekul vody.....	95
Sedmý dílčí závěr o vodě	98
Závěr.....	100
Literatura	101
Příloha	102
Spirálový anténní systém	102
Laserový paprsek.....	104
Vysílač 3,5 GHz	104
Světelné pole.....	104

Úvod

Zdraví je naší nejcennější devizou, kterou máme. Rozhlédněte se však kolem sebe. Uvidíme, že na jedné straně se postupně prodlužuje lidský život a na druhé straně trpí nějakou nemocí stále mladší lidé. Lékařskou péčí se daří přece jenom snížit úmrtnost pacientů, ovšem na úkor dlouhodobého konzumování velkého množství léků, které v mnoha případech jsou léky na potlačení bolesti nebo léky s negativními účinky, které následně napravujeme jinými léky. Představme si, zda má pacient trpící bolestmi kloubů, páteře nebo jinými problémy plnohodnotný život. Často od pacientů slýchávám povzbuzující lékařská doporučení, že se s jejich nemocí musí naučit žít. Je však s podivem, kolik lidí si s banálními problémy neumí samo poradit, nebo kolik jedinců si svými nevhodnými návyky snižuje šanci žít dlouhodobě ve zdraví. Přitom se jedná o jednoduché postupy a návyky, které je však nutné aplikovat co nejdříve nebo mnohdy i preventivně.

Můj pohled na neživý i živý svět byl po dlouhou dobu čistě materiální. Vyrůstal jsem v západním světě a všechno moje poznání odpovídalo přístupům západního světa k výchově mladých lidí. Moje rozhodování bylo založeno na podvědomých pocitech. Postupem času se moje materiální poznání posouvalo směrem k mentálnímu chápání materiálu. Tento posun vycházel ze snahy pomocí fyzikálních parametrů a jejich změn charakterizovat reakce na mentální léčení některými léčiteli. Měření se sice nedařilo, ale v oblasti psychotroniky jsem prošel celou řadou pokusů a omylů. S využitím postupných psychotronických reakcí lidí a důkazů, které jsem zkoušel, jsem si stavěl svůj mentální svět. Ten se postupně odlišoval od stávajících literárních popisů. Stále zůstával a zůstává na poli fyzikálních zkušeností ovšem rozšířený o fyzikální pole odpovídající našim myšlenkám. Všechny moje závěry byly kontrolovány reakcemi lidí na mentální působení, v mnoha případech následným lékařským vyšetřením a statistickým zhodnocením mentálního působení.

V současné době v oblasti poznání podstaty našeho světa i oblasti zdraví člověka soustřeďujeme hlavní pozornost naši mysli na racionální a materiální svět. Naše vědecké myšlení se ubírá přes materiální důkazy postupně hlouběji do všech oblastí lidského bytí a do subatomární struktury živé i neživé hmoty. Takové hluboké soustředění na materiální svět každého z nás postupně oddaluje od našich pocitů a vjemů. Tyto vjemy jsou v současné době u mnohých lidí zcela zablokovány a velmi těžko je jedinec bez silné vůle může pocítit znovu.

Jednou z možností, jak lidem pomoci, je mentální diagnostika a terapie. Základní zkušenosti byly popsány v knize Mentální léčení fyzikální silou myšlenky [1]. Základem mentální diagnostiky a terapie je fyzikální podstata buněk lidského organismu, jejich funkce a také schopnost terapeuta reagovat na odezvu pacienta, jako odpověď na přesně formulovanou stimulaci či mentální dotaz. Podstatná je i schopnost terapeuta získat ve své mysli žádanou informaci. Forma detekce bioenergetických polí bývá různá, ale ve většině případů se jedná o biologickou zpětnou vazbu v terapeutově těle. V každém případě každá buňka má kolem sebe bioenergetické pole, které je vázáno na strukturu a stavbu buňky až do nejmenší úrovně. Proto je poznání těchto souvislostí pro pochopení psychotronických jevů velmi důležité a základní.

Psychotronika v současné době zahrnuje širokou oblast lidského poznání. Na jedné straně jsou to jevy související s vesmírem, s jeho zákony a v důsledku toho se stavbou hmoty na úrovni makroskopické a mikroskopické včetně částic v nanomilimetrových rozměrech. Na druhé straně existuje mnoho známých a mnohdy těžko vysvětlitelných postupů pro udržení zdraví člověka nebo pro pomoc rostlinám a zvířatům mít klidný a vyrovnaný život.

Není náhodou, že pohyby planet, sluncí, hvězd a galaxií se jeví podobně i v mikrostruktuře hmoty. Tento pohled vede psychotroniku využívat „volnou energii“ ve prospěch člověka a ke

stavbě různých technických zařízení určených pro přeměnu této energie v energii fyzice známé.

Naskýtá se tedy myšlenka, že původ chování vnitřní struktury na zemi je stejný, jako původ chování vesmíru. Současný model stavby hmoty popisovaný pomocí mechanistické a kvantové fyziky v budoucnosti těžko obstojí. Popis hmoty a jejího chování musí být především jeden a musí popisovat všechny známé jevy ve vesmíru. Fyzika má hodně paradigmat (souhrn základních domněnek, předpokladů, představ dané skupiny vědců). Ke každému paradigmatu patří i metodická pravidla řešení, intuitivní postoje a hodnocení problémů. Kromě toho na světě existuje mnoho nevysvětlitelných jevů. Týká se to i temné hmoty nebo černých děr ve vesmíru. Proto časem vznikne nové paradigma vysvětlující současný svět na základě nových pohledů a fyzikálních struktur.

V současné době existuje několik nových teorií nebo hypotéz popisující stavbu hmoty. S mojí empirickou představou o hmotě a jejím chování dobře koreluje prstencová teorie struktury hmoty. Podle ní lze sférický objekt nebo hmotný bod zaměnit za jinou elementární geometrii, a to například prsteneček. Podle této teorie má jádro atomů strukturu, která je rozhodující a určující pro podobu atomů. Elektronové se nepohybují v pravděpodobnostních orbitalech, ale udržují se na konkrétních místech určených strukturou jádra a rovnováhou elektromagnetických sil.

Experimentálními psychotronickými metodami lze dojít k představě, že existují struktury tvořící elektron s rozměry daleko menšími, než má elektron. Důležité také je, že existují fyzikální pole a mentální působení, pomocí kterých je možné uspořádat spiny elektronů včetně jejich subčástic, spiny jader a celých molekul do uspořádaných struktur. Tyto struktury mají vyšší energii a kladně ovlivňují funkci buněk živých organismů.

V experimentech s chováním živé i neživé hmoty bylo ukázáno, že v přírodě se silně projevuje interakce hmoty s elektromagnetickými poli. Je to viditelné na postupech při aktivaci vody, při kterých se fyzikálními poli ovlivňuje prostorové uspořádání spinů atomů, jejich substruktur a molekul. Lze také ovlivnit šířku frekvenčního pásma elektromagnetického pole vlnění hmoty.

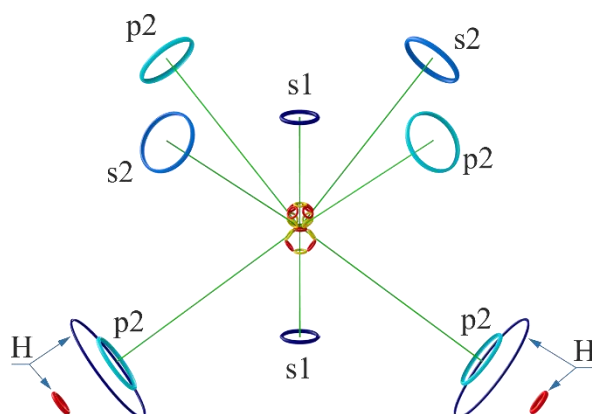
Tato kniha je určena především zájemcům o zajímavou a přitom jednoduchou oblast psychotroniky, o používání lidské myšlenky k nápravě jak našeho fyzického, tak i duchovního těla. Současně správně formulovaná myšlenka nás může dovést k odpovědím na zajímavé jevy doposud známé i neznámé. Kniha shrnuje poznatky a zkušenosti z experimentů vedoucích k prohloubení poznání chování živé i neživé hmoty na Zemi. Hypotéza o struktuře vesmíru naznačuje jiný pohled na vesmír a hmotu v něm. Zajímavou je i část zabývající se aktivací vody čistě fyzikálními elektromagnetickými poli. Způsoby aktivace vody prohlubují poznání o stavbě hmoty a zároveň vzniká voda se specifickým uspořádáním atomů prospěšná lidskému organismu. Cíleně se kniha nezabývá metodami a postupy mentální diagnostiky a způsoby působení na pacienty. Toto téma je natolik specifické, že je nelze popisovat dohromady s technickým popisem fyzikálních jevů.

V knize je ukázán fyzikální pohled na léčitelství proto, aby se léčitelství přiblížilo medicíně, snížil se počet odpůrců z řad odborníků z různých oborů a podnítilo tyto odborníky hledat cestu k potřebným důkazům. Mnoho léčebných mentálních myšlenek je možné převést na působení přesně definovanými fyzikálními poli malých energií. Věřím, že sestrojení diagnostického přístroje na bázi reakce lidského těla na definovanou a cílenou stimulaci bude v krátké době možné.

Složení hmoty

Fyzikové již velmi dávno vytvořili model hmoty a doposud jej stále doplňují o nově zjištěné poznatky podložené experimenty. Model hmoty je založen na částicích nesoucí náboj, které jsou k sobě přitahovány elektromagnetickými a jadernými silami. Postupně byl vytvořen model atomu, jehož základem je jádro, kolem kterého obíhají elektrony. Je jich různý počet a pomocí výběrových pravidel elektrony existují na příslušných orbitech kolem jádra. Samotné jádro se skládá z kvarků. Takový systém je podložen mnoha experimenty dokládající správnost modelu hmoty. Existují však výjimky, které nejsou uspokojivě vysvětleny a podloženy experimenty. Nejjednodušším příkladem je voda, která se ochlazováním smršťuje a při teplotě 4°C má nejmenší objem. Dalším ochlazováním se začne roztahovat a objem se zvětšuje. Z jakého důvodu tento jev nastává, není jasně vysvětleno.

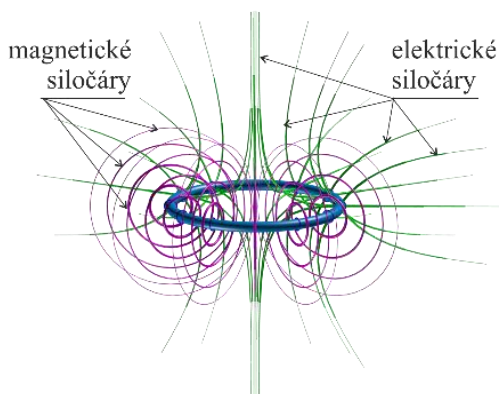
V současné době existuje několik nových teorií nebo hypotéz popisující stavbu hmoty. Jednou z nich, která dobře koreluje s mojí empirickou představou, je prstencová teorie (PT) struktury hmoty [2]. Podle ní lze sférický objekt nebo bod zaměnit za jinou elementární geometrii, a to například prstenec. Vznikne tak další nový směr možného strukturálního pojetí hmoty. Podle této teorie má jádro atomů strukturu, která je rozhodující a určující pro podobu atomů. Elektrony se nepohybují v pravděpodobnostních orbitalech, ale levitují na konkrétních místech určených strukturou jádra a rovnováhou elektromagnetických sil. Levitace znamená, že elektrony a jádra se udržují ve vzájemné poloze ve stavu vyvážení přitažlivých sil elektrického pole a odpuzivých sil tvořených magnetickým polem. To platí i v případě jakýchkoliv látek nebo molekul a také pro celou hmotu, kterou máme ve svém okolí. Vzhledem k jinému pohledu na topologické uspořádání a strukturu atomů, která nepotřebuje ke svému základnímu popisu nijak komplikovaný a složitý matematický aparát, se stane struktura hmoty jednodušší pro pochopení a lze si ji i snadněji představit. Matematické modely a jejich interpretace se stanou jednoduššími, tím i časově méně náročnými. Lze tak vysvětlit některé jevy, dosud standardním modelem nevysvětlitelné. Ve svém důsledku lze nacházet nová vysvětlení fyzikálních i chemických jevů a procesů. Navržený přístup ke strukturálnímu popisu hmoty se snaží dosáhnout pokroku v popisu/pochopení některých dosud obtížně objasnitelných jevů, týkajících se fyziky elementárních částic a atomové struktury. Navržený přístup nám dává do rukou nástroj, který pomůže vysvětlit tyto jevy. Tím nám umožňuje objasnit základní chemické a fyzikální důvody pro stabilitu i reaktivitu atomů a molekul [3] a poznat nové vazby v zákonitostech, jevech a procesech, které nám doposud nedostatečný stav poznání neumožňoval. Tolik citace z abstraktu knihy o prstencové struktuře hmoty [2].



Obr. 1 Navržená struktura elektronového obalu molekuly vody H_2O podle PT.

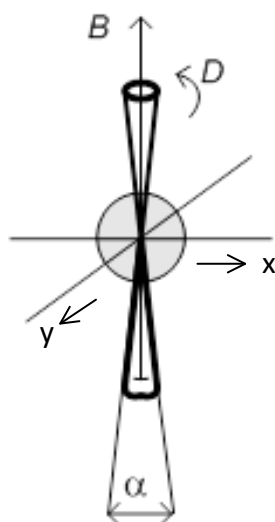
Příklad prstencové struktury molekuly vody je uveden na obr. 1. Základem je jádro vodíku (struktura uprostřed). Kolem něj levitují elektrony na jednotlivých orbitech (s1, s2, p2). Na dva elektrony na orbitech p2 jsou navázány elektrony atomu vodíku a levitující vodíková jádra. Všechny elektrony i protony a neutrony navzájem levitují v místě shodnosti elektrických a magnetických sil. Podrobné vysvětlení včetně struktury atomů různých prvků je uvedeno v [2].

Elektrické i magnetické pole např. v okolí elektronu (ale také protonu a neutronu) je schematicky znázorněno na obr. 2.



Obr. 2 Schématické zobrazení rozložení siločar pro elektrické a magnetické pole modelu elektronu [2].

Prstencem obíhá elementární náboj (může být tvořen trojicí vln) a tím vzniká v okolí elektronu magnetické pole s izoliniemi probíhající kolem prstence. V okolí prstence se rozprostírá elektrické pole, jehož izolinie vytváří dvojitý kužel v ose prstence. Sledujeme-li soubor velkého počtu stejných atomů s uspořádanými spiny do jednoho směru, je možné schematicky vyjádřit vektor magnetické indukce B a elektrické indukce D , obr. 3.



Obr. 3 Dvojitý kužel elektrické a magnetické indukce v okolí atomu.

Magnetické pole je nejsilnější v ose atomu a okamžitá hodnota elektrického pole má směr tečny ke kružnici se středem na ose elektronu a ke směru magnetického pole.

Elektromagnetické vlny v okolí atomu jsou kruhově polarizované Hertzovy vlny s dvěma stupni polarizace. Vlny elektrického pole postupují po pravotočivé šroubovici ve směru

gravitace a zpět se vracejí po opět pravotočivé šroubovici směrem proti gravitaci. Vytvoří dvě propletené spirály na koncích na sebe navazující. Výška šroubovic odpovídá stupni harmonizace vln. Při větší disharmonii jsou šroubovice krátké a navzájem neuspořádané.

První dílčí závěr o hmotě ve vesmíru

Správný popis stavby živé a neživé hmoty je velmi důležitý pro pochopení a fyzikální popis hmoty, jejího chování popsané doposud známými zákony. Popis se týká také pochopení vzniku chemických vazeb, molekulárních struktur, vzniku živé hmoty, rostlin, živočichů včetně člověka. Stavba hmoty by měla také vysvětlit mnoho doposud nevysvětlitelných artefaktů v chování hmoty (jediným příkladem je anomálie vody při snižování teploty), ale také by měla sjednotit mechanický a kvantový popis elementárních částic hmoty.

Současné zkušenosti z psychotroniky a reakce člověka zapojeného do zpětnovazebního systému s detekcí kyvadlem ukazují na odlišnou strukturu elektromagnetického pole v okolí buněk i všech jejich dílčích částí až na úroveň atomových jader a elektronů případně i na jejich subčástice. Toto elektromagnetické pole je velmi blízké elektromagnetickému poli v okolí atomů popsaných pomocí prstencové struktury elementárních částic hmoty.

Pro svou specifickou strukturu není detekce těchto polí jednoduchá pomocí současných technických prostředků. Přítomnost uvedených elektromagnetických polí se projevuje makroskopickými důsledky v chování hmoty především živých organismů případně na chemických reakcích vybraných látek. Protože současné technické prostředky neumožňují měření těchto elektromagnetických polí, nelze prohlásit, že tato pole neexistují a není rozumné provádět výzkum jejich detekce a rozvíjet měřicí techniky pro jejich kvantifikaci. Rozumné je soustředit pozornost na nevysvětlitelné jevy, k jejich objasnění využít mnoho dílčích fyzikálních a chemických metod a také zkoumat, jaké jevy ještě v současné době neumíme vysvětlit.

Hypotéza o struktuře vesmíru

Struktura vesmíru je zajímavá. Existuje mezihvězdný prostor a v něm hvězdy, slunce, planety a mnoho dalších plynných a pevných struktur. Všechno je v pohybu a neexistuje klid. Podobně je to i v životě na této Zemi. Stejná struktura jaká existuje ve vesmíru je fyziky poznána a dokázána v mikrosvětě, který našimi smysly přímo nevidíme. Hmota se skládá z atomů, atomy jsou sestaveny z jader a elektronového obalu. I jádra a elektrony nejsou pevné částice. Vytváří je kvarky a v případě elektronů tři druhy subčástic (podle mých zjištění). Vše je však v pohybu a v dynamické rovnováze. Taková struktura není náhodná a existuje jak ve vesmíru, tak i v mikrosvětě. Vystává otázka, kam v čase směřují změny v uspořádání hmotné i nehmotné struktury. Na základě mého poznání o světě, v souvislosti se snahou o uspořádání struktury vodních molekul a s cílem fyzikálním způsobem změřit uspořádanost (harmonii) vnitřní struktury hmoty jsem dospěl k následující hypotéze.

Mezihvězdný prostor bez jakýchkoliv hmotných struktur je složen z elektromagnetických vln s ideálně harmonizovanou strukturou. Celý soubor takových elektromagnetických vln nazývám interferenční pole.

Interferenční pole je součet (soubor) všech elektromagnetických vln o různých frekvencích vyskytujících se v každém bodě prostoru. Výrazným projevem vlnových vlastností světla, zejména u světla monochromatického, je interference. Jev spočívá ve skládání různých příspěvků vlnění v daném místě (v případě světla elektrického a magnetického pole). Jeho projevem je vznik *interferenční struktury*. U monochromatického světla se projevuje vznikem světlých a tmavých proužků, či ploch, u bílého světla barevnou škálou světla. Pro pozorování interference je důležitá koherence světla, tedy dobrá definovanost a uspořádanost světla (světlo z různých zdrojů má v daném místě stejnou fázi, nemění se s časem). U přirozených zdrojů se vlastnosti světla nezmění (tedy světlo zůstane koherentní) jen na velmi malé vzdálenosti (0,01 mm). Obecně lze říci, že jsou-li kdekoliv v prostoru přítomny dvě nebo více vln, je výsledná vlna součtem jednotlivých vln, tzv. uplatňuje se *princip superpozice*. Toto je obecná vlastnost platná v rámci tzv. lineární optiky, tedy pokud prostředí neinteraguje a není ovlivňováno vlnou samo o sobě. Pokud ovšem k takovýmto změnám v prostředí dochází (např. pro dostatečně silné optické vlny srovnatelné s vnitřními poli mezi jednotlivými stavebními částicemi látky), není již možno vlny jednoduše skládat, a pohybujeme se potom v oblasti tzv. nelineární optiky [<http://vega.fjfi.cvut.cz/docs/sfbe/optika/node7.html>].

V mezihvězdném prostoru jsou vlny fázově koordinovány, vytváří harmonický dynamický systém s vysokou energií a nevytváří námi viditelnou hmotu. Násobek energie v porovnání s energií na zemském povrchu (text v příslušné kapitole) je 970. Frekvence vln se pohybuje v rozsahu od nejnižších frekvencí až po nejvyšší frekvenci 10^{76} Hz. Střední frekvence harmonizovaného interferenčního pole je v úzkém frekvenčním pásmu (10^{49} až 10^{51} Hz) na základní frekvenci 10^{50} Hz. Soubor těchto vln tvoří dynamický systém, ve kterém jsou uloženy informace o vesmíru, zákony vesmíru a také zákony pro chování člověka ve vesmíru včetně informací pro jeho duchovní rozvoj.

Takový dynamický systém lidé nazývají Bohem, Informačním polem, Univerzem a různými jinými názvy. Univerzum je tedy soubor vln s ideální harmonií a vysokou dynamickou energií. Úmyslně vynechávám vznik Univerza (Boha) a vesmíru v této struktuře. Souvisí s velkým třeskem a vznikem vesmírné hmoty. Někteří lidé nazývají interferenční pole polem holografickým. Hologram považují spíše za záznam vln včetně jejich fázových poměrů do nějakého média [4].

Interferenční pole má ovšem stejné vlastnosti, jako pole holografické. V každém místě na světě i ve vesmíru obsahuje stejné informace, ale s menší energií, Změnou vlastností vybrané vlny, např. v naší republice, dochází ke změně vlny v celém vesmíru. To je důvod, že fázová

změna vybrané vlny se projeví na vlně ve všech místech najednou. Může to vysvětlovat telekinezi a jiné podobné jevy, včetně funkce různých přenosových médií. Taková struktura interferenčního pole v léčitelství vysvětluje ovlivňování a léčení pacienta terapeutem na velmi velké vzdálenosti.

V případě, že vznikne malá disharmonie vln nebo jinak řečeno chaos v uspořádání vln (ať z jakýchkoliv příčin), vznikne hmota v podobě jednotlivých atomů. Ve vesmíru se to projeví vznikem plynů, které se shlukují ve větší celky díky přitažlivosti hmoty nebo elektrickými silami. Takový shluk plynů má již menší dynamickou energii a menší harmonii vlnění, ze kterých se skládá. Střední hodnota frekvenčních složek je pro shluk plynů menší. Souvisí s velikostí shluku a jeho hustotou.

Při vzrůstající disharmonii (chaosu) vln shluku plynů vznikne ve vesmíru plynné nebo i pevné těleso. Postupně vznikají rozměrnější tělesa mající větší hustotu a menší dynamickou energii. Menší dynamická energie tělesa je důležitý faktor. Postupující disharmonie vln ve vesmíru vede postupně ke vzniku hvězd, sluncí, planet a také k naší Zemi. Vůči harmonickému vlnění vesmíru mají tato tělesa menší dynamickou energii a také nižší střední frekvenci všech vln, ze kterých se skládají. Tato střední frekvence se snižuje vzhledem ke snižování nejvyšší frekvence vln.

Další vývoj planety (Země) vede postupně k větší a větší disharmonii vlnění, ze kterých se skládá. Vždyť obecně platí, že atomy i jejich části se snaží zaujmout polohu s minimální energií. Pokud to nastane, vnitřní struktura hmoty se přeuspořádá a vznikne hmota s jinými vlastnostmi a nižší energií. Současně se také snižuje harmonie vln. Je nutno si uvědomit, že vznik sloučenin s vyšší atomovou vahou a dalších látek, vyžaduje vysokou teplotu a tlak. To může lokálně vzniknout díky termojaderným reakcím uvnitř sluncí případně planet. Postupně vzniká voda, jednotlivé prvky, různé látky, horniny a všechna anorganické látky.

V přírodě běžně pozorujeme rozpad složitých látek na látky jednodušší. Podívejme se např. na rozpad prvků. Rozpad alfa je případem spontánní emise těžké částice z radioaktivního jádra. Přeměnou jádra se atomy snaží dosáhnout stabilnějšího stavu. Rozpad alfa je nejčastějším případem přeměny. Mimo rozpadu alfa dochází také k rozpadu beta a spontánnímu štěpení jader. Částice alfa je složena ze dvou protonů a dvou neutronů, jedná se tedy o jádro prvku helia. Vzhledem k přítomnosti dvou protonů, nese částice dva kladné elementární náboje. Při emisi částice dochází k přeměně mateřského jádra, protonové číslo Z se zmenší o 2, nukleonové číslo A se zmenší o 4, uvolní se helium ($A = 4$, $Z = 2$). Výsledkem přeměny je dceřiné jádro, které v Mendělejevově periodické tabulce prvků leží o dvě místa nalevo od jádra mateřského. Takto rozpad látek popisuje fyzika. Při rozpadu látek se vždy uvolňuje energie a ta se vyzáří nebo přemění na jinou. Po rozpadu látky má dceřiná látka menší dynamickou energii a menší harmonizaci vln.

Dalším, ale opačným jevem rozpadu je fúze. Fúze energii neprodukuje, ale spotřebovává. Jedním ze způsobů, jak může fúze probíhat, je působení vysoké teploty a tlaku, kdy do sebe jádra mohou narazit s dostatečnou energií k překonání coulombovské bariéry. V tom případě mluvíme o termonukleární fúzi. Ve hvězdách fúzemí vznikají různé prvky jako helium, neon, kyslík, křemík, uhlík, železo a jiné. Aby probíhala fúze, je třeba dodat energii a z jednodušších prvků vznikají prvky složitější. Dostatečnou energii lze lokálně při vysoké hustotě hmoty získat rozpadem hmoty a uvolněnou energií. Z pohledu vesmírných interferenčních vln se jedná o zvýšení harmonie vln a jejich zvýšení dynamické energie.

Jinou kapitolou je vznik uspořádané struktury vody. V jiné části tohoto povídání je uveden optimální způsob uspořádání vodních molekul vložením do šroubovicového magnetického pole případně akumulátoru bioenergetického pole. V tomto případě dochází jednak ke zvýšení energie vody a hlavně k harmonizaci vlnění molekul, atomů, jader, elektronů a také subčástic atomových jader a elektronů. Tímto postupem dojde ke zvýšení harmonizace vody z 18% na 60%. To není zanedbatelné. I tento jednoduchý proces může člověku pomoci a posílit jej.

Za důležité považuji, že čím vývojově vyšší organizmus je, tím má menší harmonii vln, ze kterých se skládá, má menší dynamickou energii a střední frekvence vln se snižuje. Např. u ideálního člověka je střední frekvence buněk 10^{32} Hz. Všimneme-li si úrovně harmonie vlnění, ze kterých se hmota skládá, dá nám to obrázek o vývoji světa a všeho, co na Zemi existuje. Harmonii můžeme vyjádřit v procentech, přičemž 100% je ideální harmonie ve vesmíru. Harmonie našeho slunce je 73%, naší Země je 62%, voda na zemi 60%, hory v Himalájích 55%, nížinné oblasti 51%, drobné rostliny a byliny 47%, drobní vodní i suchozemští živočichové 52%, velryby 40%, medvědi 40%, gorily 33%, člověk 30%. Z toho je vidět změna harmonizace vln pro vyšší a vyšší organizmy na světě.

Anorganické látky na Zemi se postupně rozpadají na látky s nižší energií a menší harmonií atomů. Jen dodání energie ať tepelné nebo jiné by vedlo k vytváření složitějších struktur s vyšší energií a uspořádáním. Chemické reakce jsou schopny vytvářet energeticky výhodnější látky. Přírozené chemické reakce jsou málo významné. Významnější jsou chemické reakce látek vytvořené člověkem a průmyslová výroba anorganických a organických látek. Tyto postupy vedou ve svém důsledku k vytváření harmonizovaných látek s vyšší energií. Některý typ chemické výroby nemusí vytvořit látky dobře uspořádané a rotačně správné. Příkladem byla průmyslová výroba vitamínu C, který vykazoval obrácenou rotaci molekul. Postupem času se podařilo tento vitamín vyrobit správně, se správnou rotací, stejnou jakou mají živé organizmy. Při výrobě bylo nutné dodat malé množství přírodního vitamínu C se správnou rotací. Tím se zajistilo vytváření optimální struktury, podobně jako tomu je např. při tažení monokrystalu křemíku. S vytvářením organických látek a různých makromolekulárních látek je to podobné.

Fyzikové doposud popisují působení černé díry na hmotu pomocí zakřivení časoprostoru. Nevede to však k vysvětlení, co je příčinou a kam se veškerá hmota ztratí. Pokud by se veškerá hmota vesmíru přitáhla do černé díry, v jaké podobě v ní bude? Připusťme, že černá díra vytváří silný vír, zvyšuje rychlost hmoty a přitahuje ji. Energie hmoty se zvyšuje a současně se zvyšuje harmonie vln hmoty. Je to podobné, jako známe tornádo na zemi, ale s výrazně větší rychlostí a energií. V extrémním případě dojde hmota složená z vlnění do stavu, ve kterém rozšíří vesmírné interferenční vlnění. Takovým způsobem se uzavře cyklus oběhu vlnění. Nejprve vlnění ztrácí energii a harmonii, později vytvoří hmotu a po přitažení do černé díry se opět stane vesmírným interferenčním polem. V této souvislosti zdůrazňujeme, že temná hmota může být vesmírné interferenční pole.

Vývoj další pokračující disharmonie vln vede ke vzniku jednobuněčných rostlinných organizmů a dále i jednobuněčných živočichů. Vývoj dalších organizmů je dostatečně popsán a znám. Postupně vznikaly skupiny, jako jsou řasy, plankton, malé organizmy rostlinné, živočišné, později větší rostliny, stromy, malá zvířata, velká zvířata a člověk.

Živá příroda se od neživé liší především tím, že dochází k rozmnožování, ať na úrovni buněk, tak na úrovni rostlin, zvířat i lidí. V buňkách dochází vytváření nových bílkovinných látek pro stavbu nových buněk a tkání. Formou udávající jejich strukturu je DNA a mnoho dalších látek nutných pro orientaci kmenových buněk na vytváření specifických tkání. Pro takový růst je potřebná energie, která je získávána rozličným způsobem.

Z obecného pohledu jde o žádanou rezonanci interferenčních vln na vhodných strukturách buňky. Zajímavými rezonátory jsou molekuly chlorofylu a hemoglobinu. Základní rezonátor u obou látek je stejný, jak složením, tak prostorovou strukturou. Liší se jen základním prvkem rezonátoru, kterým je hořčík u chlorofylu a železo u hemoglobinu. Dopadající interferenční vlny způsobí rezonanci a dojde k transformaci světelné energie u chlorofylu. Ta je využívána k reprodukci buněk. Toto tvoří základ pro přeměnu energie např. světelné na chemickou v rostlinách. U savců se na hemoglobin váže kyslík a ten je energetickým zdrojem pro oxidaci a jiné chemické pochody v těle [18].

Doba života rostlin závisí na jejich životních podmínkách a možnosti získat potřebná vlnění a látky ke svému růstu. Např. stromy, které rostou ve vhodných podmínkách, mohou růst velmi

dlouhou dobu. Ve středomoří je možné vidět olivy, jejichž stáří se odhaduje na 2000 let a více. V amerických národních parcích rostou borovice osinaté asi 8000 let. U stromů je doba života dána hlavně jejich životními podmínkami. Harmonizace těchto stromů je až 45%. V případě lidí i zvířat je doba života značně kratší.

Lidstvo ve svém dlouhodobém vývoji postupně ztrácí dynamickou energii a snižuje harmonizaci interferenčního vlnění. Je to dáno hlavně tím, že v současné době se člověk snaží udržet svůj rozpad harmonie dodáváním energie potravou, dýcháním. To je však nedostatečné, neboť člověk svým spíše negativním myšlením zhoršuje energetickou bilanci těla. Běžný člověk, nezabývající se alternativní medicínou nebo způsobem života, svým přísunem spíše negativní energie (potrava, škodliviny v ovzduší, stresy a negativní myšlení) harmonii vlnění spíše pomalu ztrácí. V opačném případě, jsou lidé, kteří snižují negativní vlivy na ně působící ať vhodnou potravou, dýcháním, svým chováním, meditací a duchovním vývojem a dosáhnou velkého duchovního klidu. Vytvoří si svůj cíl v životě, zvýrazní priority, upraví způsob života apod. Postupnými kroky dosahují zvýšení energie, harmonie svého interferenčního pole a zvyšují maximální frekvenci svých buněk. Ve svém duchovním vývoji rostou, postupně začnou vnímat nové a zajímavé informace z vesmírného interferenčního pole. Teoreticky je takový člověk schopen dosáhnout toho, že zvýší svoji energii i harmonii fyzického těla natolik, že se bude moci rozhodnout, zda posílí vesmírné interferenční pole a pro lidi jeho fyzické tělo bude neviditelné, nebo zůstane na zemi ve svém fyzickém těle. Bude to však záviset na jeho svobodné vůli. O to se snaží jedinci postupující ve svém duchovním vývoji velmi vysoko a dosahující harmonizace asi do 80%.

Po smrti fyzického těla člověka se postupně zruší jeho interferenční pole. Interferenční pole myšlení a duchovna zhorší svou harmonii (asi o 10 až 15%) a podrží své uspořádání, ale s menší energií. V této podobě se bude držet ve vesmírném interferenčním poli. Vesmírné interferenční pole nezvýší uspořádání a nárůst energie pole zemřelého člověka. V případě člověka s karmickými zátěžemi je toto interferenční pole dost negativní. V případě člověka na vysoké duchovní úrovni energie i harmonizace po smrti klesne velmi málo. Při narození nového člověka nastane po oplodnění tvorba vlastní DNA struktury se svou „adresou“. Pokud se bude DNA matky i otce shodovat asi 65% s informacemi v interferenčním poli zemřelého člověka, může se vyvíjet nové fyzické tělo se svou „adresou“ a s informacemi v DNA odpovídající interferenčnímu poli zemřelého člověka. DNA je dobrým rezonátorem v buňce živého tvora a svou energii využívá k vytváření potřebných proteinů a jiných látek. Interferenční pole zemřelého se takto může reinkarnovat do nového těla. Citlivý člověk nebo terapeut pak může vnímat obraz minulých životů. Je na závidu, že v těchto případech nejsou vnímány a prezentovány pro Zemi nebo vesmír dobré činy, vedoucí ke zvýšení energie Země a k vyšší harmonii vnitřní struktury hmoty.

Uvedenou hypotézu je v současné době nemožné ověřit takovými metodami, aby byla uznaná vědeckou komunitou. Interferenční pole nelze změřit. Má jiné uspořádání a strukturu ve srovnání se známým elektromagnetickým polem. Bude nutné nalézt metody detekce těchto vln. Doposud citliví jedinci vnímají důsledky těchto interferenčních polí a chování živých organizmů i neživých látek.

Ještě je nutné vyjasnit pojem **informační pole člověka** nebo informační pole jednotlivých těl člověka. Každá buňka, tkáň i orgán v těle mají specifické interferenční pole mající specifické frekvenční spektrum. Dolní rozsah frekvenčního spektra odpovídá velikosti tkáně nebo jiných částí. Čím větší orgán, tím je jeho rezonanční frekvence nižší. Je tedy možné říci, že vlny odpovídající určitému orgánu (nebo jiných částí těla) jsou interferenčním polem daného orgánu. Struktura interferenčního pole může být charakterizována specifickým spektrem elektromagnetických vln. Každá frekvenční složka nese specifickou informaci definující určitou funkci části orgánu případně vazby s ostatními částmi orgánu. Interferenční pole celého

orgánu tedy nese informaci o stavbě orgánu, o jeho fyziologické funkci a ostatních vlastnostech. Je proto možné interferenční elektromagnetické pole orgánu nazvat informačním polem orgánu. Pojem informačního pole orgánu znamená celý soubor vlastností orgánu, bez znalosti podrobného frekvenčního spektra. V mentální terapii se pracuje s „přečtením“ interferenčního pole týkající se zjištěného problému a po úpravě působením tímto interferenčním polem na pacienta. Pro technicky přemýšlejícího terapeuta je bližší používat pojem interferenční pole místo pojmu informační pole.

Na základě definice pojmu informační pole je možné hovořit o informačním poli člověka, informačním poli rostlin, zvířat, Země, Slunce, planety a také vesmíru. Ovšem při pohledu na vesmír a jeho harmonické a energetické uspořádání je nutné rozlišovat informační a interferenční pole. Hovoříme-li o vesmíru a jeho zákonech, je lépe používat pojem informační pole. Pro charakterizaci harmonického a energetického uspořádání vesmíru, je výhodnější hovořit o interferenčním poli. Pokud se týká člověka, je využíván pojem **bioenergetické vlny** člověka. Informační pole člověka je tvořeno bioenergetickými vlnami, které jsou v principu stejné jako interferenční pole člověka. Interferenční pole je bližší ke spektrálnímu (frekvenčnímu) rozboru vlastností buněk a k mentální metodě léčení interferenčním polem.

Druhý dílčí závěr o struktuře vesmíru

Je zajímavé, že ve vesmíru je stejná dynamická struktura hvězd, sluncí i planet jako je v našem mikrosvětě. Vše je v dynamickém pohybu a pohyby jsou přesně určené a vytváří jeden dynamický celek. Hmota se skládá z atomů, atomy jsou sestaveny z jader a elektronového obalu. I jádra a elektrony nejsou pevné částice. Vytváří je kvarky a v případě elektronů tři druhy subčástic (podle mých zjištění). Vše je však v pohybu a v dynamické rovnováze. Našimi smysly toto uspořádání přímo nevidíme.

Popsaná hypotéza o struktuře živého světa nastiňuje možný pohled na uspořádání vesmíru. Základem jsou vesmírné vlny mající vysokou energii, široký rozsah frekvencí a s vysokou harmonií. Takový soubor vlnění je pro člověka neviditelný. Postupná disharmonie neboli zvyšování chaosu mezi vlnami, vede k vytváření hmoty, zprvu plynné a postupně pevné, tvořící hvězdy, slunce, planety a jiné části vesmíru. Takto vesmír postupně ztrácí energii, uspořádanost a snižuje maximální frekvenci vln. Dochází k jeho postupnému rozpadu. Totéž se týká i živé hmoty, jen s tím rozdílem, že živá hmota se dokáže rozmnožovat a také zvyšovat všechny tři parametry vln, ze kterých se skládá.

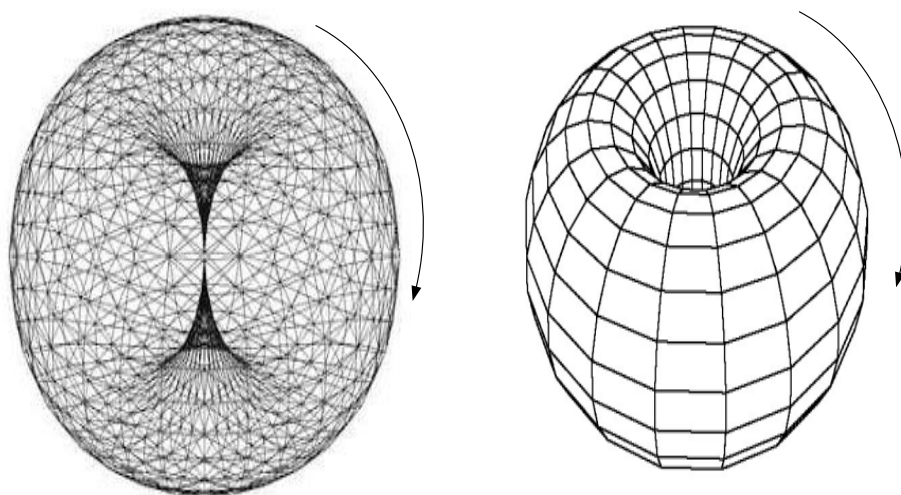
Člověk svou vědomou činností, meditací, zvyšováním svého duchovního klidu a jinými technikami je schopen zvýšit svou energii, harmonii atomových struktur i nejvyšší frekvence vln. Tím dokáže zpomalit rozpad vesmíru. Rozpad vesmíru je však pomalý a zahrnuje mnoho miliard let. Smrt rostlinných buněk nebo zvířat a člověka urychlí rozpad živé hmoty, ale ta se přemění na vlnění, které zůstane ve vesmíru. Při malé energii a harmonii vln je možná reinkarnace do nově zrozeného těla a je možné pokračovat ve zvyšování energie a postupnými kroky dosáhnout vlastností vesmírného vlnění.

Uvedená hypotéza je jedním z možných pohledů na vesmír a život v něm.

Malý dodatek k velkému třesku, rozpínání vesmíru

Pro velký třesk a rozpínání vesmíru mám trochu jiný pohled, než měl S. Hawking. Ten vycházel z velkého třesku a vesmír se postupně rozpíná.

Z mého pohledu ve vesmíru v jednom okamžiku byly vlny, ze kterých se vesmír skládá, harmonizované a měly velkou energii. Tato energie mohla být až extrémně vysoká. Postupně vlny ztrácely harmonii, zřásování, a jako celek ztrácely harmonii a zvyšovala se entropie. Situaci je možné znázornit na toroidu s malým vnitřním průměrem a velkým vnějším průměrem, viz. obr. 3b. Představa není přesná, ale pro názornost by mohla stačit. Ve středu toroidu jsou vlny harmonizované a s velkou energií. Vlny se pohybují postupně po povrchu toroidu, vzdalují se od sebe, harmonizace se snižuje a entropie roste atd. Toto je děj v krátké době po „Velkém třesku“. Postupně se vlny dostanou až na vnější plášť a potom se pomalu bude vesmír opět smršťovat tak dlouho, až se opět dostane do středu toroidu a bude opět harmonický. Děj se bude opakovat.



Obr. 3b Rozpínání vesmíru z pohledu chování vln, ze kterých se vesmír skládá. Šípkami je označen tok času.

Bioenergetické vlny

Co jsou bioenergetické vlny?

Jak bylo řečeno v kapitole Hypotéza o struktuře živého světa, základem veškeré hmoty je vesmírné vlnění s vysokou energií a v harmonickém stavu. Hmota vzniká disharmonií vesmírného vlnění. Interferenční pole ve vesmíru nese informace o struktuře a funkčním stavu jisté části hmoty. Základem Země a našeho známého světa je tedy interferenční pole, jako soubor vln s určitým frekvenčním spektrem a fázovými poměry mezi spektrálními čarami. Tyto vlny pak vytvoří specifické elektromagnetické pole, ve kterém žijeme, pohybujeme se a tvořivě myslíme.

Bioenergetické a interferenční pole člověka, čakry

Bioenergetické pole kolem člověka je složeno ze součtu bioenergetických vln jednotlivých orgánů, buněk, atomů a jejich subčástic. V souhrnu bioenergetické pole vyjadřuje intenzity všech vln v každém bodě prostoru. Z technického pohledu se jedná o interferenční pole všech částí lidského těla.

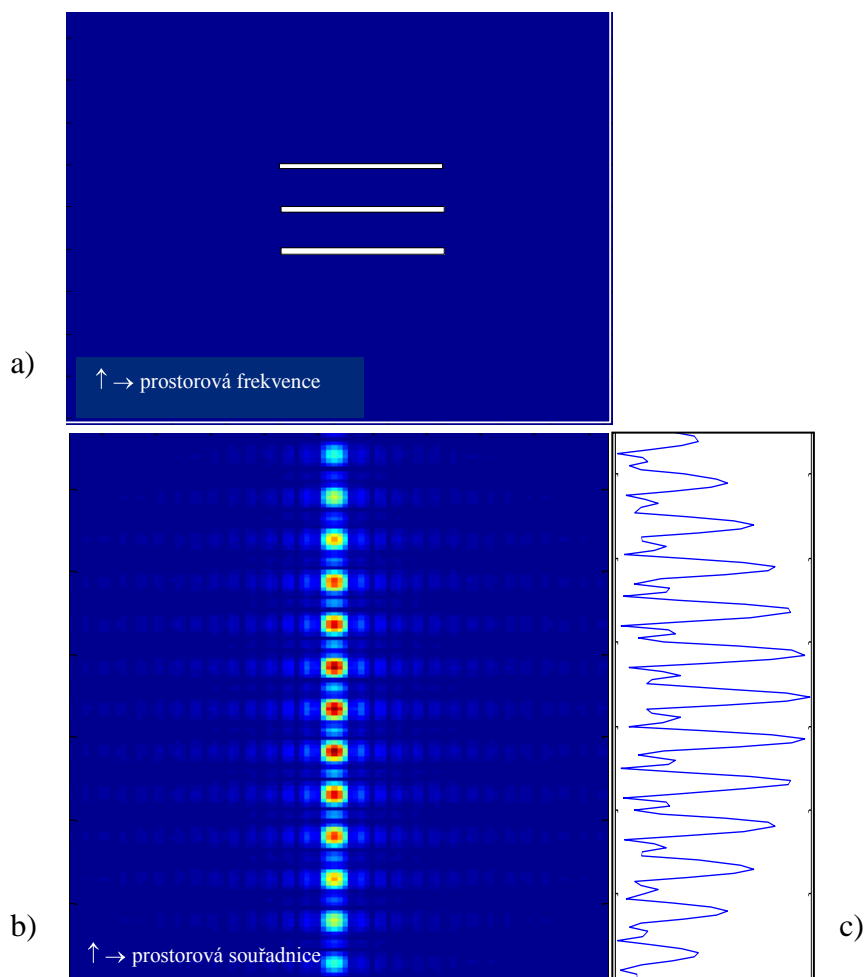
Pro přiblížení interferenčního pole člověka a jeho vztah k čakrám člověka, je možné vytvořit pomocí simulace interferenčního pole v podobě, která bude charakterizovat bioenergetické pole na čakrách a stanovit jeho vztah k frekvencím jednotlivých buněk a orgánů včetně jejich prostorového uspořádání. Uvažujme svislou rovinu probíhající hlavou, rukami, tělem a nohama člověka (frontální řez). Navrháme specifické prostorové frekvenční spektrum člověka znázorněné na obr. 4a. Toto spektrum znamená, že každému bodu na bílých čarách prostorového spektra odpovídá frekvenci vlnění, kterou má vlna v celém frontálním řezu člověka. Prostorovou frekvenci je možné si představit jako frekvenci vln v rovině člověka, přičemž velikost frekvence v horizontální rovině (podle obr. 4a) určuje frekvenci vln v horizontální rovině frontálního řezu člověka (podle obr. 4b). Podobně velikost frekvence ve vertikální rovině (podle obr. 4a) určuje frekvenci vln ve vertikální rovině frontálního řezu člověka (podle obr. 4b). Mezi frekvenční a prostorovou rovinou je vztah popsán Fourierovou transformací. To znamená, že v celém frontálním řezu člověka se nachází nekonečně mnoho vln různých kmitočtů. Intenzity všech vln předpokládáme stejné. Zobrazíme-li součet všech vln ve frontální rovině člověka, získáme interferenční pole, které lze porovnat s interferenčním polem člověka ve frontálním řezu. Na obr. 4b je znázorněn výsledek simulace charakterizující intenzity interferenčního pole v prostoru, podobně rozložené, jako jsou rozloženy čakry na člověku.

Na obr. 4c je znázorněn svislý řez v maximech interferenčního pole. Obr. 4b ukazuje intenzity bioenergetického těla tak, jak jej mohou vnímat citliví lidé. Říkají mu aura. V místech vysokých intenzit na těle se podle psychotroniců nalézají čakry člověka. Jedná se o místa s vysokou intenzitou bioenergetického pole. V místě čaker se projeví vliv každé buňky těla, ale s různou vahou. Proto se vliv některých orgánů projevuje výrazněji v některé čakře a v jiné velmi málo. Z tohoto pohledu je možné vysvětlit vznik čaker na člověku a souvislost mezi čakrami a příslušnými orgány těla.

Při pohledu na obr. 4b vidíme, že interferenční pole vykazuje lokální maxima intenzit a to v celém prostoru. Platí zde totéž, jako u holografického obrazu. Frekvenční spektrum je možné získat z libovolného prostorového výběru. Proto je možné, aby citlivá osoba vnímala obraz a

vlastnosti člověka, i když je od něj libovolně vzdálena. Informace čte z interferenčního pole v místě, kde se citlivá osoba nachází.

Tato simulace ukazuje, že bioenergetické pole člověka obsahuje informace o správné i nesprávné funkci buněk a orgánů v těle, a že jejich funkční vlastnosti jsou vnímatelné v celém vesmíru.



Obr. 4 Příklad simulace interferenčního pole připomínající bioenergetické pole člověka včetně pole na čakrách, a) ve frekvenční oblasti, b) interferenční pole v prostoru, c) řez intenzit ve středu interferenčního pole.

Šíření bioenergetických vln

Průchod bioenergetických vln různými materiály

Bioenergetické vlny prochází různými materiály se zanedbatelným nebo žádaným útlumem. Experimentálně byl stanoven útlum vln pro vybrané materiály. Výsledky jsou uvedeny v Tab. 1. Svisle nad aktivovanou vodou byly vloženy stínící stěny z různých materiálů a různých tloušťek. Propustnost je poměr amplitud vln za stěnou a ve stejné vzdálenosti bez stínící stěny.

Tab. 1 Útlum vln procházející stínící stěnou z různých materiálů.

materiál stínící stěny	tloušťka stěny [mm]	propustnost [-]
bez stěny	-	1
Cu plech	1 a 5	1
Al plech	1,5 a 3	1
novodur	4	1
dřevo	50 a 100	1
TiO ₂ (titanová běloba)	25	0,78
Al folie prokládaná papírem -10+10 vrstev	10x(0,022+0,077)	0,8
ocel	10	0,9
olovo	10	0,94
mramor	25	0,95
včelí vosk	1	0,03
včelí vosk	2	0,0009
magnetická rovina	-	8.10 ⁻⁶

Z Tab. 1 vyplývá, že bioenergetické vlny (vlny buněk živého organismu) se šíří většinou materiálů bez útlumu. Existují však materiály, které kladou průchodu vln velký odpor. Za izolační materiál pro tyto vlny je možné považovat vrstvu např. včelího vosku a magnetickou rovinu podle Tab. 1.

Polopropustné struktury

V některých konstrukcích nebo experimentech je vhodné použít struktury, u nichž se výrazně liší intenzita vln po průchodu strukturou (materiálem) z jedné strany na druhou a v opačném směru. Takové struktury jsou z hlediska šíření vln polopropustné.

Pro akumulátor bioenergetického pole je možné použít struktury, které propouští bioenergetické vlny jen v jednom směru a tím dojde k akumulaci energie uvnitř akumulátoru. Ve druhém směru vlny odráží nebo tlumí. Na kvalitě propustnosti struktur závisí hladina akumulované energie uvnitř akumulátoru. Bylo vysledováno, že takové vlastnosti mají vrstvené struktury z materiálů s odlišnou permitivitou a permeabilitou. Pro uvedené účely je možné použít následující struktury.

1. Zrcadlo; sklo a ze zadní strany vrstva zrcadla.
2. Fe-Vosk-TiO₂-Al; Železný plech tloušťky 0,5 mm je pokryt plástem včelího vosku tloušťky asi 1,5 mm. Povrch včelího vosku je pokryt TiO₂ (prášek titanové běloby je smíchán s lepidlem typu Herkules a je proveden nátěr). Dále je přidána folie Al (alobal) pro přidání frekvencí pro zafixování informace do molekul vody. Taková vrstvená struktura se opakuje třikrát. Včelí vosk je možné nahradit i papírem.
3. Al-Papír; Alobalová folie je prokládaná papírem v 15 materiálových vrstvách.
4. Ni-Sklo-TiO₂; Na skle jsou naneseny vrstvy Ni a TiO₂ o tloušťce 48 nm.
5. Buněčná membrána
6. Lidská kůže

Přenosové vlastnosti polopropustných struktur jsou uvedeny v Tab. 2. Propustnost vln je stanovena pro oba směry, tedy od vrstvy ze strany paramagnetického materiálu k dalším materiálům (Fe, Al, Ni) a naopak nebo z mezibuněčného prostoru vně buněčné membrány směrem na vnitřní stranu buněčné membrány, tj. dovnitř buňky nebo naopak. Podobně je určována propustnost lidské kůže. Maximální frekvence (jednotka je hertz – Hz) je vyjádřena mocninou deseti 10^x .

Z uvedeného přehledu vychází, že nejvýhodnější je použít skleněnou desku a na ní z jedné strany nanést tenkou (tloušťky 48 nm) vrstvu Ni a na druhou stranu tenkou vrstvu TiO_2 (48 nm). Taková struktura přenáší elektromagnetické vlny vysokých kmitočtů dopadající z jedné strany desky odlišně od propustnosti vln dopadajících ze strany opačné. Je třeba zdůraznit, že před vrstvou z paramagnetického materiálu musí být vzduch a ne jiný materiál.

Tab. 2 Vlastnosti některých vybraných polopropustných struktur. Šipka znázorňuje směr propustnosti.

Vrstvená struktura	Propustnost* → / %	Propustnost ← / %	f_{\max} * → / 10^x	f_{\max} ← / 10^x
Zrcadlo	15	82	20	20
1x(Fe-Vosk- TiO_2 -Al)	3	92	32	32
3x(Fe-Vosk- TiO_2 -Al)	0,05	98	32	32
3x(Fe-Papír- TiO_2 -Al)	0,05	92	32	32
1x(Al-Papír)	3,1	75	24	24
15x(Al-Papír)	0,2	97	24	24
1x(Ni-Sklo- TiO_2)	0	99,9	41	38
Buněčná membrána	0,1	90**	22	30
Lidská kůže	18	80***	23	23

* propustnost (maximální frekvence přenosu f_{\max}) vln směrem od povrchu s paramagnetickou vrstvou (Fe, Al, Ni) k ostatním vrstvám.

** propustnost vln směrem z mezibuněčného prostoru dovnitř buňky.

*** propustnost vln směrem z vnějšího prostoru dovnitř těla.

Pro ověření vlastností tenkovrstvé struktury byl proveden následující experiment. V kulovém akumulátoru (viz kapitola Akumulátory bioenergetického pole) byla vrstvená struktura nahrazena jednou tenkovrstvou strukturou ve složení 1x(Ni-Sklo- TiO_2). Tloušťka vrstev byla 48 nm. Do pracovního prostoru akumulátoru byla vložena kyveta (průměr 10 mm, délka 20mm) naplněná deionizovanou vodou. Byl sledován násobek n zvýšené energie mezonů ($n \cdot E_n$) v porovnání s úrovní mezonů v okolí E_n a velikost indukce elektrického pole D v měrných jednotkách. Výsledky stanovené kyvadlem jsou uvedeny v Tab. 3.

Výsledky ukazují, že tenkovrstvá struktura 1x(Ni-Sklo- TiO_2) velmi dobře propouští vlny bioenergetického pole, přivádí je do akumulátoru. Velmi malá propustnost vrstvy nedovolí pronikat vlnám bioenergetické pole ven z akumulátoru. Tím dochází k ustálení zvýšené hladiny energie. Byl zjištěn poměr hladiny mezonů v akumulátoru a mimo něj. Tento poměr je 48. S použitím 3x(Fe-Vosk- TiO_2 -Al) vrstev byl tento poměr 22.

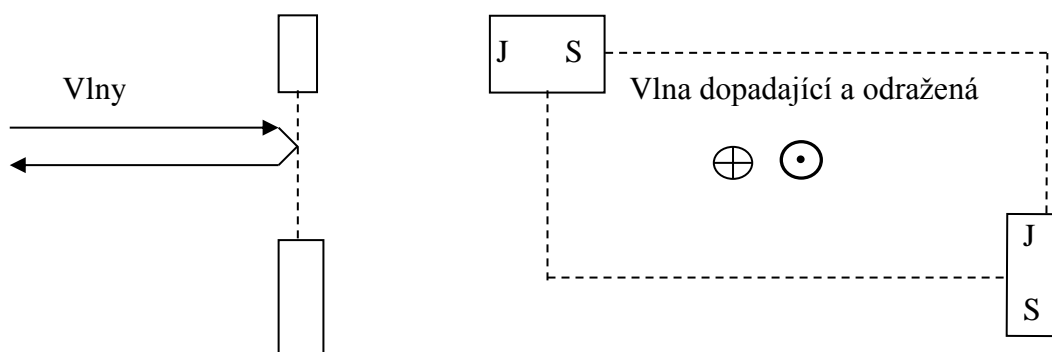
Tab. 3 Velikost násobku energie vody $n \times E_n$ a D v kulovém akumulátoru s tenkovrstvou strukturou.

	n	D		
	-	m.j.		
Propustný směr	1	17		Ve volném prostoru
Nepropustný směr	1	16		Ve volném prostoru
Propustný směr	22	1800	3x(Fe-Vosk-TiO ₂ -Al)	Kulový akumulátor
Nepropustný směr	0,09	9	3x(Fe-Vosk-TiO ₂ -Al)	Kulový akumulátor
Propustný směr	48	1800	1x(Ni-Sklo-TiO ₂)	Kulový akumulátor
Nepropustný směr	0	0,002	1x(Ni-Sklo-TiO ₂)	Kulový akumulátor

Odraz bioenergetických vln

Bioenergetické vlny prochází různými materiály s určitým útlumem. Pro použití např. v akumulátoru bioenergetického pole je výhodné místo polopropustných vrstev použít struktury, které jsou jednodušší a mají lepší vlastnosti. Takovou strukturou je např. speciální magnetická rovina.

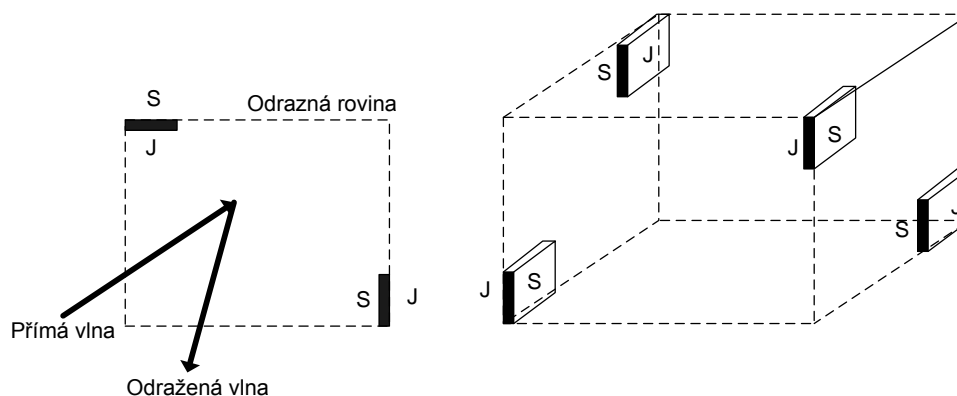
Velmi dobrý je odraz bioenergetických vln od magnetické roviny, která je vytvořena dvěma zdroji magnetického pole (magnety) umístěnými v protilehlých rozích obdélníkové roviny a vždy tak, aby magnety byly na sebe kolmé a do rohu roviny směřovali severní pól jednoho magnetu a jižní pól magnetu druhého, obr. 5. Pokud má dopadající vlna fázi $\Phi = 0^\circ$, bude mít odražená vlna fázi $\Phi = 180^\circ$. Poměr amplitud dopadající a odražené vlny je roven 1.



Obr. 5. Odraz bioenergetických vln od magnetické roviny. Vlevo je boční pohled na magnetickou rovinu.

Izolovaný prostor

Pro zajímavost. Je možné vytvořit strukturu magnetického pole v prostoru (např. v místnosti) ze kterého nelze provádět mentální diagnostiku osoby, která je mimo tento prostor a naopak, do izolovaného prostoru není z vnějšku psychotronicky vidět. Tímto způsobem je možné izolovat i vlny myšlenek a podobných bioenergetických polí.



Obr. 6 Vlevo je odrazná rovina pro bioenergetické vlny a vpravo je izolovaný prostor.

Konstrukce takového prostoru vychází z plochy odrážející bioenergetické vlny podle obr. 6. Magnetických odrazných rovin je šest a tvoří stěny kvádru nebo krychle, obr. 6 vpravo. Tato konstrukce je výhodná, je jednoduchá. Propustnost bioenergetických vln z takového prostoru není ideální. Asi 14% energie se dostává z izolovaného prostoru do vnějšího prostoru.

Výhodnější způsob vytvoření izolovaného prostoru je pomocí šroubovicového magnetického pole podle obr. 44. Magnety jsou umístěny na povrchu válce a mají tvar šroubovice, přičemž jižní pól magnetu směřuje do středu válce.

Ohyb bioenergetických vln

Bioenergetické vlny v elektrickém i magnetickém poli mění směr šíření – ohýbají se. V homogenním gradientním magnetickém poli (podle směru polarizace bioenergetických vln) se ohýbají směrem k jednomu z pólů magnetu. Při levotočivé polarizaci se bioenergetické vlny stáčí k severnímu pólu, při pravotočivé polarizaci k pólu jižnímu. Úhel odklonu od osy šíření bioenergetických vln různého kmitočtu α po průchodu gradientním magnetickým polem je uveden v Tab. 4

Tab. 4 Úhel odklonu od osy šíření bioenergetických vln různého kmitočtu α po průchodu gradientním magnetickým polem.

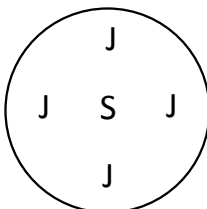
pro $f = 100$ MHz

Intenzita magnetického pole [mT]	α [°]
1	9
2	18
5	46
10	90
20	180
50	460
100	900

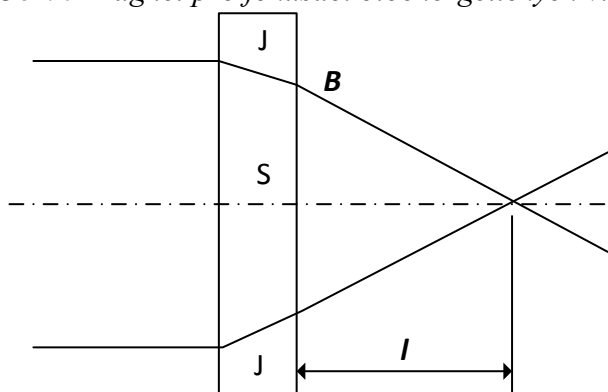
pro $\Delta B = 1$ mT

frekvence f [MHz]	α [°]
10	0,9
20	3
100	9
200	30
300	70
400	200

Průchodem bioenergetických vln magnetem s dostředným směrem magnetování (jeden pól magnetu je ve středu plochého kruhového válce a druhý na jeho obvodu (obr. 7) se bioenergetické vlny soustřeďují do jednoho bodu - fokusují. Vzdálenost ohniska magnetické čočky závisí na kmitočtu bioenergetických vln (obr. 8).



Obr. 7 Magnet pro fokusaci bioenergetických vln.

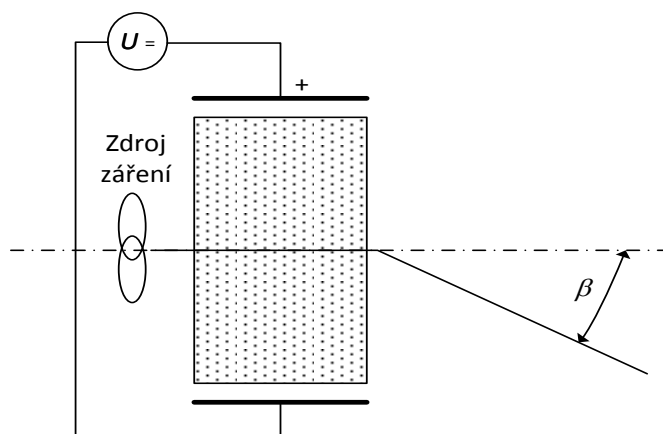


Obr. 8 Fokusace bioenergetických vln magnetickým polem.

Bioenergetické vlny se v elektrickém poli intenzity E ohýbají v rovině kolmé na směr intenzity elektrického pole. Úhel ohybu β je úměrný intenzitě elektrického pole E . Experimentálně byl určen úhel β a výsledky jsou uvedeny v Tab. 5. Uspořádání měření je na obr. 9.

Tab. 5 Úhel ohybu β bioenergetických vln v elektrickém poli.

U [V]	úhel odklonu β [°]		
	intenzita 100%	intenzita +50%	intenzita -50%
0.5	-13.5	+15	-35
1	-33	0	-50
2	-55	-23	-72
3	-72	-48	-90



Obr. 9 Ohyb bioenergetických vln v elektrickém poli.

Jestliže v uspořádání podle obr. 9 nepoužijeme zdroj napětí U a ponecháme jen jednu vodivou elektrodu, dojde k ohybu bioenergetických vln směrem od elektrody o úhel 27° . Nezáleží na materiálu elektrody. Byla zkoušena elektroda Cu, Al, Fe+Sn, voda, kopírovací papír. Úhel odklonu závisí na délce elektrody d , umístěné podél šíření bioenergetických vln. Nezáleží na otočení experimentu vůči světovým stranám. Důležité je elektrické pole země. Ohyb bioenergetických vln probíhá pravděpodobně po kružnici s poloměrem R a záleží na délce elektrod. Výsledky jsou uvedeny v Tab. 6.

Tab. 6 Ohyb bioenergetických vln vlivem jedné vodivé elektrody.

d [mm]	R [mm]
50	65
40	52
30	40
20	27
10	15
0	0

Pro fokusování bioenergetických vln je možné použít válcový kondenzátor. Vlny vstupují v ose kondenzátoru a ve vnitřním elektrickém poli se ohýbají směrem k ose kondenzátoru. Na kondenzátoru je elektrický potenciál se záporným pólem na střední elektrodě. Podle velikosti napětí a délce kondenzátoru je možné na ose kondenzátoru najít bod fokusace.

Záznam bioenergetického pole

Vlnění živých organismů včetně lidského těla je možné charakterizovat intenzitou, rotací a frekvenčním spektrem.

Intenzita bioenergetických vln přímo souvisí s velikostí bioenergie, o které se v psychotronice mluví a kterou citliví jedinci charakterizují různým způsobem. Jedni pocíty v rukou, jiní podle velikosti rozkmitu kyvadla. Těchto způsobů je velmi mnoho, ale vždy se jedná o detekci vlnění prováděnou člověkem. Používám kyvadlo a univerzální stupnici s dělením 0 – 100.

Rotace bioenergetických vln je specifická vlastnost živých tkání, buněk a molekul a charakterizuje prostorové uspořádání molekul. Živé organismy jsou vždy levotočivé. Rotaci je možné určit mentálním dotazem a kyvadlem.

Frekvenční spektrum bioenergetických vln: každý signál nebo vlnění má kromě intenzity také určitou frekvenci. Z praktického hlediska vyjadřují frekvenci ve stupnici $f = 10^x$ [Hz] a

zjednodušeně budu uvádět číslo x . Protože buňky jsou složeny z jadra, cytoplasmy, mitochondrií a dalších částic, vlnění buněk nemá jedinou frekvenci, ale mnoho různých frekvencí. Jako celek má buňka své specifické frekvenční spektrum – interferenční spektrum. V prostoru pak vlnění buňky vytváří své specifické interferenční pole. Všechny části lidského těla, orgánů, ale i atomů a jejich sub-částic, mají své specifické frekvenční spektrum.

Lidské tělo lze rozdělit do několika frekvenčních pásem. Jedná se o:

- fyzické tělo
- éterické tělo
- astrální tělo
- emocionální tělo
- mentální tělo
- tělo zvané universum

Pro všechna těla byl určen rozsah „vibrací“ a frekvenčního pásma s frekvencí f . Výsledky jsou uvedeny v následující tabulce, Tab. 7.

Tab. 7 Frekvenční spektrum těla živých organismů.

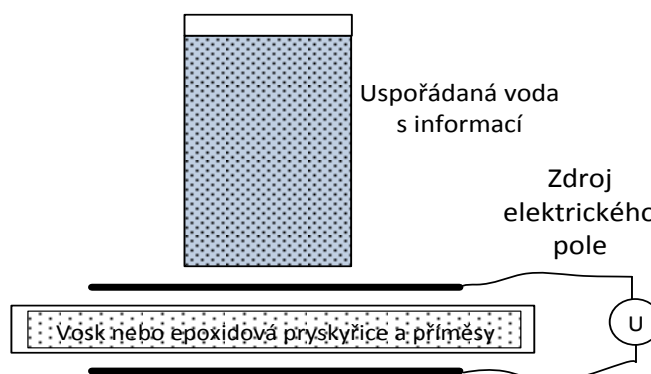
těla živých organismů	fyzické tělo	éterické tělo	astrální tělo	emocionální tělo	mentální tělo	universum
rozsah frekvencí* - 10^x / Hz	0 – 18	18 - 25	25 – 31	31 – 45	45 - 51	51 - 65

*stanoveno kyvadlem

Záznam vlnění slouží k uchování specifického vlnění v pevné hmotě. Pro další aplikaci je takový záznam možné mentálně nebo indukčně přenést do jiné hmoty nebo do lidských buněk.

Nejjednodušším médiem pro záznam vlnění je voda. Do ideální vody je možné zaznamenat frekvenční spektrum $x = 0 – 75$. Je to velký frekvenční rozsah vlnění doposud známých látek včetně lidských myšlenek a abstraktního myšlení. Její nevýhodou je tekutost a možnost zrušit záznam například magnetickým polem, ohřevem nebo mechanickým třepáním s molekulami.

Dalším vhodným médiem pro záznam vlnění je elektret. Možný maximální zaznamenaný frekvenční rozsah je $x = 0 – 39$. Příkladem je vosk nebo epoxidová pryskyřice, které tuhnou v elektrickém poli větším než 200 kV/m. Během tuhnutí je vosk v nahrávaném vlnění nebo bioenergetickém poli. V jednoduchém případě je možné vlnění zaznamenané ve vodě umístit ve svislé ose nad tuhnoucí vosk. Vlnění zaznamenané ve vodě vytváří dvojité kužely s počátkem v těžišti vody, přičemž osa kuželů je vždy svislá. Je možné použít i různá přenosová média. Schématický náčrt záznamového uspořádání je uveden na obr. 10.



Obr. 10 Schématický náčrt záznamového uspořádání.

Pro záznam o větším frekvenčním rozsahu (asi $x = 0 – 50$) je možné do vosku nebo epoxidové pryskyřice namíchat titanovou bělobu (TiO_2). Přimícháme-li velmi jemný jílový

prášek, bude možné zaznamenat frekvenční rozsah $x = 0 - 45$. Ještě větší rozsah frekvencí (asi $x = 0 - 60$) je možné zaznamenat přimícháním do vosku nebo epoxidové pryskyřice malé kousky polykrystalického monokrystalu křemíku. Šungit je zajímavý materiál. Chemickým složením je stejný jako diamant, ale svou krystalickou strukturou se odlišuje. Z hlediska záznamů bioenergetického pole umožní záznam vlnění ve frekvenčním rozsahu $x = 0 - 62$. Záznam se provádí v elektrickém poli do vosku smíchaným s oxidem titaničitým a několika kousků šungitu. Podobné vlastnosti vykazuje i vosk, oxid titaničitý a několika krystalů diamantu.

Intenzita bioenergetického pole bude odpovídat nejvyšší intenzitě vlnění vosku nebo vody se záznamem. V případě, že tuhnutí např. vosku bude probíhat v bioenergetickém poli známé aktivované vody (π -vody), bude intenzita vlnění odpovídat intenzitě vlnění π -vody.

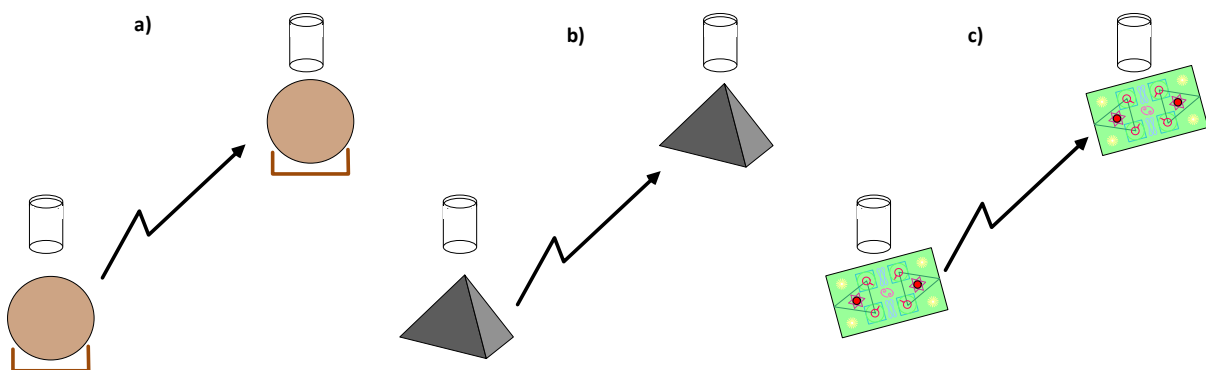
Vlastnosti přenosových médií

Přenos vlnění bioenergetického pole v psychotronice lze uskutečnit různými způsoby. Jedním způsobem je použít dvě identická přenosová média umístěná v potřebné a žádané vzdálenosti od sebe. První přenosové médium bude vysílačem vln a bude umístěno v místě vln, které chceme přenášet. Druhé přenosové médium bude přijímačem a bude umístěno v místě, kde chceme vytvořit pole se stejnými vlastnostmi jako v místě vysílače.

Pro testování vlastností přenosu bioenergetického pole byly použity následující přenosová média, obr. 11:

- 1) koule o průměru 25 mm vyrobené p. Bartákem (Brno),
- 2) pyramidy ze šungitu o hraně 80 mm orientované hranou S-J,
- 3) přenosové karty vytvořené p. Bartušekem (Brno),
- 4) přenosové karty s přiloženou 1 mm destičkou z polykrystalického křemíku (25 x 25 x 1 mm).

Metodika stanovení přenosu byla následující: každé přenosové médium bylo umístěno v samostatné místnosti ve vzdálenosti 5 m od sebe. Nad vysílací i přijímací médium byly umístěny skleněné nádoby s deionizovanou vodou (150 ml). Mentálně byl nahrán do vody vysílače soubor vlnění (interferenční pole) srdce. Tato vlnění představovala oblast vlnění fyzického těla (bílá oblast na obr. 12). Kyvadlem byla zjišťována úroveň vlnění srdce v %. Totéž bylo provedeno pro všechny ostatní oblasti frekvenčního spektra (různé odstíny šedé pro regulační systémy těla, vlnění duchovního těla a vlnění universa). Výsledné přenosy pro vybraná přenosová média podle obr. 11 jsou uvedeny v Tab. 8.



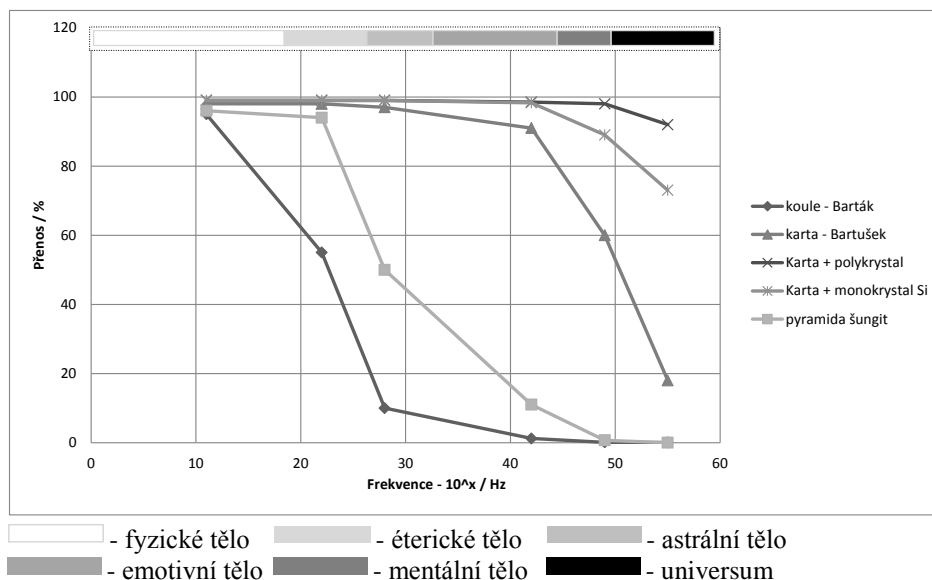
Obr. 11 Příklady přenosu přenosovými médii a) přenosové koule (Barták), b) orientované pyramidy, c) přenosové karty (Bartušek).

Přenosové koule, vyrobené p. Bartákem, a pyramidy (orientace směrem S-J) pracují ve frekvenční oblasti fyzického těla. Oblast regulačních systémů již přenáší s menším útlumem. Přenosová karta (vytvořená p. Bartuškem) zahrnuje i oblast duchovního těla. Přenosová karta s polykrystalickou křemíkovou destičkou přenáší frekvenční pásmo $10^0 - 10^{56}$ Hz. Při použití přenosové karty a monokrystalové křemíkové destičky je frekvenční šířka pásma menší $10^0 - 10^{48}$ Hz. Příklad přenosu bioenergetických vln vybranými přenosovými médii je uveden na obr. 11.

Tab. 9 Přenos bioenergetických vln srdce v % vybranými přenosovými médii.

přenosové médium	orientace	fyzické tělo	éterické tělo	astrální tělo	emocionální tělo	mentální tělo	univerzum
rozsah frekvencí 10^x (x) / Hz		0 – 18	18 - 25	25 – 31	31 – 45	45 - 51	51 - 65
frekvence srdce 10^x (x) / Hz		11	22	28	42	49	55
koule – Barták $\Phi = 25$ mm	žádná	95	55	10	1,2	0,1	0,05
pyramida šungit $L = 80$ mm	Hrana S-J	90	94	22	11	0,7	0.4
karta -Bartušek červená	žádná	98	99	99	89	72	68
karta + polykrystal Si	žádná	99	99	98,5	98	92	82
karta + monokrystal Si	žádná	99	99	98,3	89	73	65

Závěrem je možné říci, že všechna testovaná média umožní přenos vlnění a informací. Je však nutno zvážit, k jakému účelu přenos potřebujeme. Pro technické aplikace a využití „volné,, energie jsou vhodná všechna tři přenosová média. Pro stimulaci fyzického těla jsou vhodné pyramidy a přenosová karta. Pro přenos komplexních signálů (informací) je nutné přenášet celé frekvenční pásmo včetně frekvencí myšlenek a myšlenkových pochodů. Do této oblasti lze zahrnout i vlnění a informace universa.



Obr. 12 Přenosové vlastnosti vybraných přenosových médií.

V současné době se hodně mluví o pyramidách v Bosně a jejich léčebných účincích a snahách přenášet vlnění na dlouhé vzdálenosti (např. p. Bartákem z Bosny do Brna). Pokud vyhodnotíme frekvenční rozsah vlnění pyramid, dojdeme k rozsahu $10^0 - 10^{60}$ Hz. Pro přenos celého frekvenčního spektra je třeba zvolit vhodné přenosové médium, viz. výše.

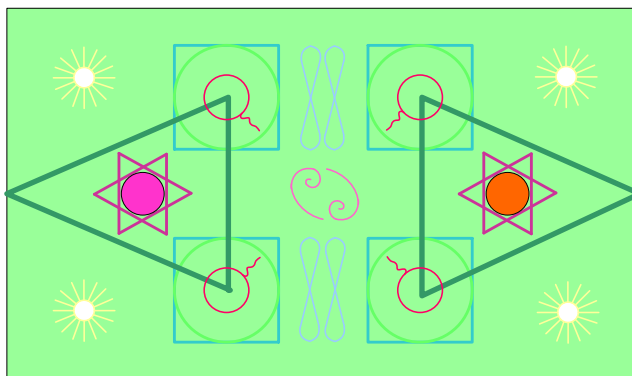
Vzhledem k mým zkušenostem v mentální diagnostice a terapii je třeba pracovat s větším frekvenčním rozsahem a to $10^0 - 10^{65}$ Hz. Např. pro úpravu trombocytů a jejich vlastností a harmonizaci správné funkce buněk je nejvyšší frekvence vlnění 10^{54} Hz. Pro tento frekvenční rozsah je vhodné doplnit přenosové karty polykrystalickým křemíkem. Je možné na kartu položit plátek polykrystalického Si tloušťky 1mm o rozměrech asi 20x20 mm. Toto přenosové médium je vhodné na přenos vlnění z pyramid v Bosně, což bylo v roce 2016 ověřeno.

Přenosové karty

Pro přenos bioenergetických vln bylo vytvořeno několik typů přenosových karet. Karty mívají stejné rozměry, 84x49 mm.

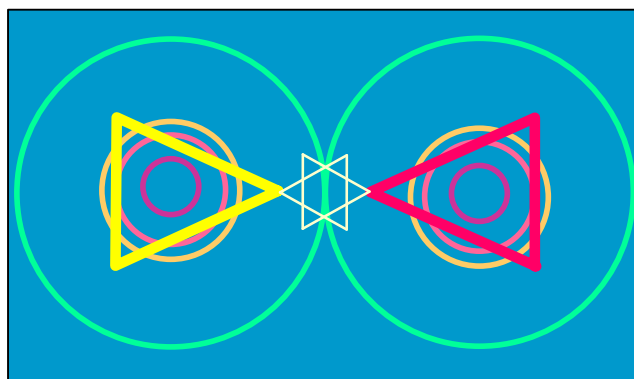
Pro přenos vlnění aktivované vody s vyšší harmonizací se používá jedna karta jako vysílací a druhá jako přijímací. Důležité je, že vysílací i přijímací přenosové karty jsou totožné. Z toho důvodu je lhostejné, která z těchto dvou přenosových karet je vysílací a která je přijímací. Přenos pracuje tak, že dochází k přenosu informací z hmoty (vody) s větší energií a uspořádáním do hmoty s těmito parametry horšími. Pro aktivaci vody se na vysílací stranu umístí aktivovaná voda a na přijímací stranu se vloží neaktivovaná voda. Přibližně za 2 minuty dojde k uspořádání molekul vody na přijímací straně. Pro bezchybný přenos je důležitý motiv karty a také její barvy. Aby nedoházelo ke vzájemnému ovlivnění vzorku z přijímací strany na stranu vysílací, nebo mezi několika přijímacími kartami, je vhodné karty položit na polopropustné vrstvy. U vysílací karty budou vlny propouštět ven (u vrstvené struktury od vrstvy TiO_2 k vrstvě Fe) k přijímací kartě. U přijímací karty nebudou vlny procházet ven k vysílací kartě. Polopropustné vrstvy jsou u vysílací a přijímací karty obrácené.

Zelená karta (obr. 13) přenáší frekvenční pásmo $0 - 10^{45}$ Hz. Tato karta přenáší jen vlny harmonizované vody. Její nevýhodou je, že nepřenáší energii vzorku umístěného na straně vysílače na vzorek umístěný na straně přijímače.

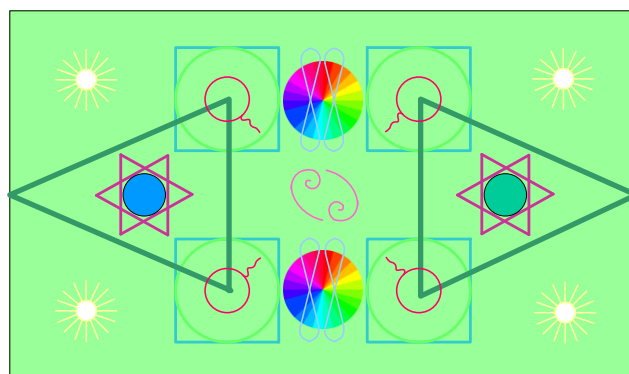


Obr. 13 „Zelená“ přenosová karta – 84x49 mm.

Modrá přenosová karta (obr. 14) přenáší energii vzorku umístěného na vysílací straně ve frekvenčním pásmu $10^0 - 10^{45}$ Hz. Tato karta nepřenáší uspořádanost molekul.



Obr. 14 „Modrá“ přenosová karta – 84x49 mm.



Obr. 15 Přenosová karta pro přenos maximálních frekvencí – 84x49 mm.

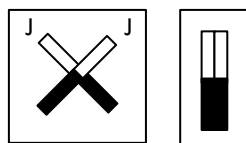
Pro zvýšení frekvenční šířky pásma je vhodné na střed vysílací i přijímací karty položit kousek (asi 10x10 mm) polykrystalického křemíku. Pro přenos uspořádanosti a energie molekul položíme obě vysílací karty těsně na sebe. Na pořadí nezáleží.

Pro přenos bioenergetického pole vody aktivované pomocí tepelných cyklů byla navržena další přenosová karta, zobrazené na obr. 15. Ta umožní přenos vlnění s frekvenčním pásmem $10^0 - 10^{75}$ Hz.

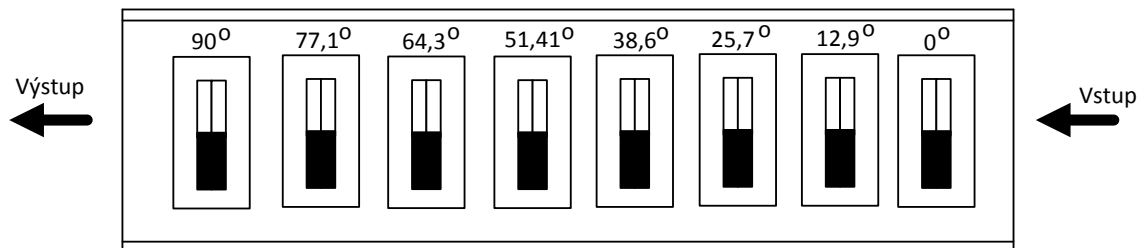
Zesilovač bioenergetických vln

Pro zesílení bioenergetických vln bylo navrženo zařízení, které umožní na svém výstupu zvýšit úroveň bioenergetického pole, přičemž na vstupu se úroveň bioenergetického pole sníží. Dochází tedy k přesunu energie ze vstupu na výstup.

Konstrukce zařízení je znázorněna na obr. 16. a obr. 17. Základem je periodická struktura magnetického pole znázorněná na obr. 16. Jedná se o dva zkřížené válcové magnety o průměru 3 mm, délky 20 mm polarizované ve směru osy magnetu. Úhel zkřížení magnetů je 90° . Celkem 8 magnetů je umístěno na společné ose s roztečí 50 mm, přičemž zkřížené magnety, umístěné kolmo k ose zesilovače, mají postupně narůstající úhel otočení ve směru postupu hodinových ručiček (od vstupu k výstupu). Celá sestava magnetů je v novodurové trubici o průměru 63 mm. Výhodnější by bylo, kdyby se novodurová trubice směrem k výstupu zužovala až na průměr 36 mm.



Obr. 16 Dílčí magnetické pole.



Otáčení je ve směru pohybu hodinových ručiček

Obr. 17 Konstrukce zesilovače bioenergetických vln.

Tab. 10 Výsledky testování zesilovače.

poznámky	Vzorek č.	Doba přenosu	Uspořádanost	Energie	Objem vzorků	Násobek mezonů vůči okolí
	-	min	mm	mm	ml	-
reference	1		45	15	50	0,84
reference	2		45	15	50	0,84
s přenosem	1	5	10	5	50	0,28
s přenosem	2	5	290	240	50	13,5
reference	1		45	45	100	2,53
reference	2		45	15	50	0,84
s přenosem	1	5	45	5	100	0,28
s přenosem	2	5	290	360	50	20,27
reference	1		45	8	50	0,45
reference	2		45	10	100	0,56

Výsledná sestava zesilovače byla testována následujícím způsobem. Na vstup zesilovače byla postavena kádinka se vzorkem č. 1 obsahující 50 ml deionizované vody. Na výstup byla postavena kádinka se vzorkem č. 2 stejná jako na vstupu.

Uspořádanost vody a energie byla testována kyvadlem a byl stanoven průměr otáčení kyvadla R , který je úměrný uspořádanosti molekul vody nebo její energii a to podle definice operátorem.

Z měření vyplývá, že zesilovač přesouvá energii ze vstupu na výstup. Na výstupním vzorku č. 2 se objeví zvýšená energie i uspořádanost molekul, přičemž na vstupu se energie vzorku č. 1 sníží, ale uspořádanost jeho molekul zůstává. Obecně se dá říct, že dané zařízení odsává energii ze vstupního vzorku a přenáší ji na výstupní vzorek. Je evidentní, že v případě, že energii z výstupního vzorku převedeme do země, na vstupu zesilovače bude minimalizované pole v prostoru asi 10 m v ose zařízení a 2 m v největší šířce. Pro některé aplikace to může být zajímavé.

Třetí dílčí závěr o bioelektrických polích

Základem Země a našeho známého světa je tedy interferenční pole. Je to soubor vln s určitým frekvenčním spektrem a fázovými poměry mezi spektrálními čarami. Tyto vlny pak vytvoří specifické elektromagnetické pole, ve kterém žijeme, pohybujeme se a tvořivě myslíme.

Bioenergetické pole kolem člověka je složeno ze součtu bioenergetických vln jednotlivých orgánů, buněk, atomů a jejich subčástic. V souhrnu bioenergetické pole vyjadřuje součet intenzit všech vln v každém bodě prostoru. Z technického pohledu se jedná o interferenční pole všech částí lidského těla.

Pomocí simulace je možné matematicky vytvořit takové interferenční pole, které bude podobné interferenčnímu poli člověka včetně zvýšených intenzit v místě jeho čaker. Takové pole bude charakterizovat bioenergetické pole člověka, které má vztah k frekvencím jednotlivých buněk a orgánů včetně jejich prostorového uspořádání.

Bioenergetické vlny (vlny buněk živého organismu) se šíří většinou materiálů bez útlumu. Existují však materiály, které kladou průchodu vln malý odpor. Při průchodu vln materiálem dochází k ohybu vln. Elektrické a magnetické pole uvnitř materiálu ovlivní šíření vln. Jistým uspořádáním těchto polí je možné bioenergetické pole fokusovat do jednoho bodu a tím zvýšit jeho energii. Za izolační materiál pro tyto vlny je možné považovat vrstvu např. včelího vosku nebo magnetickou rovinu. Na základě šíření bioenergetických vln v elektromagnetických polích je možné vytvořit izolační rovinu pro tyto vlny a na základě vlastností izolační roviny lze sestavit buď akumulátor bioenergetického pole, nebo izolační prostor, umožňující izolovat člověka případně i s terapeutem od okolního prostředí. Tím je možné snížit úroveň rušivých polí při mentální diagnostice.

Znalosti šíření vln materiálem mohou posloužit pro návrh zařízení pro zvýšení energie vln, filtraci zvolených frekvenčních pásem nebo detekci bioenergetického pole. Zajímavým zařízením je také zesilovač bioenergetických vln. Dokáže přenést zesílené vlny ze vstupu na výstup.

Pro některá použití je potřebné bioenergetické vlny zaznamenat do pevného média. Vhodným materiálem je včelí vosk nebo epoxidová pryskyřice tuhnoucí v elektrickém poli za přítomnosti zaznamenávaného pole. Takto je vytvořena pevná paměť bioenergetických polí s využitelností např. v homeopatickém působení nebo výrobě homeopatických léků. Pro přenos zaznamenaných informací na velké vzdálenosti je možné vytvořit vysílač a přijímač. K tomu účelu byly ověřovány přenosy pomocí dřevěných koulí se šungitem, šungitových pyramid a přenosových karet. Při přenosu je velmi důležité, abychom měli dostatečnou frekvenční šířku pásma a přenesli vlnění nejenom fyzického těla, ale také všech jemnohmotných těl člověka včetně univerza.

Tyto empiricky ověřené vlastnosti mohou být inspirací pro vysvětlení a popis charakteru vln a mohou přispět k detekci vln v okolí člověka.

Člověk

Úvahy o zemi a člověku

Všechny změny na zemi ať se to týká živé i neživé by měly být takové, aby se Země neměnila k horšímu a vydržela co nejdéle dobu. Mělo by to vést k co nejpomalejšímu rozpadu hmoty Země. Pokud se to lidem nepodaří dodržet, projeví se to negativně na energii a harmonizaci vlnění přírody, nastane mnoho nepříjemných změn na zemi a ovlivní to lidskou populaci k horšímu. S tím souvisí i nárůst a modifikace nemocí hlavně u mladších lidí.

Co je prvotní?

Naskytá se otázka. Co je prvotní, duše nebo fyzické tělo člověka? Pro běžný život odpověď na uvedenou otázku není vůbec důležitá. Její důležitost se projeví v případě, že člověk cíleně zvyšuje duchovní uklidnění a svou celkovou energii. Odpověď na položenou otázku však není jednoduchá. Prvotnost duše nebo i těla není možné nijak změřit nebo nepřímými metodami dokázat. Jsou to části člověka jako celku, které jsou navzájem silně vázány a špatně se od sebe oddělují. Popis duše nebo těla a jejich charakteristiky vyplývají z reakcí člověka na okolní podněty, na jeho pocitech a v případě fyzického těla na výsledcích lékařských vyšetření prováděných pomocí mnoha různých metod a přístrojů. Nezanedbatelná je také zkušenost a intuitivní posouzení zdravotního stavu pacienta lékařem.

Duše i fyzické tělo jsou navzájem úzce svázány. Do fyzického těla zahrnujeme nejen tkáň složené z buněk a všechny funkční části těla, ale i regulační pochody v těle, myšlení, abstraktní myšlení, intuici a jiné vjemy člověka. Obě uvedené části, pokud nepracují správně, ve svém důsledku vedou ke změně stavu fyzického těla a nemoci. To je důvod, proč není jednoduché odpovědět na jednoduchou otázku: Co je prvotní? Duše nebo fyzické tělo? Zodpovězení této otázky ponechám na čtenáři po přečtení této knihy.

Duše člověka

V případě prvotnosti duše, duše existuje. Zastánci této myšlenky říkají: duše potřebuje fyzické tělo, ale po smrti fyzického těla duše zůstává a odloučí se od těla. Odloučená duše zemřelého zůstává v prostoru na zemi. V některých případech bývá vázána na živé osoby, od kterých se nemůže odloučit a kterým může přivodit zdravotní problémy. V těchto případech mohou pomoci kněží nebo některé osoby, které jsou schopni mrtvé duše odloučit od živých těl. Pokud duše má na světě ještě něco vykonat, může se reinkarnovat do nově narozeného těla. V průběhu života tohoto těla je cílem vyřešit nějaký problém a posunout se do vyšších duchovních úrovní. Takto se může duše reinkarnovat mnohokrát.

V současné době existuje mnoho knih popisujících duši člověka a její vliv na vznik nemocí nebo na posílení imunity člověka. Duše určuje stav fyzického těla, myšlenkové pochody člověka, jeho reakce na okolní svět včetně chování ostatních lidí, charakterové vlastnosti člověka, chování člověka a jeho životní cíle a potřeby. Duše tedy určuje, jakým způsobem člověk žije, jaký má životní cíl a priority. Je třeba zdůraznit, že v duši se projevují pozitivní a negativní důsledky našeho chování a jednání během života a také v našich minulých životech.

Úroveň negativních bloků se charakterizuje velikostí karmy a to za současného života i životů minulých. Zajímavé je, že v případě zjišťování psychických bloků citlivými osobami jsou určeny převážně ty situace, které negativně působí na člověka a způsobují mu nemoc. Přece pozitivně působící události posouvají člověka do vyšších duchovních úrovní a pomáhají mu k duchovnímu růstu. A tyto události by si měl člověk uvědomit a pomocí nich cíleně pracovat na svém duchovnu a vylepšovat jej. Psychické bloky zhoršují zdravotní stav člověka. Nejprve málo, přičemž člověk si tyto změny ani neuvědomí. V případě zvyšování počtu těchto psychických bloků dochází ke zhoršování funkce těla a člověk si začne změny uvědomovat. Nedbá-li na ně, nemoc se zhoršuje. Člověk si však málokdy propojí vliv negativních stresových situací se svou nemocí. Léčení důsledků psychických bloků je pak málo účinné a mnohdy se zvýrazní negativní působení léků.

Preventivní postup spočívá v duchovním růstu člověka. Cílem tohoto růstu je dosáhnout vysokého duchovního klidu (klidu v mysli) člověka. V knihách je to dostatečně vysvětleno a jsou uváděny různé způsoby dosažení duchovního růstu. Některé z nich může člověk provádět sám, jiné za pomoci lektorů (instruktorů). Účinné pro uklidnění nervového systému jsou různé druhy meditace.

Meditace vede k uklidnění nervového systému. Je možné jít do lesa nebo klidného prostředí a to nejlépe sám bez rozptylování druhou osobou. Při procházce je třeba pozorovat okolí, nepřipouštět myšlenky týkající se problémů nebo přemítat o tom, co jsem měl udělat jinak apod. Pokud takové myšlenky přijdou, je nutné poslat je pryč a navrátit se ke vnímání procházky a pocitu, který přináší. Prostředí k meditaci může být různé a závisí na osobě, kde se cítí dobře, v klidu a v příjemné pohodě. Ovšem opět musí být sám. Cvičení při tomto druhu meditace není vhodné.

Cvičení, které provádí jóga nebo mnohé jiné techniky, uvolňují tělo, vedou k lepšímu prokrvení tkání a také mozku. Lepší prokrvení mozku vede k uklidnění nervového systému. Podobně působí i rekreační sport, cyklistika, bruslení, lyžování apod. Jóga provozuje také cílené cviky na posílení nervového systému a zklidnění duchovna. Taková cvičení mají velmi dobrý vliv a člověk se cítí klidnější a některé problémy postupně doznívají.

Pokud najdeme doma klidné místo, můžeme uklidňovat nervový systém tím, že se zklidníme a postupně si vybavíme stresovou situaci, kterou jsme nedávno zažili. Znovu si ji v duchu prožijeme, přičemž se s časovým odstupem na ni díváme trochu jinak. Pokusíme si ji vysvětlit, zdůvodnit z čeho plyne nebo jak zapadá do mozaiky událostí v mém okolí nebo v celém světě. Zjistíme, že pro situaci buď nemůžeme něco udělat a pak se s ní nebudeme nadále zabývat a vymažeme si ji z mysli. V případě, že situaci můžeme ovlivnit svým činem, je třeba zvolit postup pro nápravu a udělat všechny potřebné kroky. V mnohých případech stačí požádat o odpuštění toho, komu jsem ublížil, požádat o odpuštění sobě za vlastní ublížení a odpustit tomu, kdo mi ublížil. Takto lze negativní pole (blok) změnit tak, aby nepůsobil negativně na tělo. U věřících osob je možné pomodlit se za nápravu negativních situací a činů. Tím způsobem lze postupně odstraňovat negativní bloky. Tiché a klidné prostředí kostela nebo modlitebny duchovnímu uklidnění výrazně pomáhá.

V případě, že se nám meditace nedaří, je možné navštívit kineziologa, který je schopen svou citlivostí najít psychické bloky a pomoci Vám odstranit je. Podobně jsou účinné různé druhy psychoterapie, působení pomocí rodinných konstelací apod. Těchto metod je velmi mnoho, vzájemně se liší a liší se také dosažené výsledky.

Pro život člověka je důležitý dosažený stupeň duchovního vývoje. Podle této teorie člověk dosáhne odpovídající úrovně duchovního klidu a tomu odpovídající zdravotní stav těla. Úroveň duchovního klidu se projeví především v jednání člověka, jeho charakterových vlastnostech i podle reakce na především negativní podněty od okolních lidí. Člověk není vznětlivý, má jasnou představu o smyslu a cílech svého bytí a tomu odpovídají priority v činnosti člověka. Cíleným úsilím k duchovnímu růstu dochází ke zvyšování duchovního klidu a člověk na

určitém stupni duchovního vývoje začne dostávat informace od boha nebo z univerza a ty jej mohou posouvat v jeho vývoji výše. Proto je vhodné v případě nemoci uvažovat, co nám má nemoc říci, kde člověk udělal chybu a kterým směrem má postupovat ve svém duchovním vývoji. Duchovní vývoj člověka není jednoduchou záležitostí, trvá dlouhou dobu. Jsou lidé, kteří nejsou schopni postoupit ve svém duchovním vývoji výše a v mnohých případech během celého života zůstanou na těch nejnižších stupních.

Duchovní vývoj člověka silně závisí na víře v tuto mentální techniku, na velikosti karmického zatížení (přebraného od dřívějších pokolení nebo získané během života), na cílevědomosti v dosažení vyšších stupňů duchovního vývoje a mentální síle člověka udělat ve svém životě významné změny. Všemi meditačními technikami a duchovním vývojem dosáhneme snížení karmické zátěže a škodlivých negativních polí na člověku. V důsledku to povede ke snížení nebo potlačení projevů různých nemocí.

Fyzické tělo

Fyzické tělo je složitý organizmus s mnoha regulačními systémy. Jako celek tvoří člověka kromě fyzického těla také myšlení, emoce, duchovno atd. Fyzické tělo se skládá z buněk různého typu a funkcí a z mezibuněčného prostoru. Buňky se skládají z různě uspořádaných molekul a ty opět z jednotlivých atomů propojených chemickými vazbami na vyšší celky. V současné době fyzika dokázala existenci subčástic atomových jader – kvarků. V té nejjemnější struktuře vidíme, že hmota, kterou vnímáme našimi smysly, se skládá z menších a menších částí. Tak to může jít do nekonečna. Je to omezeno jen úrovní našeho poznání a možnosti detekovat ty nejjemnější částice. Doposud poznaná struktura hmoty se dost věrně podobá vesmíru, jeho složení a souboru hvězd a planet. Už tato podobnost je velmi zajímavá.

Připusťme, že vesmír obsahuje elektromagnetické pole široké škály frekvencí, od nejnižších frekvencí po frekvence ultrafialového, rentgenového záření až po γ -záření a kosmické záření. V případě, že dojde k harmonizaci (fázovému srovnání) některých frekvenčních složek vesmírných vln, člověk vnímá soubor harmonizovaných vln jako částici. Ve větším měřítku jako plynný mrak, hvězdu, slunce případně planetu. Vnímá hmotné částice. Lze připustit hypotézu, že Země případně jiné planety mají popsanou strukturu. Pevné materiály mají ve svém nitru velký dynamický pohyb malých částic. Navenek se člověku tyto materiály zdají pevnými, kterými jiná hmota neproniká. Ovšem v případě plynného hélia je tomu jinak. Atomy hélia pronikají většinou materiálů a je jen několik málo typů látek, kterými neprojdou.

Podobně je to s buňkami živých organismů. Fyzické tělo skládá z menších a menších částí. Nejmenšími fyzikou poznanými částmi hmoty jsou kvarky, ze kterých se skládá atomové jádro. Některé experimenty s harmonizováním molekul vody vede k představě, že i elektron se skládá ze tří subčástic (vlastní poznání). Směr rotace subčástic elektronů určuje náboj elektronu jako celku. V případě, že nějakým mentálním nebo fyzikálním polem docílíme sfázování vln subčástic elektronů a jader, dosáhneme výhodnějšího harmonizování vln molekul vody a elektromagnetické pole v okolí atomů bude mít výrazně vyšší uspořádanost, než v případě nesfázovaných vln.

Na lidské tělo se můžeme dívat jako na soubor elektromagnetických vln různých frekvencí. Tento soubor z elektrotechnického pohledu vytváří interferenční elektromagnetické pole. Podle typu tkáně, buněk a jiných částí těla má každá část těla specifické frekvenční spektrum. Rozsah frekvenčního spektra odpovídá velikosti tkáně nebo jiných částí. Je od nejnižších frekvencí (odpovídají velikosti tkáně, např. srdce jako celku) až po nejvyšší frekvence, odpovídající nejjemnějším strukturám (subčásticím elektronu) a týkají se našeho myšlení, emocí, pocitů, duchovna a nových myšlenek. Každá buňka, tkáň i orgán v těle má specifické interferenční pole a to jedinečné pro každého člověka. Takové interferenční pole můžeme nazvat **informační**

pole člověka. Vždyť existují případy, kdy mentální diagnostik je schopen provést diagnostiku vybraného jedince ze souboru mnoha lidí. Tak např. na náměstí nějakého města se bude nacházet stovka lidí. Diagnostik si vybere jednu osobu a je schopen provést diagnózu této osoby, přičemž ostatní osoby mu nevadí. Z toho plyne, že bioenergetické vlny vybraného člověka musí mít „adresu“ a tím se stávají jedinečnými. Může to být podobně jedinečným papilárním liniím na prstech. Adresa může souviset např. se strukturou receptorů na povrchu buněčných membrán. Podobně specifické interferenční pole mají infekce, toxiny a všechny organické i anorganické látky.

Frekvenční spektrum interferenčního elektromagnetického pole fyzického těla je vhodné rozdělit na jednotlivá spektrální pásma podle zvyklostí v psychotronice. Tato pásma jsou často nazývaná „těla člověka“ a jsou myšlenkově umístěna od fyzického těla směrem ven do prostoru. Protože pojmenování frekvenčních pásem (těl člověka) není jednotné, je v této knize používáno následující dělení: fyzické tělo, éterické tělo, astrální tělo, emocionální tělo, mentální tělo a universum.

Fyzické tělo je soubor všech buněk lidského těla tvořící tkáň, orgány a celé systémy těla. Do fyzického těla patří i náš systém receptorů, nervů, cév, lymfatických drah a jiných prvků našeho fyzického těla, tak jak ji popisuje lékařská fyziologie člověka.

Éterické tělo člověka je energetické tělo a je kopií fyzického těla. Kopíruje jeho siluetu ve vzdálenosti 3 - 5 cm. Patří do něj i veškeré regulační systémy v těle. Odpovídá energii všech částí fyzického těla v pracovním režimu.

Astrální tělo člověka je součástí našeho vědomí. Jedná se o soubor interferenčních vln nesoucích informace o našem vědomí a získaných zkušenostech. Ač to z ní neuvěřitelně, každý z nás mnohokrát ve spánku astrálně cestoval. Málokdo si však toto putování pamatuje. Většinou se nám v hlavě zachytí jen jakési vzpomínky na sen, kdy padáme, kdy letíme apod. Chceme-li si svou astrální cestu pamatovat i s tím, co během ní děláme a kde jsme byli, musíme se na ni připravit a to formou práce se svým vědomím, uměním relaxovat, naučením ovládat svůj spánek, své smysly apod. Na toto téma bylo napsáno mnoho knih a sestaveno mnoho různých cvičení.

Emocionální tělo člověka je soubor interferenčního pole odpovídajícího našim emocím. Citliví jedinci jej vnímají jako neustále se přelévající barevné shluky energie, které reagují na naše emoce. Čím větší emoce, tím tmavší shluk barev. Pokud někoho stále ovládají negativní emoce jako pocit křivdy nebo agresivita, tvoří dlouhotrvající shluky záporné emocionální energie, které mají negativní dopad na naše zdraví.

Mentální tělo je tělo lidských myšlenek a reakcí na vnější ale i vnitřní podněty. Jedná se o soubor interferenčních vln frekvenčně odpovídajících myšlení běžného i abstraktního. Mentální tělo má jasně žlutou barvu, která vychází z hlavy člověka a šíří se do celého těla, Když někdo soustředěně přemýšlí, mentální tělo se rozšiřuje a stává se jasnějším.

Universum je soubor interferenčních vln obsahující vlny všech předchozích těl a nesoucí všechny informace o člověku ať minulé, současné, ale i budoucí.

Na otázku „Co je prvotní, duše nebo fyzické tělo člověka?“ bych odpověděl, že se jedná o **jednotu** duše a fyzického těla. Jedna část bez druhé nevytvoří život a živé organizmy. Odejde-li fyzické tělo, duše podpoří vesmírné interferenční pole. Při karmické a jiné zátěži těla, bude mít duše disharmonickou energii a povede to k vytvoření nové hmoty. Ta se bude spíše rozpadat na struktury s nižší energií. Úkolem takového člověka je docílit v průběhu života zvýšení energie i harmonizace interferenčních polí buněk těla.

Fyzické tělo, myšlení a duchovno

Není jednoduché rozlišit, zda naše tělo, myšlení a duchovní život potřebují ke své činnosti buňky lidského těla, nebo zda podstatou funkce fyzického těla je psychika člověka, jeho myšlení nebo duchovní podstata jedince.

Na jedné straně jsou lékaři a skupina zastánců alternativních léčebných metod pokládajících za základ funkce lidského těla (živých organizmů) buněčnou strukturu a soubor nervových vláken. Tento soubor vytváří postupně orgány, funkční systémy a celý organismus. U člověka uvedená struktura vyústí v abstraktní myšlení a duchovní svět. Smrtí buněk zaniká celý organismus a život jedince končí, včetně všeho, co vytvořil, jak jednal a co po sobě zanechal.

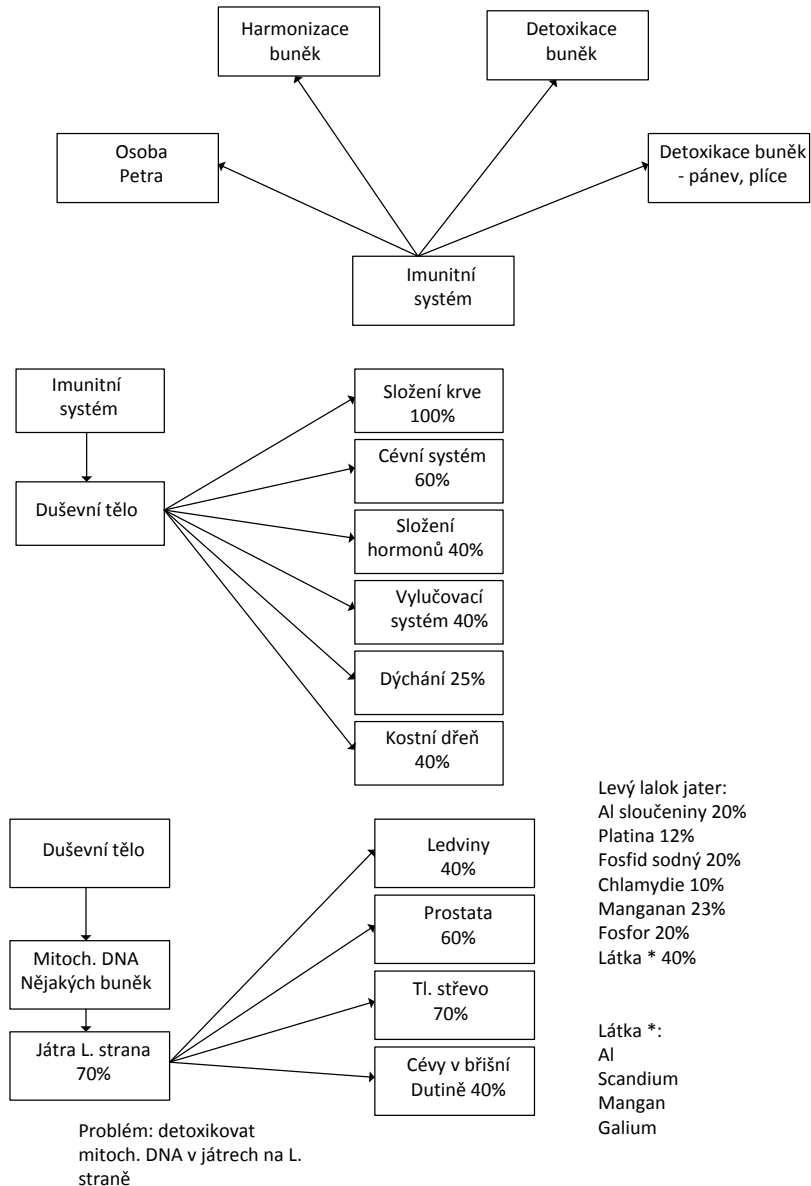
Na druhé straně je mnoho zastánců opačného pohledu. Základem lidské bytosti (živého organismu) je duchovno, se svou energií, myšlenkami případně duší apod. Vše, co se děje, se odvíjí z myšlenkové oblasti a v ní je také vše zaznamenáno. Funkce fyzického těla se odvíjí od duchovní oblasti. Smrtí končí fyzické tělo, ale duše nadále existuje.

Toto je velmi zjednodušený pohled a jistě má mnoho odstínů mezi oběma póly. Rád bych vyjádřil několik poznatků a zkušeností, které podporují spíše **jednotu** obou z uvedených oblastí.

Před mnoha lety se konala malá konference týkající se balneoterapie. V souvislosti s tímto tématem přednesl jeden lékař, zabývající se homeopatií, zajímavou přednášku o způsobu jeho léčby a výběru homeopatických léků. Své pacienty rozděloval do několika skupin (bylo jich až 20) podle jejich chování, podle reakcí na podněty z okolí, podle jejich charakterových vlastností apod. Obecně rozděloval pacienty podle jejich psychického stavu. Každé skupině pak předepisoval homeopatické léky obsahující jeden výrazný chemický prvek nebo několik prvků, které spolu sousedí v Mendělejevově periodické tabulce prvků. Výsledkem léčení bylo, že pacienti změnili své chování a normalizovali svůj psychický stav. To vede k závěru, že problémy změny psychického stavu pacientů má na svědomí změna struktury chemických látek v nervových buňkách.

Pro podporu této hypotézy uvedu ještě několik zajímavostí. Pro vnímání člověka a léčitelské schopnosti je významná dostatečně velká energie. Tu někteří citliví lidé vnímají ve vnitřním obraze nebo ve svých myšlenkách. V mém případě jsem dříve měl tuto energii na dobré úrovni, což bylo možné charakterizovat v definované stupnici hladinou 32. Postupem času se tato hladina snížila na hladinu 6. Podle několika vnímavých osob to bylo způsobeno vlivem lidí, se kterými jsem byl ve styku, kterým jsem pomáhal nebo tzv. vazbami na takové lidi. Vesměs na mě působili negativně a snižovali mi energii těla. Jednalo se tedy o myšlenkové pochody okolních lidí a rodiny. Pro obnovení hladiny energie podle těchto vnímavých lidí bylo nutné upravit psychické vztahy s těmito lidmi a odstranit myšlenkové a psychické vazby mezi těmito lidmi a odstranit negativní psychické energie na mém těle. Z tohoto pohledu se jedná o očistění mého duchovního těla. Provedl jsem tedy rozbor stavu mého fyzického a duchovního těla. Nejprve jsem rozlišil, zda je nutné léčit fyzické tělo, duchovní tělo nebo energetické vazby mezi mnou a okolím nebo zda je nutné léčit jiný problém. Výsledkem rozboru bylo léčení fyzického těla a nic nenaznačovalo věnovat se léčení ostatních oblastí. Z toho důvodu jsem rozlišil, jaká část těla má největší vliv na pokles energie. Vyšly z toho následující oblasti. Imunitní systém, vliv nějaké osoby, harmonizace buněk, detoxikace buněk a detoxikace buněk pánve a plic. Výsledkem posuzování, která z těchto oblastí je nejvýznamnější a nejvíce ovlivňuje nebo vytváří negativní energii v oblastech ostatních, byl prioritní imunitní systém. Výsledky diagnostiky jsou uvedeny na obr. 18 nahoře. Proto bylo vhodné podobným způsobem provést rozbor a zjistit, co způsobuje zhoršení funkce imunitního systému. Na obr. 18 uprostřed je uveden výsledek. Na zhoršený stav imunitního systému mělo největší vliv jen duševní tělo, což představuje soubor všech regulačních systémů v těle. Tam se jeví problém. Duševní tělo však zhoršuje funkci 6 ti oblastí, obr. 18 dole. V uvedeném případě snížení funkce duševního

těla způsobovala jen přítomnost toxických látek v mitochondrické DNA některých buněk v těle. Tyto buňky byly lokalizovány do oblasti jater na levé straně těla. Zhoršená funkce jaterních buněk vedla ke snížení funkce ledvin, prostaty, tlustého střeva a cév v břišní dutině. Problém snížení energie těla tedy vedl na přítomnost toxických látek v jaterních buňkách na levé straně. Podrobnější rozbor látek, které jsou přítomny v jaterních buňkách, ukázal celkem na 7 látek. Jsou to Al sloučeniny, platina, fosfid sodný, chlamydie, mangan, fosfor, a sloučenina Al, skandia, manganu a galia. Po mentální detoxikaci těchto látek v jaterních buňkách se zvýšila energie těla na hladinu 65. Citlivá osoba po tomto zásahu již nedekovala duchovní bloky a zvýšenou energii potvrdzovala.



Obr. 18 Výsledek diagnózy poklesu energie těla. Procenta určují vliv zkoumaných oblastí na snížení činnosti sledované části těla.

Výsledek této diagnostiky ukazuje na skutečnost, že energetický pokles mého těla nebyl způsoben v duchovní oblasti ani v oblasti myšlení, ale byl způsoben přítomností toxických látek v jaterních buňkách. A tento problém byl některými citlivými osobami interpretován

jiným způsobem. Je to jeden z výsledků, který mě vede k úvaze, že i příznivé myšlenkové pochody jsou dány čistotou buněk organismu. A to platí obecně.

Dalším příkladem je hladina serotoninu v těle. Mnoho lidí při snížené hladině serotoninu pociťuje ve zvýšené míře bolest, stres, depresi a úzkost. Při ještě nižší hladině serotoninu pacient má myšlenky na sebevraždu apod. Serotonin se tvoří v nervových buňkách, především v prodloužené míše, mostu, předním mozku a mezimozku. Tento systém si udržuje za normálních podmínek optimální hladinu serotoninu vlastní syntézou. Je logické, že v případě přítomnosti toxických látek (patří mezi ně i stres a negativní myšlenky pacienta) v buňkách bude narušena tvorba serotoninu. V tom případě bude pacient pociťovat výše uvedené příznaky. Ze zkušenosti se jeví výhodné pro obnovení optimální hladiny serotoninu provést mentálním způsobem detoxikaci nervových buněk nebo v některých případech stačí zlepšit prokrvení nervových buněk. Taková terapie v mnoha případech je dostačující, hladina serotoninu se rychle normalizuje a potíže pacienta vymizí. Lékařská medicína používá pro doplnění serotoninu chemické léky.

I tento příklad podporuje hypotézu, že struktura a přítomnost chemických látek v nervových buňkách je schopna změnit psychické chování člověka. Obráceně to pracuje podobně. Dlouhodobé stresy nebo negativní myšlení mají za následek usazování nevhodných chemických látek v buňkách a měnit tak strukturu chemických látek v těle. Důvodem může být skutečnost, že negativní myšlenka je vlnění vysokých frekvencí s kladným nábojem a pravotočivou rotací. Tyto vlastnosti ovlivňují stav nervových buněk a synapsí. Důsledkem těchto stresových polí je vznik předpokladů vzniku nežádoucích chemických vazeb v nervových buňkách a usazování nežádoucích látek. Zkušenost ukazuje, že přítomnost nevhodných chemických látek v buňkách způsobuje změny psychického chování člověka. Tato změna však prohlubuje usazování nevhodných látek (nebo jen usazování látek postupně pokračuje) a postupně se zhoršuje psychická reakce člověka na vnější podněty. Takový cyklus se neustále prohlubuje a může to postupně vytvořit depresi, strachy, nespavost. Pozitivní myšlení dokáže provádět mírnou detoxikaci buněk. Souvisí to s fyzikálními vlastnostmi buněk, fyzikálními vlastnostmi myšlenek a změnou fyzikálních vlastností neuronů uchovávajících negativní myšlenku.

Zajímavými jsou rezonanční frekvence buněk. Rezonanční frekvence buňky je základní frekvencí vlnění buňky. Základní frekvence vyplývá ze spektra orgánu nebo buňky a závisí na rozsahu spektra a intenzitách vln všech dílčích částí orgánu nebo buňky. Každá zdravá buňka jako celek rezonuje na frekvenci $10^{31,46 \pm 1,2}$ Hz. Tato frekvence se mírně liší podle velikosti buňky, podle funkce a vnitřního složení. Tyto změny jsou malé a nepřesahují velikost $10^{\pm 2}$ Hz. Pokud ovšem bude buňka případně její DNA nebo mitochondriální DNA obsahovat toxické nebo nevhodné chemické látky, změní se její rezonanční frekvence a mohou vzniknout některá z nervových onemocnění. Také rakovinné buňky mají výrazně odlišné rezonanční frekvence $10^{9,36 \pm 1}$ Hz. Ovšem pozor. Buňky napadené chlamydiemi změní rezonanční frekvence buněk na $10^{9,64 \pm 1}$ Hz. Při detekci je třeba dávat pozor a rozlišit, zda se jedná o rakovinné buňky nebo buňky napadené chlamydiemi. Terapie spočívá ve zjištění, ve které části buňky se toxické částice nachází, v mentálním působení na ně a v jejich odstranění. Působení a odstranění je založeno na mentální rezonanční léčbě.

Z těchto pohledů jsem dospěl k hypotéze, že změny chování člověka, jeho netypické reakce na vnější podněty, zvláště myšlenkové pochody včetně stresů a depresí a nervové nemoci jsou důsledkem přítomnosti toxických látek v nervových buňkách a jejich vnitřních strukturách. Ovšem koncentrace těchto nežádoucích látek bývá důsledkem stresů, duchovních bloků i negativního myšlení člověka. Při stanovení diagnózy je třeba rozlišit, zda nervové buňky jsou dostatečně prokrvené a vyživované. Zajímavou je pak odpověď na otázku, co je důvodem usazování toxických látek v některých buňkách. Jsou lidé,

kteří mají v nervových buňkách málo toxických látek. Naopak, je mnoho lidí, kteří mají v nervových buňkách značné množství toxických látek.

Fyzikální vlastnosti buněk

Je známo, že lidské tělo se skládá z velkého počtu buněk různých typů, odlišujících se navzájem podle jejich funkce v jednotlivých orgánech. Buňka je základní stavební a funkční jednotka těl živých organismů, tzn., že buňka je schopna uskutečňovat základní i složité funkce organismu. Základní skladba většiny buněk v lidském těle je podobná. Jednoduchý model buňky zahrnuje povrchovou membránu (sarkolemu), jádro a vodní roztoky ve vnějším (extracelulárním) a vnitřním (intracelulárním) prostředí buňky. Jádro obsahuje informaci o činnosti buňky, zakódovanou v DNA (deoxyribonukleové kyselině). Zdroj energie - ATP (adenosintrifosfát) je potřebný v buněčných mitochondriích s mitochondriickou DNA.

Posoudit správnou činnost zdravé buňky je možné podle několika fyzikálních parametrů, které je možné zjistit pomocí mentálních nebo alternativních metod. Za podstatné fyzikální vlastnosti buněk lze považovat:

- Rotaci subčástic atomů v buňce
- Elektrický náboj buňky
- Relativní měrná energie buněčné membrány
- Harmonizaci spinů atomů
- Resonanční frekvence buňky [Hz]
- Fázovou rychlost vln šířících se od buňky
- Kyselost buňky vyjádřenou ve stupnici pH
- Stav buněčné paměti

Všechny parametry buněk na sobě závisí a jsou vyjádřením činnosti buňky. Některé vlastnosti mají z hlediska funkce živého organismu větší váhu, než vlastnosti jiné. Pro posouzení zdravotního stavu organismu je však vhodné posuzovat funkci buněk komplexně. V následujících odstavcích jsou popsány jednotlivé fyzikální vlastnosti buněk.

Rotace subčástic atomů v buňce živého organismu má být levotočivá (volně v levé ruce držené kyvadlo nad živými buňkami se otáčí proti směru chodu hodinových ručiček). Tento parametr se týká i větších celků, jako jsou tkáně a orgány. Rotace molekul v buňce se posouvá k pravotočivosti v případě, že se do buňky dostanou toxiny nebo infekce, které jsou ve většině případů pravotočivé. Při použití 100 dílkové stupnice, je možné definovat levotočivost na 0tém dílku a pravotočivost na 100tém dílku. Všechny dílky mezi 0-tým a 100-tým dílkem vyznačují, že v buňce nebo ve tkáni jsou dílčí části obou točivostí v určitém poměru.

Elektrický náboj buňky má být záporný vůči okolí. Je to dáno rovnováhou chemických látek v buňce, která se v klidu udržuje konstantní. Tento parametr se týká i větších celků. Přítomnost toxinů a infekcí v buňce mění vlivem svých vlastních nábojů náboj buňky. Při použití 100 dílkové stupnice, je možné definovat kladný náboj na 0-tém dílku a záporný náboj na 100-tém dílku. Všechny dílky mezi 0-tým a 100-tým dílkem naznačují, že v buňce nebo ve tkáni jsou dílčí části obou nábojů v určitém poměru.

Relativní měrná energie buněčné membrány podobně jako elektrický náboj buňky souvisí se strukturou buňky a především s koncentrací chemických látek uvnitř a vně buňky. Na buněčné membráně díky rozdílné koncentraci látek vzniká elektrický potenciál (napětí) o velikosti 90 mV. Tento potenciál odpovídá potenciální energii buňky. Proto je možné stanovit relativní měrnou energii buněčné membrány a využívat ji jako charakteristickou veličinu pro posouzení správné funkce buněk.

Harmonizace spinů atomů se týká orientace spinů atomů v živých buňkách [5]. Zdravé buňky by měly mít stejnou prostorovou orientaci. Z mnoha důvodů, jako například vnitřní stres v organismu, vnější elektromagnetické pole, uspořádání a materiálové složení našeho okolí a také vlivem mnoha jiných faktorů dochází ke změně prostorové orientace některých spinů atomů. Tím dojde k disharmonii skupiny elektromagnetických vln buňky, ke snížení vitální energie buněk a k jejich zhoršené funkci. V důsledku těchto faktorů pak dochází ke zhoršení funkce orgánů těla. Uspořádání orientace buněk se dosáhne např. „Spektrálně spinovou terapií“, popsanou v jiné kapitole.

Rezonanční frekvence buňky [Hz] je střední frekvence vlnění buňky [6]. Buňka se skládá z velkého množství dílčích částí (jádro, mitochondrie, cytoplazma, buněčná membrána). Každá z těchto částí má svoji rezonanční frekvenci a také amplitudu vlastního vlnění (energie). Rezonanční frekvence buňky je potom součet vlnění jednotlivých dílčích částí. Je to frekvence souboru vlnění, která souvisí s dílčími frekvencemi a také s amplitudami jednotlivých vlnění. Bližší podrobnosti lze nalézt v článku „Diagnostika nemocí nervového systému“ v záložce Mentální diagnostika [7]. Je samozřejmé, že přítomnost toxinů a infekcí v buňkách má za následek změnu jejich rezonančních frekvencí. Tato změny ovšem nejsou tak velké, jako tomu je v případě nervových nemocí. Původem vybraných nemocí nervového systému jsou toxické látky, paraziti, patologické bílkoviny a jiné látky, které se nacházejí v různých částech buňky a mimo ni. Rezonanční frekvence buněk jsou zajímavým a jednoduchým kritériem pro zjištění nemocí nervového systému.

Fázová rychlost vln šířících se od zdravé živé buňky je $2 \pm 0,1 \cdot 10^6$ m/s. Tolerance fázové rychlosti u různých lidí je velmi malá. Fázová rychlost vln špatně fungující buňky je nižší. Je to opět dáno přítomností toxinů a infekcí v buňce. Při použití 100 dílkové stupnice, je výhodné definovat velikost fázové rychlosti v procentech od správné hodnoty, přičemž 100% odpovídá 100 dílkům.

Kyselost buňky vyjádřená ve stupnici pH ukazuje na zánětlivý proces v buňce i ve tkáních. Hodnota zdravé buňky má hodnotu pH od 6,7 do 7,7. Pomocí kyselosti buňky nebo vybrané tkáně v těle je možné zjistit zánět ve tkáních.

Buněčná paměť u různých živých organismů uchovává informace o stavu a funkci buňky. Z některých reakcí buněk a podle odpovědí na různé stimuly těla se jeví zajímavá skutečnost, že buňky mají paměť. Co tvoří buněčnou paměť? Domnívám se, že buněčnou paměť tvoří uspořádání spinů elektronů, jader, molekul a celých buněčných systémů. Pozitivní myšlenky nemění fyzikální vlastnosti buněk a je možné je charakterizovat levotočivou rotací buněk, větší fázovou rychlostí a harmonií buněk. Negativní myšlenku je možné charakterizovat obrácenou (pravotočivou) rotací, menší fázovou rychlostí vln a úplnou disharmonií vlnění buňky. Navenek se nemění náboj. Je nutné si uvědomit, že myšlenky je možné charakterizovat stejnými fyzikálními vlastnostmi, jako mají buňky. Myšlenky mají fyzikální základ v atomech a molekulách různých látek. Jsou tedy vázány na buňky a bez buněk nemohou existovat. Uspořádáním spinů v buňce, odpovídající negativní myšlenky, je možné tuto myšlenku odstranit a dosáhnout zklidnění nervového systému.

Jaké vlastnosti buněk jsou pro člověka významné?

Fyzikální vlastnosti buněk sepsané v předchozí kapitole jsou důležité pro správnou funkci člověka. Většinou je možné je stanovit pomocí moderních diagnostických metod a přístrojů. Některé z nich, jako jsou rotace subčástic atomů, harmonizace spinů, relativní měrná energie případně stav buněčné paměti není možné současnými technikami odhalit. Je možné je charakterizovat jen podle reakcí těla člověka na definované podněty nebo je diagnostikovat jen mentálně.

Existují však tři základní parametry umožňující charakterizovat zdravotní stav člověka včetně úrovně duchovního těla a stupně duchovního růstu. Prvním z nich je **relativní měrná energie** celého těla nebo jeho dílčích částí. Je rovněž zajímavé stanovit relativní měrnou energii všech šesti těl člověka. Tyto energie charakterizují, v jakém stavu je fyzické tělo případně jak se změní, pomůžeme-li tělům ostatním. Podrobněji je o relativní měrné energii člověka pojednáno v samostatné kapitole.

Druhým parametrem zdravotního stavu člověka je úroveň **harmonizace bioenergetických vln**. Tímto parametrem lze charakterizovat uspořádání spinů atomů v těle a vhodné fázové poměry vln bioenergetického pole.

Třetím a to velmi významným parametrem je **maximální frekvence vln**, ze kterých je tělo vytvořeno. Protože maximální frekvence vln charakterizují stav našich myšlenek, intuici, náš duchovní klid a podobné stavy, můžeme podle maximální frekvence vln člověka charakterizovat jeho duchovní stav, úroveň duchovního růstu, v důsledku také stav fyzického těla. Ze zkušenosti víme, že zdravotní stav fyzického těla silně závisí na stavu duchovního těla. Mezní frekvence vln převážné většiny lidí je 10^{25} Hz. Léčitelé mívají maximální frekvenci vln 10^{30} až 10^{43} Hz. Duchovní lidé ji mají okolo 10^{50} Hz případně i výš. Vesmírná maximální frekvence vln je 10^{75} Hz. Tato hodnota se jeví jako limitující.

Zvýšený obsah toxických látek a infekcí v těle vždy snižuje úroveň všech tří parametrů. Důležité však je, v jaké části těla se toxiny a infekce nacházejí a který parametr významněji ovlivňují. Budou-li v nervovém systému, mohou ovlivnit koordinaci funkce těla, ale významnější bude vliv toxinů a infekcí na stav duchovního těla, chování člověka a jeho reakce na okolí. Při silnější koncentraci těchto látek dochází k nervovým nemocem a depresím.

Čtvrtý dílčí závěr o člověku

Člověk vznikl vývojem za velmi dlouhou dobu. Je to tvor mající určité vnější i vnitřní znaky. Vnější znaky člověka vnímáme v souvislosti s okolím a pozorujeme je druhými lidmi. Jedná se kromě fyzických vlastností i o reakce člověka na vnější podněty, jeho myšlenkové pochody, představy, potřeby, závěry abstraktního myšlení apod. Vnitřní znaky se týkají vnitřní stavby lidského těla. Do této oblasti zahrnujeme nejen tkáň složenou z buněk a všechny funkční části těla, ale i regulační pochody v těle, myšlení, abstraktní myšlení, intuici a jiné vjemy člověka. Vnitřní znaky člověka poznáváme pomocí měřicích metod založených na různých fyzikálních principech.

Pohled na člověka se dlouhou dobu vyvíjel. Každé náboženství má své vlastní pohledy na člověka a jeho chování. Vznikly pravidla a přikázání k chování jedince i celé společnosti a to takové, které udrží chování lidstva v určitých mezích, aby nedošlo k rychlému a výraznému ovlivnění Země a k co nejpomalejšímu rozpadu hmoty Země.

Většina náboženství uznává přítomnost duše člověka jako základ pro funkci fyzického těla i duchovního chování. Prvotnost duše nebo i těla není možné nijak změřit nebo nepřímými metodami dokázat. Jsou to části člověka jako celku, jsou navzájem silně vázány a špatně se od sebe oddělují. Popis duše nebo těla a jejich charakteristiky vyplývají z reakcí člověka na okolní podněty, závisí na jeho pocitech a v případě fyzického těla na výsledcích lékařských vyšetření.

Duše i fyzické tělo jsou tedy navzájem úzce svázány. Do fyzického těla zahrnujeme nejen tkáň složenou z buněk a všechny funkční části těla, ale i regulační pochody v těle, myšlení, abstraktní myšlení, intuici a jiné vjemy člověka. Obě uvedené části, pokud nepracují správně, ve svém důsledku vedou ke změně stavu fyzického těla a nemoci.

Zastánci myšlenky prvotnosti duše říkají: duše potřebuje fyzické tělo, ale po smrti fyzického těla duše zůstává a odloučí se od těla. Odloučená duše zemřelého zůstává v prostoru na zemi. V některých případech bývá vázána na živé osoby, od kterých se nemůže odloučit a kterým

může přivodit zdravotní problémy. V těchto případech mohou pomoci kněží nebo některé osoby, které jsou schopni mrtvé duše odloučit od živých těl. Pokud duše má na světě ještě něco vykonat, může se reinkarnovat do nově narozeného těla. V průběhu života tohoto těla je cílem vyřešit nějaký problém a posunout se do vyšších duchovních úrovní. Takto se může duše reinkarnovat mnohokrát.

Duchovní vývoj člověka silně závisí na víře v tuto mentální techniku, na velikosti karmického zatížení, na cílevědomosti v dosažení vyšších stupňů duchovního vývoje a mentální síle člověka udělat ve svém životě významné změny. Všemi meditačními technikami a duchovním vývojem dosáhneme snížení karmické zátěže a škodlivých negativních polí vyskytujících se na člověku.

Hypotéza o složení vesmíru a experimentální zkušenosti s mentální diagnostikou a terapií ukazují, že lidské tělo se skládá z jednotlivých dále dělitelných částí, jako jsou systémy tělových funkcí, orgány, tkáně a buňky. Fyzické tělo se skládá z menších a menších částí. Nejmenšími fyzikou poznanými částmi hmoty jsou kvarky, ze kterých se skládá atomové jádro. Některé experimenty s harmonizováním molekul vody ukazují, že i elektron se skládá ze tří subčástic. Směr rotace subčástic elektronů určuje náboj elektronu jako celku. V případě, že nějakým mentálním nebo fyzikálním polem dosáhneme sfázování vln subčástic elektronů a jader, dosáhneme výhodnějšího harmonizování vln molekul vody a elektromagnetické pole v okolí atomů bude mít výrazně vyšší uspořádanost, než v případě nesfázovaných vln. Na lidské tělo se můžeme dívat jako na soubor elektromagnetických specificky uspořádaných vln různých frekvencí. Tento soubor z elektrotechnického pohledu vytváří interferenční elektromagnetické pole. Podle typu tkáně, buněk a jiných částí těla má každá část těla specifické frekvenční spektrum a specifické interferenční pole. Takové pole je pro každého člověka specifické a jednoznačné. Interferenční pole tohoto typu můžeme nazvat informační pole člověka.

Je důležité zdůraznit, že lidské tělo se skládá z vln majícími určité fyzikální vlastnosti. Mezi ně patří i frekvence vln. Fyzické tělo obsahuje nízké frekvence souvisejícími s velikostmi orgánů a částí. Regulační systémy funkce těla mají frekvence vyšší. Myšlenky a myšlenkové pochody pracují na ještě vyšších frekvencích. Intuice a abstraktní myšlení svými frekvencemi převyšují frekvence myšlenek. Nejvyšší frekvence vln lidského těla je v univerzu člověka, kde se nacházejí všechny informace týkající se jednotlivé osoby. Z mého pohledu je lidské tělo jeden celek obsahující vlny ve velmi širokém rozsahu frekvencí a není nutné rozlišovat, zda se jedná o orgán těla nebo o intuitivní cítění a vyhodnocení nějaké situace. Všechny vlny jsou vázány na buňky a jejich dílčí části až na úroveň subčástic atomových jader a elektronů.

Není proto jednoduché rozlišit, zda naše tělo, myšlení a duchovní život potřebují ke své činnosti buňky lidského těla, nebo zda podstatou funkce fyzického těla je psychika člověka, jeho myšlení nebo duchovní podstata jedince. Důležité je, že v mentální terapii se pracuje stejným způsobem s buňkami např. orgánu, nebo zda se pracuje s buňkami obsahující informace o určité, byť i negativní, myšlence.

Na základě mentálních experimentů jsem dospěl k hypotéze, že změny chování člověka, jeho netypické reakce na vnější podněty, zvláštní myšlenkové pochody včetně stresů a depresí a nervové nemoci jsou důsledkem přítomnosti toxických látek v nervových buňkách a jejich vnitřních strukturách. Ovšem koncentrace těchto nežádoucích látek bývá důsledkem stresů, duchovních bloků i negativního myšlení člověka.

Frekvenční spektrum interferenčního elektromagnetického pole lidského těla je vhodné rozdělit na jednotlivá spektrální pásma podle zvyklostí v psychotronice. Tato pásma jsou myšlenkově umístěna od fyzického těla směrem ven do prostoru. V této knize je používáno následující dělení: fyzické tělo, éterické tělo, astrální tělo, emocionální tělo, mentální tělo a universum.

Posoudit správnou činnost zdravé buňky je možné podle několika fyzikálních parametrů, které je možné zjistit pomocí mentálních nebo alternativních metod. Za podstatné fyzikální vlastnosti buněk lze považovat: rotaci subčástic atomů v buňce, elektrický náboj buňky, relativní měrnou energii buněčné membrány, harmonizaci spinů atomů, rezonanční frekvenci buňky, fázovou rychlost vln šířících se od buňky, kyselost buňky, stav buněčné paměti. Všechny parametry buněk na sobě závisí a jsou vyjádřením činnosti buňky.

Existují tři základní parametry umožňující charakterizovat zdravotní stav člověka včetně úrovně duchovního těla a stupně duchovního růstu. Prvním z nich je relativní měrná energie celého těla nebo jeho dílčích částí. Druhým parametrem je úroveň harmonizace bioenergetických vln. Třetím a to velmi významným parametrem je maximální frekvence vln, ze kterých je tělo vytvořeno.

Všechny změny na zemi ať se to týká živé i neživé přírody by měly být takové, aby se Země neměnila k horšímu, a aby vydržela co nejdéle. Mělo by to vést k co nejpomalejšímu rozpadu hmoty Země. Pokud se to lidem nepodaří dodržet, projeví se to negativně na energii a harmonizaci vlnění přírody, nastane mnoho nepříjemných změn na zemi a ovlivní to lidskou populaci k horšímu. S tím souvisí i nárůst a modifikace nemocí hlavně u mladších lidí.

Úroveň bioenergetického pole člověka

Úvahy o úrovni bioenergetického pole člověka

Posuzovat energii lidského těla a jeho částí není jednoduché. Fyzikové, lékaři, léčitelé, psychologové a mnoho jiných odborníků z různých oborů nejsou na toto téma jednotní. Ani ti, kteří jsou schopni fotografovat „bioenergetické pole“ (auru) kolem člověka, nemohou jednoduše navzájem porovnávat úroveň energie několika osob.

Například veřejná encyklopedie Wikipedie definuje energii následovně:

***Energie** je skalární fyzikální veličina, která popisuje schopnost hmoty (látky nebo pole) konat práci.*

***Vnitřní energie** (též termodynamická energie) tělesa (termodynamického systému) je extenzivní veličina představující v makroskopickém popisu souhrn energií všech částic, z nichž se těleso skládá. Jde především o jejich kinetickou a potenciální energii, ale může jít také o elektrickou či chemickou energii, apod. Kinetická a potenciální energie, kterou má těleso (soustava) jako celek, se do vnitřní energie nezahrnuje. Vnitřní energie ovlivňuje vlastnosti a stav látky. Např. kinetická energie částic se projevuje jako teplota tělesa, tzn. čím rychlejší pohyb částic, tím vyšší je teplota tělesa. Polohová energie částic se projevuje ve vlastnostech tělesa jako skupenství, stlačitelnost/pružnost či pevnost.*

Z pohledu mentální diagnostiky a terapie lze chápat lidské tělo jako velký soubor elektromagnetických vln se složitým spektrem. Jde tedy o interferenční elektromagnetické pole, které vytváří lidské tělo od nejjemnějších substruktur a struktur atomů, molekul, buněk až po celé orgány a systémy. Do této struktury je nutné také zahrnout myšlení, emoce a duchovní svět člověka. energii lidského těla je možné charakterizovat jako vnitřní energii těla, a to jako celého těla nebo jednotlivých jeho částí až do úrovně jaderné či mitochondriální DNA.

Někdy se pojem energie v biologii člověka zaměňuje za pojem vitalita. Jsou to pojmy velmi blízké, ale nejsou zcela adekvátní. Energie objektu souvisí s přenosem činného výkonu za jednotku času. Pokud se přeneseme do subminiaturního světa (nanometrické rozměry – substruktura atomů) lze uvažovat následujícím způsobem. Jako příklad si vezmeme strukturu atomu vápníku (Ca), který je výrazně v organismu zastoupen. Na přenosu výkonu za jednotku času u tohoto atomu záleží například v okamžitém stavu na orientaci a pohybu elementárního elektrického náboje a to na nejnižších úrovních struktury atomu. Tedy pokud budou nastaveny podmínky substruktury atomu takové, že se v dynamickém stavu budou elektromagnetické veličiny eliminovat, lze hovořit o atomu s nižší energií, tedy bude se chovat tak, že za jednotku času přeneseme menší kvantum činného výkonu (hustotu činného výkonu – Poyntingův vektor) než podobný atom s příznivěji nastavenými okamžitými stavy dynamické substruktury.

Energii člověka by bylo výhodné charakterizovat jednou fyzikální jednotkou a tak by bylo možné vzájemně porovnávat energetické stavy částí organismu nebo lidí mezi sebou. Protože energie souvisí s objemem a hmotností těla, jeho teplotou a jinými parametry, je výhodnější sledovat měrnou velikost energie těla nebo jeho částí. Vliv hmotnosti je tak redukován, ale vliv teploty redukován není. Jednotkou energie je 1J (Joule). V případě posuzování energie lidského těla je vhodnější energii vyjadřovat v jednotkách menších, jako např. eV (elektrovolt - $1 \text{ eV} = 1.6 \cdot 10^{-19} \text{ J}$).

Např. u jedné osoby vychází měrná velikost energie těla $3 \cdot 10^{-2} \text{ eV}$ a energie celého těla $8 \cdot 10^2 \text{ eV}$ (stanoveno kyvadlem). Při změně teploty těla o 1° se mění měrná velikost energie o $0,36 \text{ meV}$ (miliielektron voltů), (stanoveno kyvadlem). Fyzikové stanovili změnu energie těla při změně teploty o 1° na 0.32 meV .

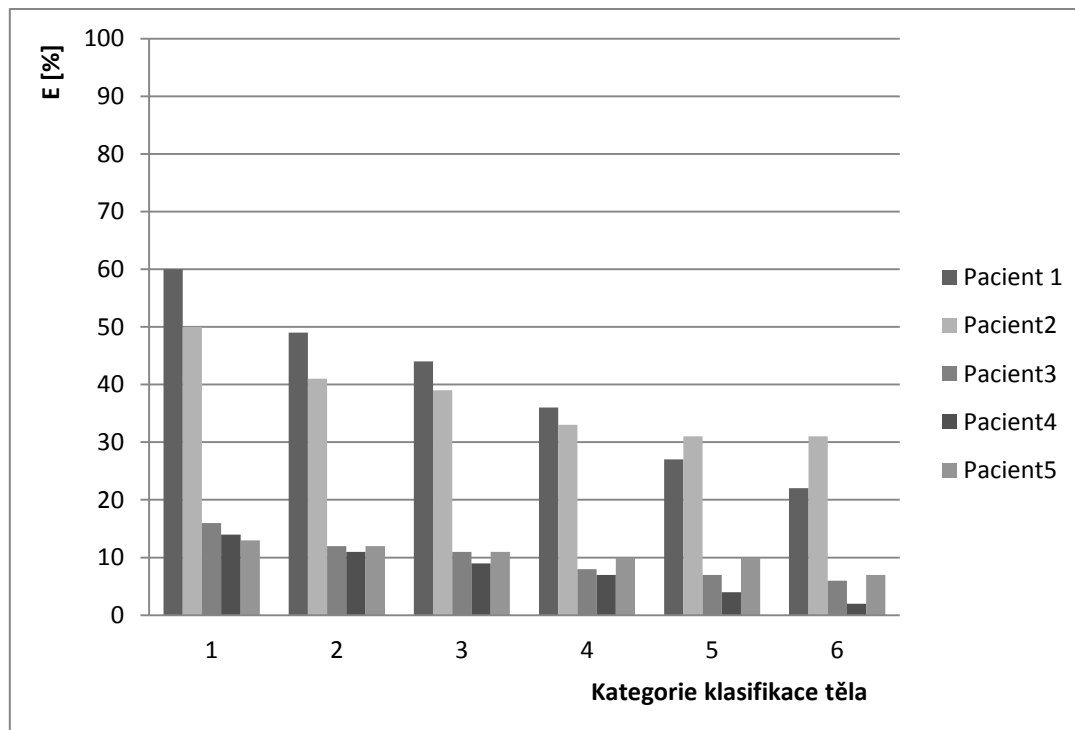
Velikost energie E závisí na frekvenci elektromagnetických vln f . Energie je určena vztahem: $E = h \cdot f$, kde h je Planckova konstanta ($h = 4.136 \cdot 10^{-15}$ eV. s). Je tedy možné stanovit odpovídající frekvenci pro měrnou velikost energie lidského těla, která je $f = 7,3 \cdot 10^{12}$ Hz. Toto je střední hodnota frekvenčního spektra lidského těla. Nevypovídá však nic o vyzařování elektromagnetických vln lidského těla nebo jeho jednotlivých detailů.

Proto je vhodné rozdělit celé frekvenční spektrum na jednotlivá pásma podle zvyklostí v psychotronice. Tato pásma jsou často nazývána „těla člověka“ a jsou myšlenkově umístěna od fyzického těla směrem ven do prostoru. Protože pojmenování frekvenčních pásem (těl člověka) není jednotné, zvolil jsem následující dělení:

- 1 - fyzické tělo
- 2 - éterické tělo
- 3 - astrální tělo
- 4 - emocionální tělo
- 5 - mentální tělo
- 6 - tělo zvané universum

Pro posuzování stavu organismu lze zavést „**Standard člověka**“, který charakterizuje ideálního „zdravého“ člověka. Frekvenční pásmo spektra elektromagnetických polí standardního člověka je v rozsahu $0 - 3 \cdot 10^{65}$ Hz.

Na základě rozdělení těl člověka (Tab. 7) lze stanovit měrnou energii v jednotlivých kategoriích dělení těla a posoudit zdravotní stav pacienta nebo porovnávat jednotlivé pacienty mezi sebou. Zároveň takové frekvenční spektrum bude ukazovat úroveň energie v jednotlivých kategoriích klasifikace těla člověka a lze posoudit i stav psychiky a nervového systému člověka.

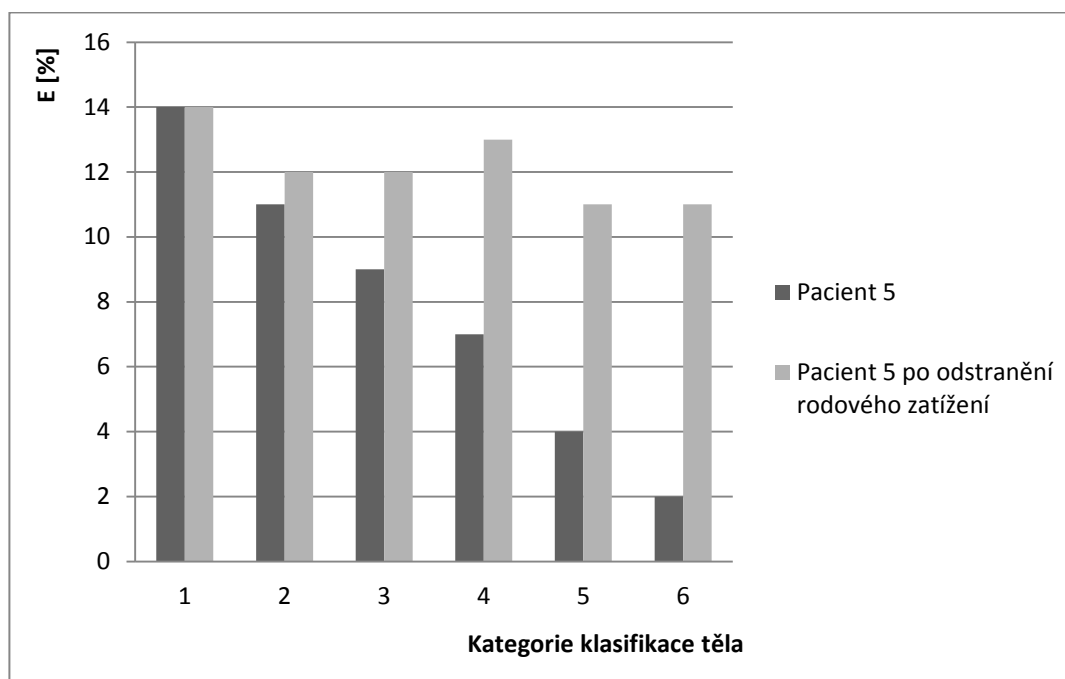


Obr. 19 Relativní měrná energie několika osob vybraných pro harmonizaci buněk těla.

Problém nastává v určení absolutní hodnoty měrné energie dané kategorie těla. Energie je přímo úměrná frekvenci elektromagnetického vlnění buněk (atomů) jednotlivých těl. Protože „fyzické tělo“ má výrazně nižší frekvenční pásmo ve srovnání s „univerzem“ (a to o 29 řádů –

Tab. 7), bude rozpětí energií ve velkém rozsahu. Proto je velmi výhodné stanovovat **relativní velikost měrné energie** pacienta vzhledem k elektromagnetickému poli „Standardu člověka“. Relativní velikost měrné energie charakterizuje poměr měrné energie příslušného těla člověka a standardu člověka, vyjádřená v procentech. Příklad stanovení relativní měrné energie několika osob je uveden na obr. 19. Na vodorovné ose jsou jednotlivé kategorie těla označena čísla v souladu s rozdělením popsaným výše. Svislá osa je v procentech. Sledovaná energie souvisí s harmonizací atomů nebo buněk a umožní lepší synchronizaci spinů.

Z obr. 19 vyplývá, že jednotlivé posuzované kategorie těla člověka mají relativní měrnou energii ve srovnání s elektromagnetickými poli „Standardu člověka“ malou a pro těla s vyššími frekvencemi (vyššími těly) silně klesající. Tento pokles je způsoben výrazně infekcemi, toxiny, stresey, strachy, rodovými zátěžemi a mnoha jinými negativními elektromagnetickými poli.



Obr. 20 Příklad změny relativní měrné energie těla pacienta 5 před a po odstranění tří rodových zátěží.

Z provedených simulací a zkušeností vyplývá několik souvislostí:

- Měrná energie v jednotlivých kategoriích členění těla postupně klesá směrem od fyzického těla k univerzu. Při zvýšení energie v univerzu se zvýší energie všech ostatních těl a energie všech těl se vyrovnávají.
- Měrná energie univerza souvisí se srdcem a to v oblasti nervových signálů v těsné blízkosti sinu v srdci (oblast rozdělování a koordinace nervových vzruchů pro činnost srdce). Lze zavést pojem „srdeční mozek“. V těchto buňkách se projevuje výrazná disharmonie. Po dosažení harmonie uvedených buněk se měrná energie těla výrazně zvýší.
- K výraznému zvýšení měrné energie univerza dochází působením interferenčního pole v akumulátoru bioenergetického pole.
- Při odstranění cizích interferenčních elektromagnetických polí z těla dojde ke zvýšení měrné energie univerza (obr. 20).
- Relativní měrná energie se může týkat celého těla, nebo je možné stanovit tutéž energii pro jednotlivé části nebo orgány těla. Je to však zbytečně složité a v zásadě to nepřináší užitek pro zpřesnění diagnózy.

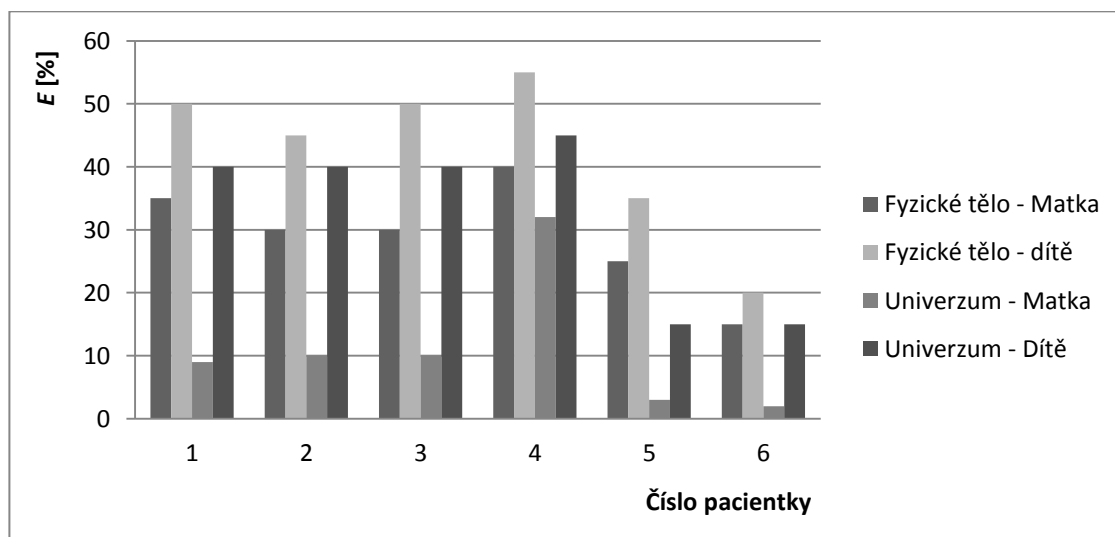
Příklad změny relativní měrné energie těla pacienta 5 před a po odstranění tří rodových zátěží je uveden na obr. 20. V případě univerza došlo k výraznému zvýšení energie a ve všech tělech došlo ke zvýšení a vyrovnání energií.

Relativní měrná energie je zajímavým parametr. Například je možné charakterizovat pomocí hladiny této energie stav matky v průběhu těhotenství. Ze zkušenosti vyplývá, že matka by měla mít v průběhu celého těhotenství dostatečně vysokou velikost relativní měrné energie. V tomto případě se dítě vyvíjí dobře, má dostatek energie, celý vývoj probíhá dobře a průběh porodu je bezproblémový. V případě, že je energie nízká, nastávají různé více nebo méně závažné problémy. Dítě se může narodit s problémy a nelze vyloučit nemoci. V tab. 11 a obr. 21 jsou uvedeny relativní měrné energie pěti matek a jejich dítěte ve vybraném měsíci těhotenství. Jsou uvažovány energie fyzického těla a univerza. Energie dítěte je vždy větší, než matky. V případě, že tomu tak není, není zdravotní stav dítěte v pořádku.

Tab. 11 Průměrná velikost relativní měrné energie matek v jistém měsíci těhotenství.

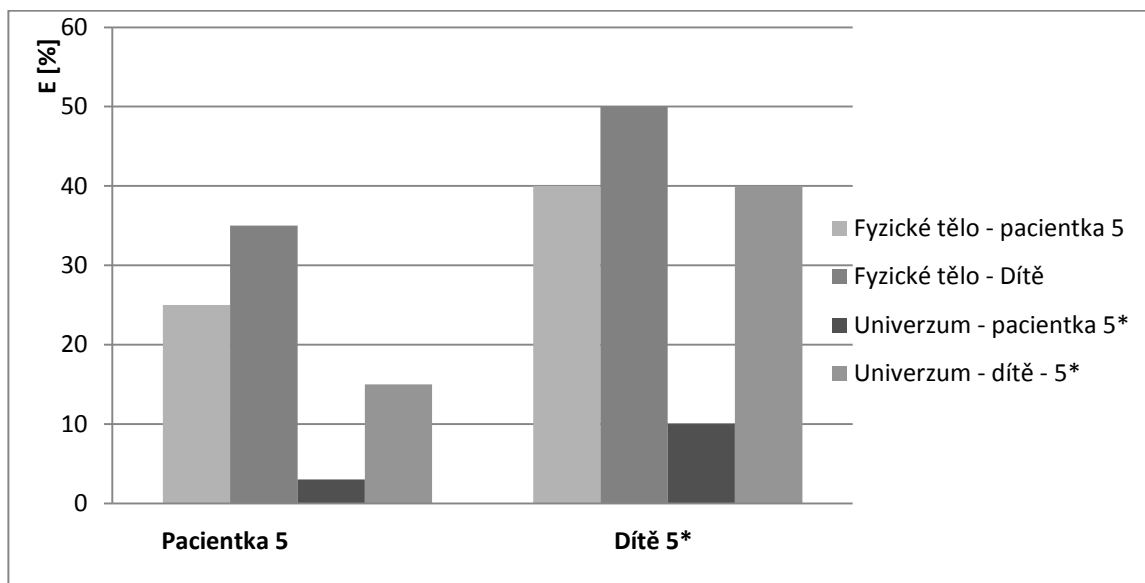
Číslo pacientky	Doba těhotenství	Matka Fyzické tělo	Matka Univerzum	Dítě Fyzické tělo	Dítě Univerzum
	měsíc	%	%	%	%
1	4	35	9	50	40
2	8	30	10	45	40
3	8	30	10	50	40
4	8	40	32	55	45
5	8	25	3	35	15
6	8	15	2	20	15
5*	8	40	10	50	40

* po odstranění rodových zátěží



Obr. 21 Velikost relativní měrné energie matek a jejich dítěte ve vybraném měsíci těhotenství.

V případě matky č. 5 byla relativní měrná energie značně malá. Diagnostika ukazovala na problém s rodovými zátěžemi, které se na těle (především v nervovém systému) vyskytovaly. Po jejich odstranění se velikost relativní měrné energie zvýšila na dobrou úroveň. Situace je znázorněna na obr. 22.

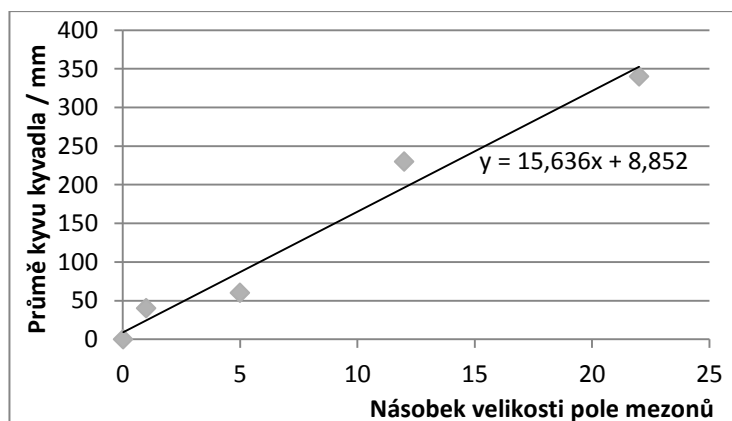


Obr. 22 Velikost relativní měrné energie matky č. 5 a jejího dítěte ve vybraném měsíci těhotenství před a po odstranění rodových zátěží (* po odstranění rodových zátěží).

Podle zkušeností by měla být úroveň relativní měrné energie matky vyšší než **34 %** na fyzickém těle a vyšší než **18%** univerza. Dítě pak bude mít úroveň relativní měrné energie **50%** a univerza **45%**. To jsou hodnoty velmi dobré a vývoj dítěte bude bezproblémový.

Úměrnost energie a průměru otáčení kyvadla

Při testování byl zjišťován průměr otáčení volně operátorem drženého kyvadla nad testovaným vzorkem vody. Tento průměr je přímo úměrný násobku velikosti pole mezonů, což je úměrné energii vody. Tato úměrnost byla experimentálně ověřena samostatným testováním a její výsledek je uveden na obr. 23.



Obr. 23 Grafická závislost průměru otáčení kyvadla na násobku velikosti pole mezonů v okolí vzorku.

Pátý dílčí závěr o úrovni bioenergetického pole

Z pohledu mentální diagnostiky a terapie lze chápat lidské tělo jako velký soubor elektromagnetických vln se složitým spektrem. Pro potřeby mentální diagnostiky je vhodné umět posoudit úroveň bioenergetického pole a to nejen celého těla, ale i jednotlivých orgánů. Energie je skalární fyzikální veličina, která popisuje schopnost hmoty konat práci. Existuje také vnitřní energie tělesa, která je souhrnem energií všech částic, z nichž se těleso skládá. Jde především o jejich kinetickou a potenciální energii, ale může jít také o elektrickou či chemickou energii, apod.

Energii člověka by bylo výhodné charakterizovat jednou fyzikální jednotkou a tak by bylo možné vzájemně porovnávat energetické stavy částí organismu nebo lidí mezi sebou. Protože energie souvisí s objemem a hmotností těla, jeho teplotou a jinými parametry, je výhodnější sledovat měrnou velikost energie těla nebo jeho částí.

Pro posuzování stavu organismu byl zaveden „**Standard člověka**“, který charakterizuje ideálního „zdravého“ člověka. Na základě rozdělení těl člověka (Tab. 7) lze stanovit měrnou energii v jednotlivých kategoriích dělení těla a posoudit zdravotní stav pacienta nebo porovnávat jednotlivé pacienty mezi sebou. Zároveň takové frekvenční spektrum vln bude ukazovat úroveň energie v jednotlivých kategoriích klasifikace těla člověka a lze posoudit i stav psychiky a nervového systému člověka.

Problém nastává v určení absolutní hodnoty měrné energie dané kategorie těla. Energie je přímo úměrná frekvenci elektromagnetickému vlnění buněk (atomů) jednotlivých těl. Proto je velmi výhodné stanovovat **relativní velikost měrné energie** pacienta vzhledem k „Standardu člověka“. Relativní velikost měrné energie charakterizuje procentuální poměr měrné energie příslušného těla člověka a standardu člověka.

Z provedených simulací a zkušeností vyplývá několik souvislostí:

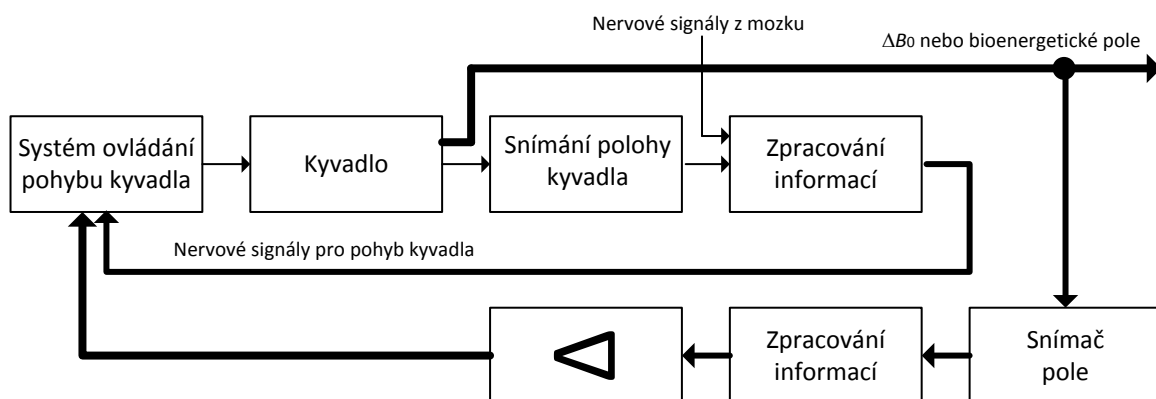
- Měrná energie v jednotlivých kategoriích členění těla postupně klesá směrem od fyzického těla k univerzu. Při zvýšení energie v univerzu se zvýší energie všech ostatních těl a energie všech těl se vyrovnávají.
- Měrná energie univerza souvisí se srdcem a to v oblasti nervových signálů v těsné blízkosti sinu v srdci. Lze zavést pojem „srdeční mozek“. V těchto buňkách se projevuje výrazná disharmonie. Po dosažení harmonie uvedených buněk se měrná energie těla výrazně zvýší.
- K výraznému zvýšení měrné energie univerza dochází působením interferenčního pole v akumulátoru energie.
- Při odstranění cizích interferenčních elektromagnetických polí z těla dojde ke zvýšení měrné energie univerza.
- Pro diagnostiku není výhodné stanovovat relativní měrnou energii jednotlivých částí těla.

Zvláštnosti detekce kyvadlem

Živé organizmy mají kolem sebe bioenergetické pole. Detekce tohoto pole není jednoduchá. V psychotronice je velmi často používáno kyvadlo, pomocí nějž je možné toto pole detekovat. Lidské tělo je schopno také detekovat magnetické pole, v němž se nachází. Bližší podrobnosti jsou uvedeny v knize [8]. Doposud se však nepodařilo objasnit funkci člověka, jako detektoru bioenergetického pole. Bylo publikováno mnoho informací o detekci kyvadlem. V této kapitole jsou uvedeny některé zvláštnosti detekce kyvadlem. Mohou posloužit k vysvětlení povahy bioenergetických vln nebo biodetekce člověkem.

Zpětnovazební systém s kyvadlem

Zrubec [8] ve své knize charakterizuje práci s kyvadlem jako zpětnovazební systém, skládající se ze dvou částí. První z nich je zpětnovazební systém s kladnou zpětnou vazbou, udržující konstantní výkyv kyvadla v daném poli. Skládá se z kyvadla, které má rezonanční vlastnosti a tvoří úzkopásmový filtr, modulující magnetické pole ve svém okolí. Další částí jsou oči, které stanovují okamžitou polohu kyvadla a to ve dvou souřadnicových směrech. Tyto informace zpracovává mozek operátora a vytváří nervové signály pro pohyb ruky ve dvou souřadnicových směrech. Podle fázových poměrů těchto signálů vykonává kyvadlo přímočarý nebo kruhový pohyb. Do zpracování informací přistupují ještě nervové signály z mozku, které ovlivní pohyb kyvadla vědomím člověka. Pro měření magnetického pole člověka slouží druhý systém, sestávající z velmi citlivého čidla magnetického pole, kterým je operátor. Po vyhodnocení gradientů magnetického pole jsou informace zpracovány v mozku a přivedeny na systém pro pohyb ruky operátora ve dvou souřadnicových směrech. Podle Zrubce [8] je diagnostika kyvadlem založena na velmi citlivém měření gradientů magnetického pole. Blokové schéma měřiče podle Zrubce je uvedeno na obr. 24.



Obr. 24 Blokové schéma měřiče podle Zrubce a Bartuška.

Podle mé diagnostiky je systém s kladnou zpětnou vazbou pro udržení rozkmitu kyvadla správný. Odlišná je funkce kyvadla a snímání polohy kyvadla. Kyvadlo má rezonanční vlastnosti a zbývající systém se musí umět naladit na jeho rezonanci. Kyvadlo má specifické spektrum ve dvou frekvenčních pásmech. První z nich odpovídá mechanickým kmitům kyvadla. Druhé spektrum je v oblasti frekvencí 10^{22} až 10^{26} Hz podle provedení a materiálu kyvadla. Kyvadlo vytváří změnu (modulaci) elektromagnetického pole. Konfigurace pole je stejná jakou mají atomy hmoty. Jedná se tedy bioenergetické pole jako u živých organizmů.

Pole vytvářené kyvadlem interaguje s polem operátora, u něž vyvolává vjem, který je mozkiem zpracováván a vzniká reakce pro pohyb kyvadla. Tyto změny v bioenergetickém poli se projevují v celém vesmíru. Snímač bioenergetického pole tvoří zakončení nervových buněk na celém těle. Bioenergetické pole v nervových zakončeních rezonuje s přítomnými látkami a vytváří se elektrické signály šířící se do mozku pro zpracování. Jako snímače bioenergetického pole se mi jeví tzv. Ruffiniho tělísko a Fotoreceptory.

Ruffiniho tělísko známé též jako Ruffiniho keříčkovité zakončení, je volné nervové zakončení v pokožce. Nalézáme je v kůži v podobě zploštělých opouzdřených nervových tělísek 0,25-1,5 mm dlouhých. Tato tělíska jsou složena z konců nervových vláken. Vlákna jsou zbavena myelinové pochvy a rozčleněna na kratší větve s terminálními knoflíkovými zduřeními mezi výběžky fibrocytů. Celý tento komplex je pak obalen pouzdrem, které se skládá z 2-8 lamel. Pouzdro je lemováno tenkou vrstvou mezibuněčné hmoty, která odděluje jednotlivé buňky jejich populace. Ruffiniho tělíska se vyskytují v kloubních pouzdrech savců, v dermis prstů ruky a nohy, ve vazivu řasnatého tělesa oka a podél cév. V kloubních pouzdrech byly objeveny 3 typy těchto tělísek, vzájemně se rozlišují v závislosti na jejich poloze. Krom předávání informace o teplotě jsou schopny registrovat tlak, rychlost, pozici a reagovat na dotyk.

Fotoreceptor je obecně smyslový receptor, jehož podnětem je světlo. Na molekulární úrovni k fotoreceptorům patří světlo vnímající proteiny - lidský rodopsin či jodopsin a podobně. Na úrovni buněk jsou fotoreceptory vlastně světlo vnímající buňky. U mnohých organismů vznikají specializované smyslové orgány. Fotoreceptory jsou nejvíce variabilní ze všech druhů smyslových receptorů, a to zejména proto, že schopnost vnímat světlo měly již původní ektodermální buňky živočichů a u některých živočichů (krabi) dokonce vnímají světlo pouhým nervovým zakončením v pokožce. Smyslové fotoreceptorické orgány mohou být však různě složité a také poskytují různý typ počitků, od rozmazaného černobílého po barevný precizní obraz.

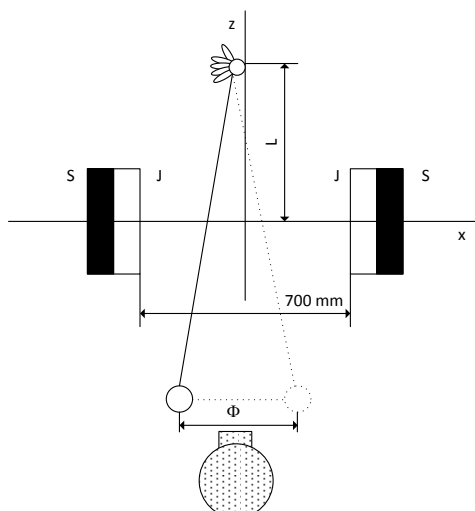
Na základě těchto faktů je možné se domnívat, že snímače bioenergetického pole jsou modifikované buňky podobné jako ruffiniho tělísko a fotoreceptory.

Pro podporu této hypotézy byly provedeny následující experimenty:

Kyvadlo je držené operátorem nad aktivovanou vodou a vykonává kruhový pohyb proti směru hodinových ručiček (levotočivý). V případě, že vytvoříme rovinu stínící a odrážející bioenergetické pole a umístíme ji v rovině zápěstí, oddělíme tím vlnění celého těla od vlnění ruky, držící kyvadlo. Výsledkem je, že kyvadlo se zastaví. V případě, že druhou ruku nebo jinou část těla posuneme přes stínící rovinu od poloprostoru s rukou držící kyvadlo, kyvadlo bude opět vykonávat kruhový pohyb. Tímto uspořádáním přerušíme zpětnou vazbu pro udržení kmitů kyvadla.

Druhým experimentem přerušíme zpětnou vazbu úzkopásmovým filtrem, umístěným mezi ruku a kyvadlo, nebo je umístíme vhodně na tělo operátora. Úzkopásmový filtr pracuje na kmitočtu kyvadla v pásmu 10^{24} Hz. Takovým filtrem nebo rezonátorem může být kruhový závit o průměru 20 mm s propojeným začátkem a koncem. Jde o závit nakrátko. Použitím takového závitu umístěného kolem závěsu kyvadla v blízkosti ruky se kyvadlo nad upravenou vodou zastaví. Použijeme-li závit o průměru 22 mm nebo 50 mm, kyvadlo koná kruhový pohyb. Tímto uspořádáním ovlivňujeme zpětnovazební systém pro udržení kmitů kyvadla.

Pro stanovení představy, která část lidského těla je při diagnostice pomocí kyvadla citlivá na vnější gradientní magnetické pole, byl proveden následující experiment: bylo vytvořeno **gradientní magnetické pole** pomocí dvou permanentních magnetů jižními póly k sobě. Byly použity feritové magnety 100x100x30 mm ve vzdálenosti 700 mm od sebe. Uspořádání experimentu je uvedeno na obr. 25.



Obr. 25 Chování kyvadla drženého v levé ruce nad nádobkou naplněnou aktivovanou vodou, při různé poloze ruky v gradientním magnetickém poli.

Kompenzované kyvadlo bylo drženo v ruce nad lahvičkou naplněnou uspořádanou vodou a vykonávalo krouživý pohyb. Byl měřen průměr kruhové dráhy kyvadla Φ . Ruka se postupně přibližovala do roviny magnetů, tj. $L=0$. Výsledky experimentu jsou uvedeny v Tab. 12.

Tab. 12 Výsledky experimentu chování kyvadla drženého rukou v gradientním magnetickém poli.

Část těla	L / mm	Φ / mm
ruka	0	0
	100	150
	175	250
	350	400
hlava	0	400
hrud'	0	400
loket	0	200
ruka	0	0

Pokud byla ruka v rovině magnetů, kyvadlo se zastavilo. Pokud v rovině magnetů byla druhá ruka, kyvadlo se také zastavilo. Pokud mezi magnety byla hlava nebo hrud', kyvadlo kroužilo beze změny. Z toho vyplývá, že na kroužení kyvadla má vliv gradientní magnetické pole. Nejcitlivější jsou obě ruce až po lokty. Jiné části těla se jeví na takováto pole necitlivá.

Detekce magnetického pole člověkem

Předchozími pokusy bylo zjištěno, že volně držené kyvadlo (kyvadlo drženo v levé ruce) bez myšlenek operátora nad jižním pólem magnetu krouží proti chodu hodinových ručiček (levotočivě) a nad severním pólem krouží opačně (pravotočivě). Nad diamagnetickým materiálem krouží levotočivě a nad para- a feromagnetickým materiálem krouží pravotočivě. Přidáme-li ke kyvadlu (nebo, připevníme-li na kyvadlo) materiál o přesně zvolené váze, kyvadlo se zastaví. Váha přidaného materiálu závisí na materiálu kyvadla, na druhu případně na chemickém složení přidaného materiálu. Kyvadlo se zastaví, vezme-li si operátor stejné

množství přidaného materiálu do ruky nebo jej upevní na těle. Podobně se kyvadlo zastaví, uloží-li se zvolené množství přidávaného materiálu na místo maxima interferenčního pole operátora a to i mimo tělo operátora (např. ve vzdálenosti 1 m od operátora). Podrobnosti jsou vysvětleny dále.

Lidské tělo je schopno detekovat magnetické pole, v němž se nachází. K diagnostice vlastností tkání, léků, potravin, volné energie a mnoha jiných vlivů na lidský organizmus používáme chování kyvadla, založeného na biologickém zpětnovazebním systému. Chování tohoto regulačního systému vysvětlil Zrubec ve své knize [8]. Jeho důležitým závěrem bylo, že pokud dojde k úplné kompenzaci magnetické susceptibility materiálu kyvadla, kyvadlo nebude reagovat a kruhový pohyb ustane. Následující experimentální závěry tuto hypotézu nepodporují.

Diagnostika kyvadlem je založena na chování kyvadla nad vybraným materiálem (např. aktivovaná voda, π -voda) bez použití mentálních dotazů nebo mentálního kódování. Pro testování je možné použít také feritový magnet 40x40x10 mm umístěný vodorovně, u nějž v ose magnetu vektor B směřuje svisle vzhůru a pole je zřídlové. Je také možné použít kruhového závitu protékajícího vhodným proudem I , jehož pole je podobné jako permanentního magnetu. Také lze použít uspořádaných molekul vody nebo vhodného materiálu se změřenou magnetickou susceptibilitou.

Nad vybraným testovaným materiálem (například voda) necháme volně pohybovat kyvadlo bez použití myšlenky. Kyvadlo se bude pohybovat po kruhové dráze. Průměr kruhové dráhy závisí na velikosti, uspořádání nebo harmonizaci bioenergetického pole vybraného materiálu (všech jeho atomů) a také na stavu biologického regulačního systému: lidské tělo – nervový systém – kyvadlo – pohyb kyvadla – zpětná vazba. Výběrem vhodného testovaného dia- nebo paramagnetického materiálu je možné ovlivnit průběh magnetického pole v měřené oblasti.

Z provedených experimentů vyplývá, že diagnostika kyvadlem je ovlivněna materiálem kyvadla a jeho magnetickou susceptibilitou. Test byl proveden s několika materiály a vždy se stejným výsledkem. Např. kyvadlo z růženinu bylo doplněno vhodným množstvím Al folie. Po doplnění vhodným objemem Al folie bylo kyvadlo necitlivé a v bioenergetickém poli π -vody stálo. Při zmenšování objemu Al folie se otáčelo protisměru pohybu hodinových ručiček a při větším množství Al folie tomu bylo naopak. Podobný test byl proveden s kombinací tří krystalů turmalínu (paramagnetikum) a proměnného množství teflonu (diamagnetikum) případně s jinými kombinacemi materiálů. Vždy je možné nalézt takovou kombinaci materiálů, kdy kyvadlo přestane být citlivé a klidně stojí.

Výsledná kombinace materiálů má jako celek určitou magnetickou susceptibilitu a magnetická susceptibilita není vykompenzovaná, jak předpokládal Zrubec [8]. Z toho důvodu bylo provedeno měření magnetické susceptibility kyvadla i s případnými doplňujícími materiály. Základem kyvadla byly 3 ks turmalínových krystalů a ty byly doplněny 7-mi kusy teflonových disků o průměru $\Phi = 26$ mm a tloušťce 2 mm. Měřením byla zjištěna magnetická susceptibilita jednotlivých částí a celkové sestavy. Měření bylo provedeno měřičem susceptibility pro geologická použití (dne 1. 6. 2015). V Tab. 13. jsou uvedeny výsledky měření. Z kombinace teflonu a turmalínových krystalů v uvedeném množství se vytvoří kyvadlo necitlivé na bioenergetické pole.

Tab. 13 Magnetická susceptibilita vybraných vzorků a jejich kombinace pro kompenzaci kyvadla.

Materiál	Sestava	Magnetická susceptibilita ($\cdot 10^{-6}$)
Teflon	7 ks - $\Phi = 26$ mm, tl. 2 mm	-10,11
Turmalín (černý)	3 ks krystalů	228,33
Teflon + turmalín	7 ks teflon + 3 ks turmalín	216,26

Z měření vyplývá, že vhodnou kombinací dia- a paramagnetického materiálu je možné dosáhnout necitlivosti kyvadla. Při této kombinaci materiálů má kyvadlo velkou magnetickou susceptibilitu, ale je necitlivé a není možné jej použít.

Popsaný děj je možné použít také obráceně. Kyvadlo z diamagnetického materiálu bude kroužit nad třemi krystaly turmalínu ve směru pohybu hodinových ručiček. Nad 7-mi disky z teflonu bude kroužit opačně. Nad kombinací 3 krystalů turmalínu a 7 teflonovými disky bude kyvadlo stát a bude necitlivé. Z toho vyplývá, že kyvadlo reaguje na malé změny magnetického pole způsobené magnetickou susceptibilitou okolního materiálu.

Na základě předchozích experimentů byl proveden následující pokus s kyvadlem. „Kompenzované“ kyvadlo držené v ruce nad modifikovanou vodou ($D = 2000$ m.j.) bez myšlenek operátora vykonává krouživý pohyb proti směru hodinových ručiček. Tento směr souvisí s magnetickou susceptibilitou vody nebo materiálu pod kyvadlem. V případě paramagnetického nebo feromagnetického materiálu je směr kroužení opačný.

Ke kyvadlu přidáme Al folii. Její množství zvolíme tak, aby se kyvadlo zastavilo. V mém případě je váha Al folie 150 mg. Nastává kompenzovaný stav, ve kterém na kyvadlo nepůsobí žádná síla. Pokud použijeme menší množství Al folie, průměr kroužení kyvadla bude menší, ale směr zůstává. Při větším množství Al folie se směr rotace kyvadla obrátí a průměr kroužení bude malý.

Pohyb kyvadla je však součástí celého systému se zpětnou vazbou (biofeedback). Systém tvoří člověk jako citlivý detektor, kyvadlo vytvářející svým kýváním jemné změny magnetického pole a oči operátora vytvářející zpětnou vazbu. Citlivost tohoto systému na změnu magnetického pole je vysoká a běžně se pohybuje na úrovních 10^{-17} T.

Provedeme následující pokus. Použijeme stejné kyvadlo a modifikovanou vodu jako v předchozím pokusu. Stejně množství Al folie jako v předchozím případě neumístíme na kyvadlo, ale operátor jej vezme např. do druhé ruky, nebo jej umístí libovolně na těle. Výsledkem je, že kroužení kyvadla ustane. Z toho plyne, že kompenzovaného stavu dosáhneme Al folií v libovolném místě detekčního systému.

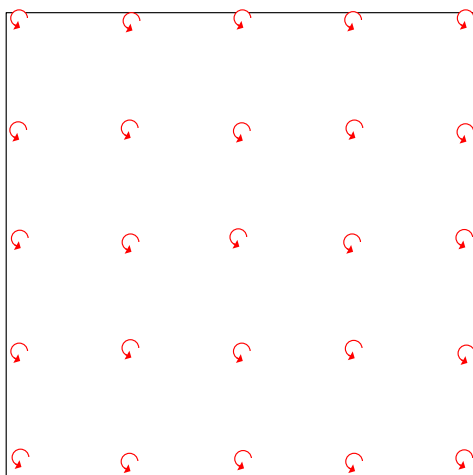
Dalším pokusem byl vliv změny vlastností buněk detektoru magnetického pole – člověka, operátora. Použijeme kyvadlo s Al folií, které je necitlivé na měřené magnetické pole, jako tomu bylo v prvním pokusu. Kyvadlo nad modifikovanou vodou nekrouží. Dále provedeme mentální harmonizaci všech buněk operátora. Pro harmonizaci buněk použijeme spektrálně spinovou terapii. Mentálně načteme vlnění všech buněk. Celé takto získané spektrum vlnění celého těla posuneme o 100° a aplikujeme takový soubor vlnění na všechny buňky operátora s tím, že postupně měníme fázi všech vlnění až do fázového posunu -100° . Je však nutné dodržet limit rychlosti fázové změny vlnění. Po provedení harmonizace buněk operátora podržíme kyvadlo nad modifikovanou vodou. Výsledkem je otáčení kyvadla po směru otáčení hodinových ručiček. Harmonizací buněk operátora tedy došlo ke změně směru rotace kyvadla, podobně jako tomu bylo v případě většího objemu Al folie pro dosažení kompenzovaného stavu. Pro dosažení kompenzovaného stavu bylo nutné snížit objem Al folie na 70 mg. Z toho plyne, že harmonizace buněk operátora mění jeho magnetickou susceptibilitu. Je třeba si uvědomit, že harmonizací buněk měníme prostorové rozložení spinů atomových jader, elektronů a v důsledku toho i prostorové uspořádání elektromagnetického pole v okolí celých molekul.

Je však možné vyslovit hypotézu, že kyvadlo reaguje na specifické rozložení elektromagnetického pole, ve kterém se nachází citlivá osoba držící kyvadlo. Rozložení takového pole lze silně ovlivnit statickým magnetickým polem a hlavně jeho gradientem. Proto kyvadlem detekujeme rozložení tohoto elektromagnetického pole. Toto pole je přímo bioenergetickým polem živých organismů a také neživé přírody.

Interferenční elektromagnetická pole

Člověk, rostliny, organický a anorganický materiál se skládají z buněk, molekul a v jemnější struktuře z atomů různých prvků. Každý atom je zdrojem vlnění (vln nebo vibrací). Vlny se šíří do okolí a v okolním prostoru vytváří interferenční pole. Toto pole je součtem vln pocházejících od každého elektronu, protonu, neutronu a všech vnitřních struktur atomu. Každá jednotlivá vlna má svou specifickou frekvenci. Součet všech vln s různými frekvencemi vytvoří v prostoru interferenční elektromagnetické pole. Toto pole je podobné poli holografickému nebo holografickému záznamu.

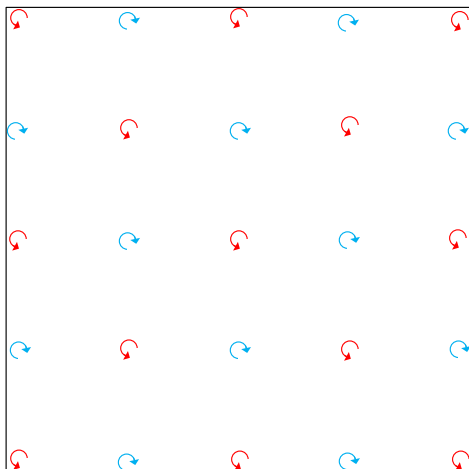
Interferenční pole na zeměkouli má pravidelnou strukturu a lze si ji představit jako pravidelnou mřížku, v jejichž kříženích je vždy maximum nebo minimum interferenčního pole. Tato maxima nebo minima je možné detekovat kyvadlem, které nad maximem nebo minimem krouží pravotočivě nebo levotočivě. Příklady interferenčních spekter jsou uvedeny na obr. 26 až obr. 28. Orientace mřížky je vždy S – J a V – Z. To odpovídá zkušenostem psychotronických pomůcek, u kterých často záleží na orientaci S – J. Rozteč mřížky organických a anorganických materiálů je 51 mm.



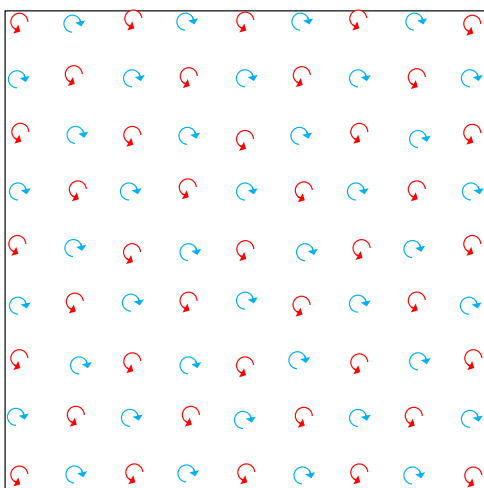
Obr. 26 Příklad interferenčního spektra diamagnetického materiálu (Cu, teflon). Na osách x, y je prostorové měřítko. Rozteč maxim spektra je 51 mm.

Intenzitu elektrického nebo magnetického pole můžeme vyjadřovat relativně (v %) oproti intenzitě v místě materiálu. Intenzita je úměrná množství a hustotě částic, které pole tvoří. Polarita intenzity v obrázcích odpovídá směru rotace kyvadla. Záporná polarita odpovídá levotočivému pohybu kyvadla. Kladná polarita má rotaci obrácenou. U **diamagnetického materiálu** (obr. 26) jsou všechna maxima levotočivá (záporná). Mezi maximy se polarita nemění, jen je nízká intenzita. U **paramagnetického materiálu** (obr. 27) je rozteč mřížky také 51 mm a maxima a minima se střídají. Kyvadlo má nad větší oblastí interferenčního spektra paramagnetického materiálu pravotočivou rotaci. U **člověka, zvířat i rostlin** je interferenční spektrum odlišné (obr. 28). Rozteč mřížky je poloviční (25,5 mm), maxima a minima se opět střídají. Kyvadlo nad interferenčním polem člověka (jeho tělem) rotuje levotočivě. Toto interferenční pole je známo pod pojmem „Aura“. Pokles intenzit směrem od těla odpovídá poklesu aury a je možné také definovat délku aury např. délkou, na které intenzita pole klesne na 50% intenzity v těžišti těla. Kyvadlo nad interferenčním polem materiálu i lidského těla vykonává kruhový pohyb ve směru buď pravotočivém, nebo levotočivém. Směr rotace kyvadla

je levotočivý u diamagnetických materiálů, lidského a zvířecího těla a také u rostlin. U para- nebo feromagnetických materiálů je směr rotace kyvadla pravotočivý.



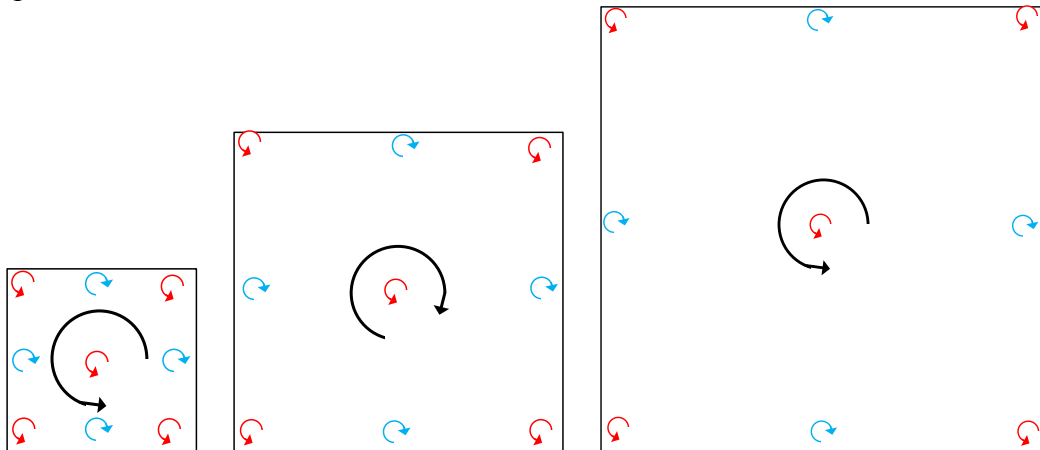
Obr. 27 Příklad interferenčního spektra para- nebo feromagnetického materiálu (Fe, Al ...) Na osách x, y je prostorové měřítko. Rozteč maxim spektra je 51 mm.



Obr. 28 Příklad interferenčního spektra člověka a rostlin. Na osách x, y je prostorové měřítko. Rozteč maxim spektra je 25,5 mm

Pro ověření byl proveden následující experiment. Tento experiment měl ukázat směr otáčení kyvadla nad interferenčním polem, vytvořeném interferenčními poli vod umístěných v místech, kde by se nacházela maxima interferenčního pole zvoleného materiálu, kdyby byl použit. Nad uvedeným uspořádáním vod umístíme kyvadlo, přičemž operátor nesmí mít v mysli žádné myšlenky. Kyvadlo pak vykonává rotační pohyb ve směru podle uspořádání interferenčního pole vod v kyvetách. Deionizovaná voda byla nalita do kyvet o průměru 5 mm. Velikost kyvet byla zvolena tak, aby byla výrazně menší než rozteč mřížky interferenčního spektra. Voda v polovičním počtu kyvet byla upravena na levotočivou rotaci a druhá polovina počtu kyvet na rotaci pravotočivou. Z kyvet bylo uspořádáno pole ve zvolené mřížce odpovídající určitému materiálu podle obr. 26 až obr. 28. Rotace pole v maximech interferenčního pole materiálu a rotace vody v kyvetách se shodovaly.

Protože rozteč mřížky interferenčního pole živých buněk a různých materiálů se liší, byla navržena sestava experimentu ukazující, jaký bude směr rotace kyvadla v případě zvětšování měřítka. Na obr. 29 je uveden směr rotace kyvadla v případě lidských buněk. Rotace je levotočivá. Nahoře vpravo na témže obrázku je stejné rozložení vod v kyvetách, jako byla u lidských buněk, ale ve dvojnásobně velké rozteči mřížky. Toto rozložení je shodné s interferenčním polem paramagnetických materiálů (např. Al). Výsledná rotace kyvadla je pravotočivá. Při trojnásobném zvětšení rozteče mřížky při dodržení uspořádání rotací maxim je rotace opět levotočivá.



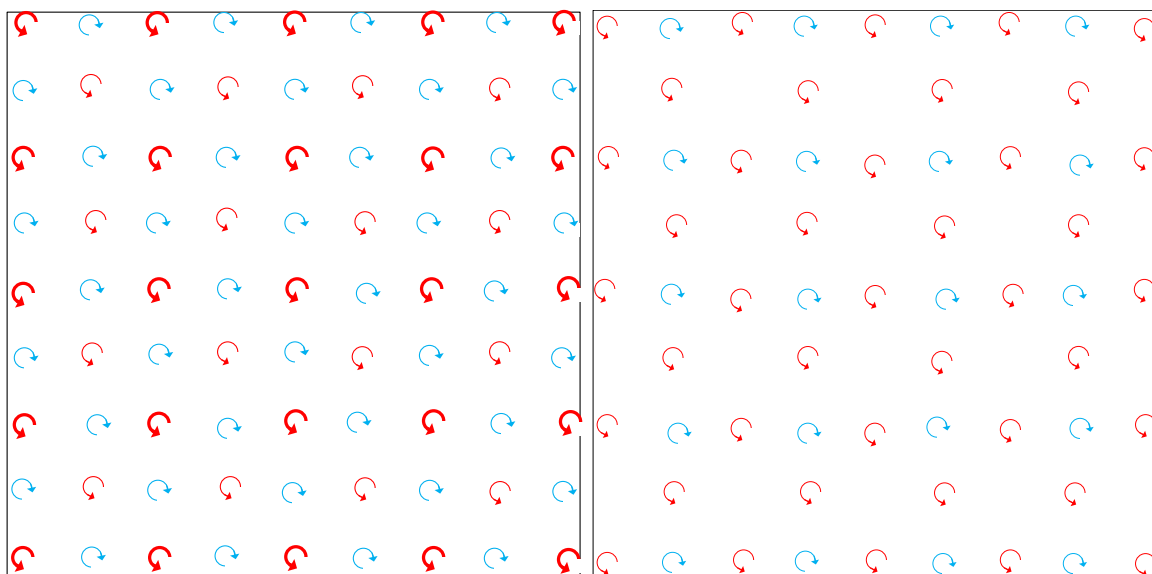
Obr. 29 Vliv velikosti rozteče mřížky na směr rotace kyvadla. Vlevo rozteč 25,5 mm, uprostřed rozteč 51 mm a vpravo rozteč 76,5 mm. Černá šipka značí směr rotace kyvadla.

Z těchto experimentů vyplývá, že detekce kyvadlem závisí na vzájemné interakci interferenčního pole operátora, kyvadla a okolních materiálů. Současně je třeba si uvědomit, že i velikost a geometrické rozměry materiálů v okolí operátora ovlivňuje výsledky diagnostiky.

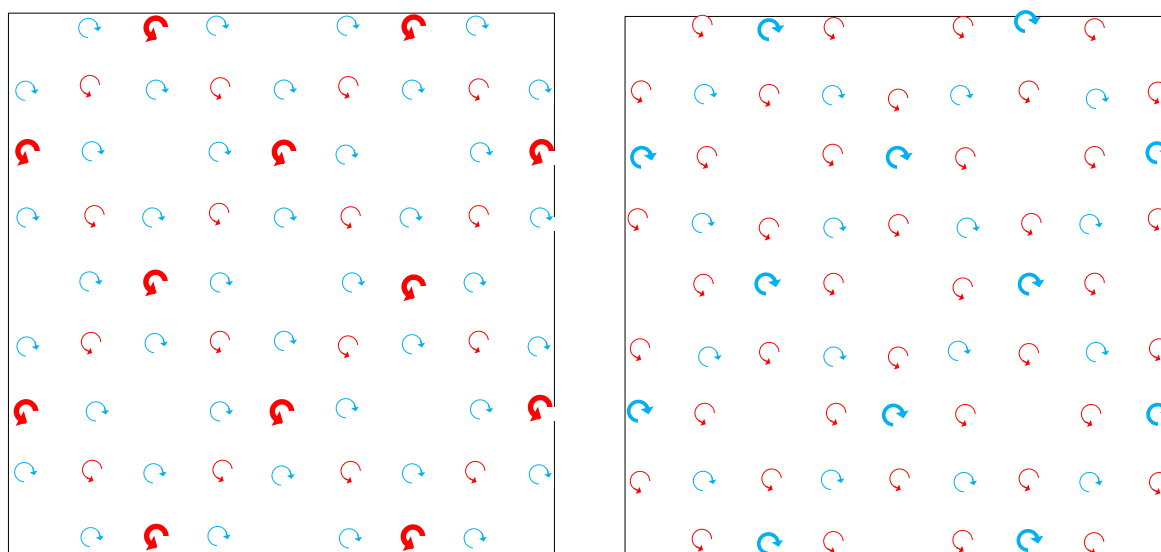
Interference spektra člověka a jiných materiálů vznikne sečtením jednotlivých spekter. V případě, že se rotace shodují, intenzita v daném bodě je větší (v obrázcích je tento případ označen silnou rotační šipkou). V případě rozdílných rotací se výsledná intenzita vynuluje (v obrázcích je prázdné místo). Samozřejmě že závisí na intenzitách spektra v jednotlivých bodech. Na obr. 30 vlevo je znázorněn směr rotace kyvadla pro interferenci pole člověka a diamagnetického materiálu. Diamagnetický materiál je umístěn ve středu spektra člověka. Rotace kyvadla nad takovou strukturou je levotočivá. Při posunutí spektra člověka o rozteč 25,5 mm (na obr. 5 vpravo) je rotace opět levotočivá. Pomocí těchto interferenčních spekter je možné vysvětlit pozorovaný jev. Bez přítomnosti diamagnetického materiálu je rotace kyvadla levotočivá. Přiložením diamagnetického materiálu malého objemu (např. Cu) se průměr rotace kyvadla sníží. Další zvyšování objemu diamagnetického materiálu zmenšuje průměr rotace kyvadla až k nule a další zvyšování objemu dále zvětšuje průměr rotace kyvadla, ale stále v levotočivém směru.

Bez přítomnosti paramagnetického materiálu je rotace kyvadla pravotočivá. Přiložením paramagnetického materiálu malého objemu (např. Al) se průměr rotace kyvadla sníží, obr. 31. Další zvyšování objemu paramagnetického materiálu zmenšuje průměr rotace kyvadla až k nule a další zvyšování objemu opět průměr rotace kyvadla poroste, ale jeho směr bude pravotočivý.

Při interferenci spekter člověka a různých materiálů je možné vždy nalézt objem, při kterém se kyvadlo neotáčí.



Obr. 30 Směr rotace kyvadla pro interferenci pole člověka a diamagnetického materiálu. Diamagnetický materiál je umístěn ve středu spektra člověka. Maximální intenzity stejné rotace ve spektrech se sčítají a tato místa jsou označena silnou rotační šipkou. Rotace kyvadla nad takovou strukturou je levotočivá (vlevo). V případě posunutí spektra diamagnetického materiálu je rotace kyvadla také levotočivá.

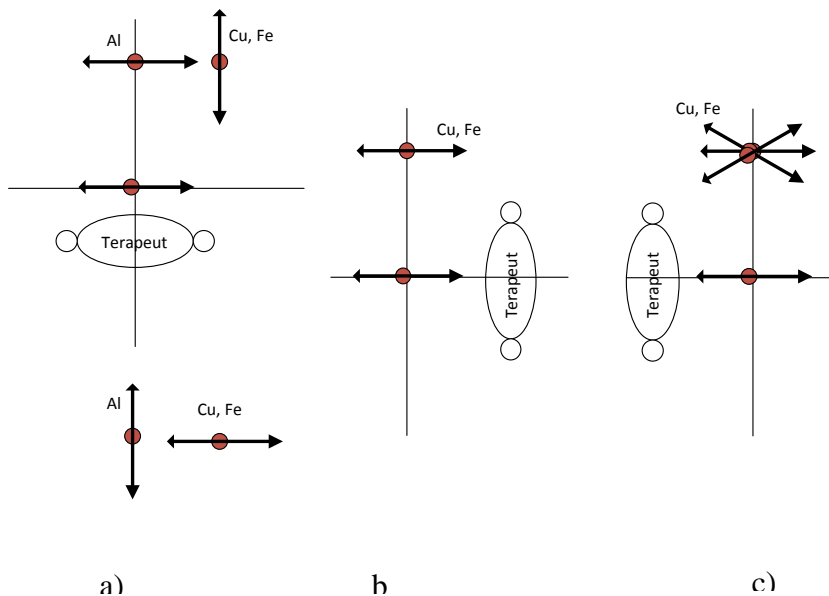


Obr. 31 Směr rotace kyvadla pro interferenci pole člověka a paramagnetického materiálu. Paramagnetický materiál je umístěn ve středu spektra člověka. Maximální intenzity stejné rotace ve spektrech se sčítají a tato místa jsou označena silnými rotačními šipkami. Rotace kyvadla nad takovou strukturou je pravotočivá (vlevo). V případě posunutí spektra materiálu o rozteč spektra člověka vznikne rozdílné interferenční spektrum, nad kterým se kyvadlo otáčí pravotočivě.

Proto lze vyslovit hypotézu, že kyvadlo reaguje na specifické rozložení interferenčního pole a hlavně na součet interferenčních polí člověka a všech materiálů ve svém okolí. Je však možné nalézt vhodnou kombinaci materiálů vedoucí ke kompenzaci několika vlivů v biologickém regulačním systému a k zastavení kyvadla.

Vliv pohybu okolních materiálů na detekci kyvadlem

Krouživý pohyb kyvadla bez použití myšlenky terapeuta je možné ovlivnit také pomalu se pohybujícími vodivými materiály, ve kterých vznikají vířivé proudy. Vířivé proudy deformují magnetické pole v místě detekce nebo kyvadla a tato deformace způsobí změnu pohybu kyvadla. Záleží na směru pohybu materiálu. Byl proveden následující pokus. Terapeut drží kyvadlo před sebou, nepoužívá myšlenky a nechá kyvadlo volně kroužit nad elektromagneticky aktivovanou vodou s velkou energií. Druhá osoba pohybuje vzorkem zvoleného materiálu (před terapeutem nebo za ním ve vzdálenosti 1m) v různém směru, viz. obr. 32. Experimentálně bylo zjištěno, že změnu kruhového pohybu kyvadla nad testovaným materiálem bez použití myšlenky na přímý pohyb způsobí také pohybující se nevodivý materiál s nízkou magnetickou susceptibilitou. Je důležité, že pohybující se materiál se pohybuje před detekující osobou a kyvadlem. Příklad ovlivnění kruhového pohybu kyvadla pohybujícím se materiálem je uveden v Tab. 14. Zajímavé je, že např. Cu a Fe se chová podobně, Al a turmalín (paramagnetické materiály) opačně jako Cu apod. Také nevodivý diamagnetický teflon se chová jako paramagnetický Al nebo ferit.



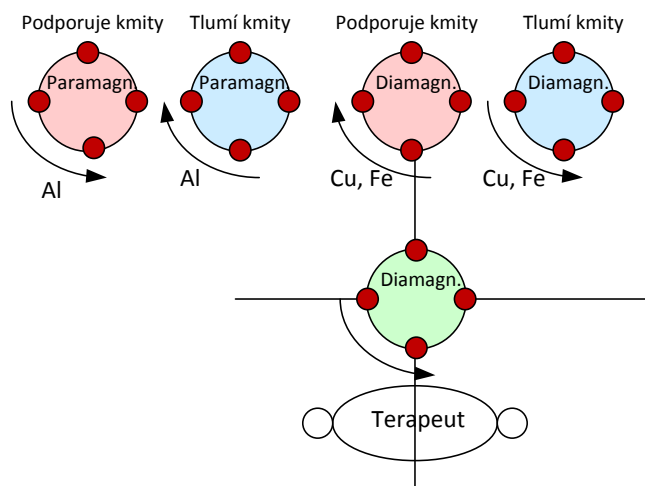
Obr. 32 Vliv pohybujících se materiálů na kruhový pohyb kyvadla v různých polohách v okolí terapeuta.

Uvědomme si, že kruhový pohyb se vždy mění na pohyb kyvadla kolmý (nebo paralelní) k pohybu materiálu a není podstatné, zda se materiál pohybuje na boku detekující osoby. V případě, že je pohybující se materiál za zády detekující osoby, jsou směry opačné. Pro Cu přejde kyvadlo v pohyb paralelní s pohybem materiálu a pro Al materiál bude pohyb kyvadla kolmý na pohyb Al materiálu.

Zajímavými je také kruhový pohyb vybraného materiálu. Terapeut drží diamagnetické kyvadlo nad elektromagneticky aktivovanou vodou. Kyvadlo vykonává kruhový pohyb o

určitém průměru. Při kruhovém pohybu vybraného materiálu ve směru souhlasném nebo nesouhlasném s pohybem kyvadla, dochází k tlumení nebo podpoře pohybu kyvadla. To se projevuje zmenšením nebo zvětšením průměru kruhového pohybu kyvadla. Souhrnně je tato situace znázorněna na obr. 33.

V případě, že paramagnetický materiál koná kruhový pohyb před detekující osobou, kyvadlo bude kroužit ve směru pohybu materiálu. V případě diamagnetického materiálu bude pohyb kyvadla proti směru pohybu materiálu. U Fe to bude jako u diamagnetického materiálu. Pokud pohyb materiálu bude za detekující osobou, budou pohyby kyvadla opačné.



Obr. 33 Vliv pohybujících se materiálů na kruhový pohyb kyvadla.

Tab. 14 Příklad ovlivnění kruhového pohybu kyvadla pohybujícími se materiály.

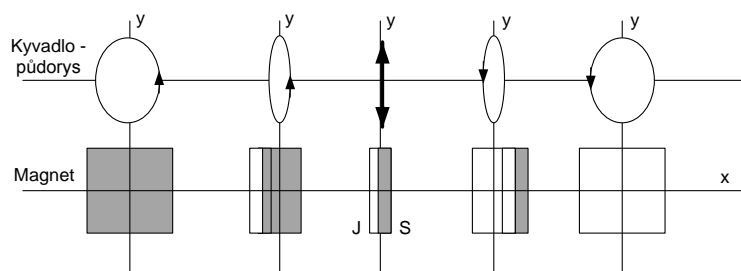
Kyvadlo je před osobou a jeho pohyb se mění pohybem materiálu na přímý následujícího směru <----->		
materiál		směr pohybu materiálu
měď	Cu	↑↓
Zlato	Au	↑↓
Mosaz		kruhový pohyb
permaloy		↔
transformátorová ocel		↔
hliník	Al	↔
Ferit		↔
železo		↑↓
Jíl		↑↓
Kuchyňská sůl	NaCl	↔
voda	H ₂ O	kruhový pohyb
polystyren		↑↓
teflon		↔

Je možné, že tento efekt souvisí s magnetickou susceptibilitou a vodivostí materiálu, ale jsou materiály, které tuto hypotézu nepodporují. Proto je možné se domnívat, že tento efekt souvisí s vnitřní strukturou a prostorovým uspořádáním atomů nebo molekul látek. Vede to k myšlence, že bioenergetické pole živých organizmů je dáno elektromagnetickými vírovými poli [2], [13] s kmitočty v oblasti kosmického záření, jehož struktura, rozložení a šíření závisí na rozložení magnetických a elektrických polí v místě organismu.

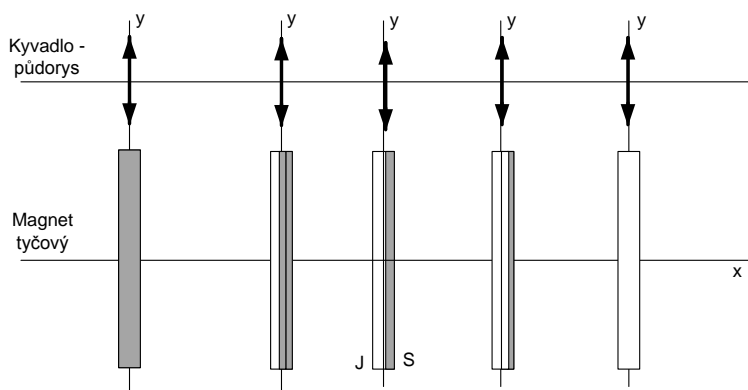
Chování kyvadla nad magnetickým polem

Pohyb kyvadla (**kyvadlo drží terapeut v levé ruce**) je složitý systém, založený na biologické zpětné vazbě. Chování tohoto regulačního systému vysvětlil Zrubec ve své knize [8]. Pro pochopení chování kyvadla nad magnetickým polem bylo vyzkoušeno několik variant. První z nich je feritový magnet 50x50x10 mm. Magnet byl postupně otáčen o 45° v jedné z horizontálních rovin a bylo zaznamenáno chování kyvadla. Výsledek je na obr. 34. Směr pohybu kyvadla je sledován v horizontální rovině. Na obr. 35 je uvedeno chování kyvadla nad tyčovým magnetem se čtvercovým průřezem (pryžový, 17x17x200 mm) při rotaci kolem osy symetrie. Na obr. 36 je znázorněno chování kyvadla nad tyčovým magnetem se čtvercovým průřezem (pryžový, 17x17x200 mm) při rotaci kolem středu delší strany.

Velikost magnetického pole ovlivňuje jen průměr nebo rozkmit pohybu kyvadla. Z experimentu vyplývá, že kyvadlo se pohybuje po isolinii magnetického pole, tedy ve směru neměnicího se magnetického pole. Je to zřejmě hlavně u chování kyvadla nad tyčovým magnetem, obr. 35 a obr. 36.



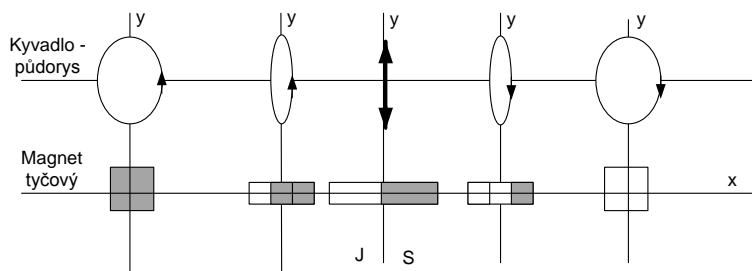
Obr. 34 Chování nad plochým čtvercovým magnetem (feritový, 50x50x10 mm).



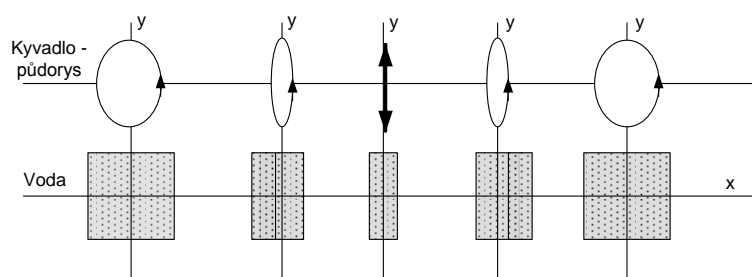
Obr. 35 Chování kyvadla nad tyčovým magnetem se čtvercovým průřezem (pryžový, 17x17x200 mm) při rotaci kolem osy symetrie.

Podobný experiment byl proveden s aktivovanou vodou umístěnou v nádobkách tvarů podobných magnetům v předchozím experimentu, obr. 37 a obr. 39. Výsledky jsou podobné,

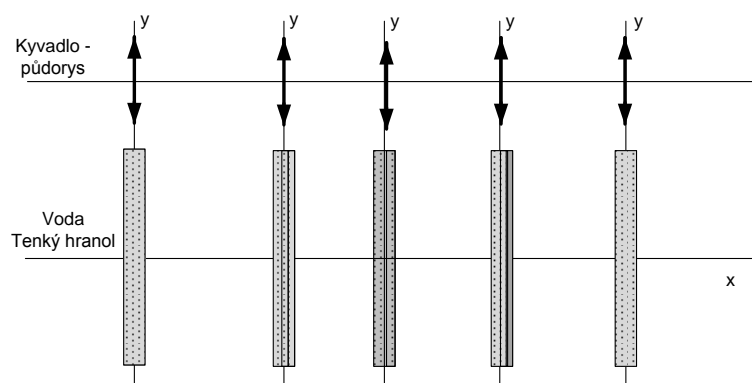
jako chování kyvadla nad magnetickým polem, jen s tím rozdílem, že voda je tekutá a její magnetické pole je vždy ve svislém směru. Tomu také odpovídá směr rotace kyvadla.



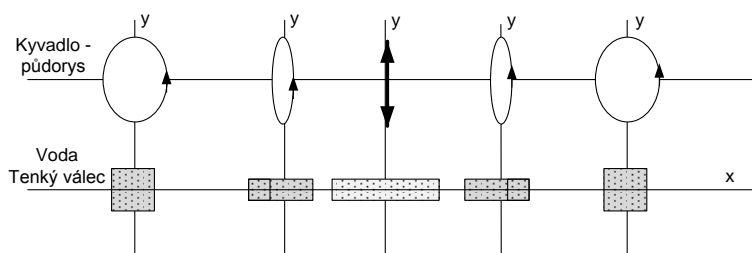
Obr. 36 Chování kyvadla nad tyčovým magnetem se čtvercovým průřezem (pryžový, 17x17x200 mm) při rotaci kolem středu delší strany.



Obr. 37 Chování kyvadla nad plochou čtvercovou nádobkou, naplněnou vodou s elektromagnetickou aktivací.



Obr. 38 Chování kyvadla nad nádobkou ve tvaru dlouhé trubice čtvercového průřezu, naplněnou vodou s elektromagnetickou aktivací, při rotaci kolem osy symetrie.



Obr. 39 Chování kyvadla nad nádobkou ve tvaru dlouhé trubice čtvercového průřezu, naplněnou vodou s elektromagnetickou aktivací, při rotaci kolem středu delší strany.

Zde je nutné upozornit, že směr rotace kyvadla nad severním pólem kyvadla (proti pohybu hodinových ručiček) odpovídá **držení kyvadla v levé ruce**.

Šestý dílčí závěr o kyvadle

Bylo publikováno mnoho informací o detekci kyvadlem. Některé zvláštnosti detekce kyvadlem uvedeno v této knize mohou posloužit vysvětlení povahy bioenergetických vln nebo biodetekce člověkem.

Konstantní pohyb kyvadla je udržován systémem s kladnou zpětnou vazbou v okruhu kyvadlo – změna bioenergetického pole - oči – mozek – ruka – kyvadlo. Snímač bioenergetického pole tvoří zakončení nervových buněk na celém těle. Bioenergetické pole v nervových zakončeních rezonuje s přítomnými látkami a vytváří se elektrické signály šířící se do mozku pro zpracování. Jako snímače bioenergetického pole se jeví tzv. ruffiniho tělísko a fotoreceptory. Na kroužení kyvadla má vliv gradientní magnetické pole. Nejcitlivější jsou obě ruce až po lokty. Jiné části těla se jeví na takováto pole necitlivá.

Je však možné vyslovit hypotézu: kyvadlo reaguje na specifické rozložení elektromagnetického pole, ve kterém se nachází citlivá osoba držící kyvadlo. Kyvadlem detekujeme rozložení tohoto elektromagnetického pole. Toto pole je přímo bioenergetickým polem živých organismů a také neživé přírody. Rozložení takového pole lze silně ovlivnit statickým magnetickým polem a hlavně jeho gradientem.

Experimenty ukazují, že vhodnou kombinací dia- a paramagnetického materiálu kyvadla je možné dosáhnout jeho necitlivosti. Při nalezené kombinaci materiálů kyvadlo nemá vykompenzovanou magnetickou susceptibilitu, je necitlivé a není možné jej použít.

Krouživý pohyb kyvadla bez použití myšlenky terapeuta je možné ovlivnit také pomalu se pohybujícími vodivými materiály, ve kterých vznikají vířivé proudy. Vířivé proudy deformují magnetické pole v místě detekce nebo kyvadla a tyto deformace způsobí změnu pohybu kyvadla. Záleží na směru pohybu materiálu. Tento efekt souvisí s vnitřní strukturou a prostorovým uspořádáním atomů nebo molekul látek. Vede to k myšlence, že bioenergetické pole živých organismů je dáno elektromagnetickými vřivými poli [2], [13] s kmitočty v oblasti kosmického záření, jehož struktura, rozložení a šíření závisí na rozložení magnetických a elektrických polí v místě organismu.

Člověk, rostliny, organický a anorganický materiál se skládají z buněk, molekul a v jemnější struktuře z atomů různých prvků. Každý organismus je zdrojem vlnění vytvářejícím interferenční pole. Toto pole je součtem vln pocházejících od každého elektronu, protonu, neutronu a všech vnitřních struktur atomu. Interferenční pole na zeměkouli má pravidelnou strukturu a lze si ji představit jako pravidelnou mřížku, v jejichž kříženích je vždy maximum nebo minimum interferenčního pole. Tato maxima nebo minima je možné detekovat kyvadlem, které nad maximum nebo minimum krouží pravotočivě nebo levotočivě.

Z provedených experimentů lze vyslovit hypotézu, že kyvadlo reaguje na specifické rozložení interferenčního pole a hlavně na součet interferenčních polí člověka a všech materiálů ve svém okolí. Je však možné nalézt vhodnou kombinaci materiálů vedoucí ke kompenzaci několika vlivů v biologickém regulačním systému a k zastavení kyvadla.

Voda

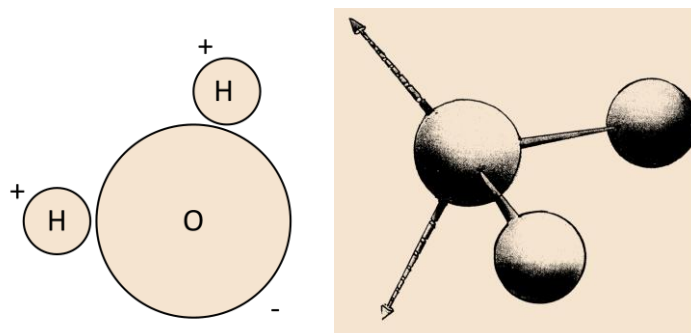
Voda je zajímavou tekutinou. Bez vody nelze žít více než několik dní. Voda z hlediska hmoty tvoří většinu našeho těla. Optimálně by lidské tělo mělo obsahovat 60% vody a to volně nebo vázané v buňkách a tkáních. My nejenže žijeme v závislosti na vodě, my žijeme vlastně „ve vodě“. Proto je funkce celého lidského organismu závislá na kvalitě a vlastnostech vody. Je důležité znát fyzikální a chemické vlastnosti vody v lidském těle. V současné době věnována značná vědecká pozornost poznání vlastností vody. Poznání vody, jako shluku velkého množství jednoduchých molekul složených z kyslíkových a vodíkových atomů, vychází z představ složení atomů a jejich subčástic, ze kterých jsou složeny. V poslední době několik vědců vypracovalo zcela nový pohled na atomy, jejich vnitřní strukturu, na vazby a síly vzájemně působící mezi atomy [2], [13]. Podle jejich představ jsou atomy elektromagnetická pole specificky uspořádaná do prstencových struktur. Tato hypotéza o složení hmoty vysvětluje vznik a velikost fyzikálních sil mezi protony, elektrony, neutrony a dalšími strukturami hmoty a ukazuje na uspořádání atomů a různých chemických látek. Zároveň může předvídat některá zvláštní chování materiálu (např. magnetické anomálie niklu, doposud nevysvětlitelná anomálie hustoty vody). Tato hypotéza může také lépe než současný fyzikální pohled zdůvodňovat zvláštní vlastnosti a anomálie vody.

Pro lidské zdraví a správnou funkci buněk v těle může mít voda příznivý vliv. Záleží však na jejich vlastnostech. V současné době jsou prodejci nabízeny různé druhy aktivovaných nebo jinak upravených vod. Prodejci se předhánají ve výčtu dobrých vlastností vody, kterou prodávají, nebo kterou si může každý z nás připravit doma s použitím důmyslných zařízení vyznačujících se především dostatečně vysokou cenou. Vliv na zdraví člověka je většinou dokládán dobrozdáním některých uživatelů. Ve většině případů není možné změny vlastností vody zjistit fyzikálním měřením.

Elektromagnetické pole molekul vody

Vlastnosti vody se značně odlišují od všech známých látek na Zemi. Mnohé zvláštnosti vody se vysvětlují osobitou stavbou její nejmenší molekuly složené ze tří atomů. Elektronová konfigurace molekul vody je základem jejích strukturálních útvarů. Ty vznikají intermolekulárními interakcemi, které se uskutečňují vodíkovými můstky. Tyto můstky jsou odpovědné za prostorové rozložení molekul vody, jež ji činí kapalinou. Patrně ve struktuře prostorové sítě vodíkových můstků, vytvořených molekulami vody, se skrývá i příčina všech jejích anomálních vlastností [11].

Vlastnosti vody je možné charakterizovat několika způsoby. Různí autoři v knihách mluví o energii, bioenergii a mnoha jiných pojmech. Geometrie molekuly vody je znázorněna na obr. 40. Atomy v ní nejsou uspořádány lineárně (nejsou v jedné přímce), přičemž chemické vazby mezi atomy svírají úhel $104,45^\circ$. Molekula vody vytváří elektrické dipóly a navenek má prostorově uspořádaný elektrický náboj. Na základě těchto nábojů může vytvářet větší celky, zvané klastry.

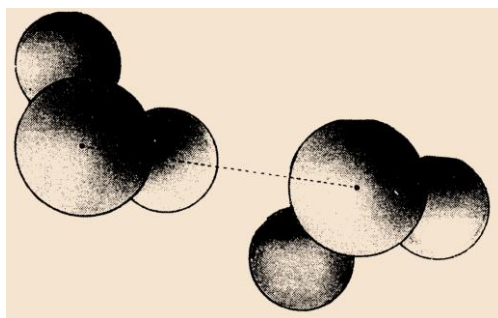


Obr. 40 Geometrické uspořádání molekuly vody a rozložení nábojů v okolí molekuly. Voda je tvořena molekulami vody, jejichž geometrie je tetraedrická: dvě kovalentní vazby OH a dva volné elektronové páry (znázorněné 2 šipkami) kyslíkového atomu směřují do vrcholů tetraedru, jehož středem je kyslík [11].

V molekule H_2O je každý vodíkový atom vázán na kyslíkový atom tzv. kovalentní vazbou (obr. 40). Kovalentní vazba je vnitromolekulární forma chemické vazby, kterou lze charakterizovat sdílením jednoho nebo více párů elektronů mezi dvěma prvky. Atomy, účastníci se vazby, si tímto způsobem zaplňují valenční vrstvu elektronového obalu. Energie kovalentní vazby je větší, než energie intermolekulárních vodíkových vazeb. Tento druh vazby je typický pro atomy organických molekul a pro anorganické látky s krystalickou mřížkou složenou ze stejných atomů.

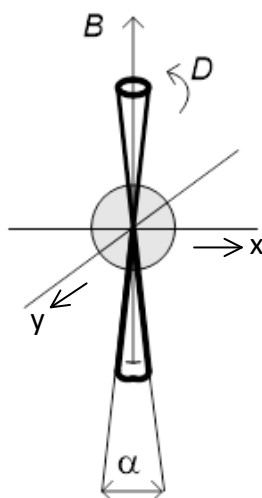
Rozdělení elektronů v kovalentní vazbě O-H není však symetrické. Elektrony jsou silněji přitahovány k atomu kyslíku než vodíku. Z toho vyplývá, že kyslík je nabit záporně a vodíkové atomy kladně. Tato nerovnováha v rozdělení elektrických nábojů, spojená s nelineární geometrií molekuly vody (obr. 40), se projevuje existencí silného elektrického momentu. Právě tato elektrická nerovnováha je z velké části odpovědná za velké rozpouštěcí schopnosti vody vůči iontovým krystalům, některým solím, kyselinám nebo zásadám. Ovšem klíč k pochopení vlastností vody vězí ve vazbách, které molekuly vody mohou vytvářet se svými sousedy. V molekule H_2O kyslíkový atom váže 8 valenčních elektronů, z nichž jen čtyři jsou zahrnuty do kovalentních vazeb O-H se dvěma vodíkovými atomy. Čtyři zbývající elektrony jsou seskupeny do dvou párů nazývaných volné elektrické dublety. Každý z těchto dubletů s negativním nábojem může vytvářet elektrostatickou vazbu s vodíkovým atomem kladně nabitým sousední molekuly vody (obr. 41). Vodíková vazba (vodíkový můstek), v níž kyslíkový atom molekuly a atomy skupiny H-O sousední molekuly (obr. 41) leží na přímce. Vodíkové můstky, které jsou stabilní za pokojové teploty, jsou přesto křehké ve srovnání s kovalentní vazbou. Tím lze pochopit jejich důležitost např. v biochemických reakcích, při nichž potřebné energie jsou slabé!

Charakteristiky vody se z velké části odvíjejí z geometrie molekuly. V molekule vody geometrie vytvořená směry dvou kovalentních vazeb a dvěma elektrickými volnými dublety je velmi blízká tetraedru, v jehož středu se nachází kyslíkový atom. Tím tedy vznikne útvar, v ledu trvalý a ve vodě přechodný, v němž se kyslíkové atomy vody nacházejí ve vrcholcích kvazitetraedrické mřížky (obr. 41) [11].



Obr. 41 Molekuly vody se mohou mezi sebou shlukovat díky elektrostatickým vazbám nazývanými vodíkové můstky. Vodíkový můstek může vzniknout mezi vodíkovým atomem jedné molekuly a kyslíkovým atomem sousední molekuly vody, při čemž atomy leží na přímce [11].

Molekuly vody, ať uspořádané do klastrů nebo neuspořádané, vytváří kolem sebe elektromagnetické pole. Podle mého hodnocení bych rozlišil fyzikální energii, která se úpravou nebo uspořádáním do klastrů nemění. Mění se však především intenzita elektrického pole E v okolí kulově uspořádaných klastrů a s tím i elektrická indukce D . Uvažuji, že u molekul vody uspořádaných do klastrů (totéž platí i o jiných tkáních a materiálech) střídavé elektrické pole E rotuje nebo je rozloženo kolem svíslé osy a zdá se, že rotuje kolem směru gravitace (s větší pravděpodobností) nebo kolem vektoru zemského magnetického pole (s menší pravděpodobností). Elektrická indukce D je tok elektrického pole E zvolenou plochou a má směr totožný s E . Proto lze charakterizovat dvojitý kužel $D(E)$, vznikající v okolí molekuly vrcholovým úhlem α , obr. 42. Střídavé magnetické pole B je ve směru svíslé osy.



Obr. 42 Dvojitý kužel elektrické indukce v okolí vodních molekul uspořádaných do klastrů.

Menšímu úhlu psychotronici přiřazují větší energii a kompenzované kyvadlo, držené terapeutem v klidu bez myšlenky, má větší výchylku. Proto je možné charakterizovat velikost D pomocí velikostí vrcholového úhlu dvojitého kužele. Pro představu jsou v Tab. 15 uvedeny velikosti D a úhlu α pro několik známých úprav vody.

Tab. 15 Velikosti elektrické indukce D a vrcholového úhlu α pro několik známých úprav vody.

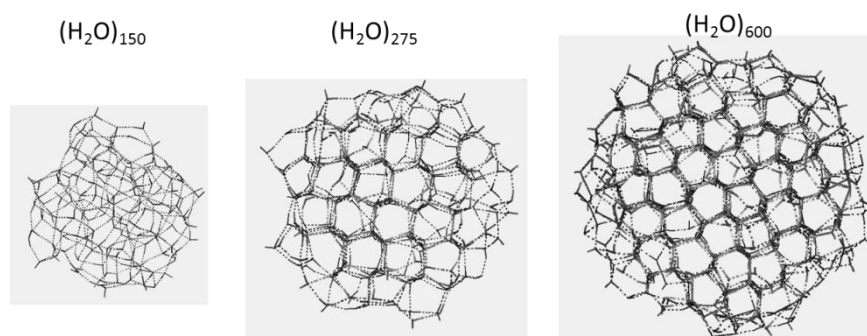
Druh vody	$D / \text{V/m}^3$	$\alpha / ^\circ$
destilovaná (deionizovaná) voda	$4,1 \cdot 10^{-5}$	48
vodovodní voda (Brno)	$1,1 \cdot 10^{-5}$	59
π voda	$7,9 \cdot 10^{-5}$	24
lurdská voda	$6,5 \cdot 10^{-4}$	10
diamantová vody	$6,7 \cdot 10^{-4}$	10
atomová voda (úprava Bartušek)	$4,6 \cdot 10^{-3}$	1
voda ze Sluneční pyramidy v Bosně	$1,5 \cdot 10^{-3}$	3

Uspořádaná struktura vody

Živá příroda a buňky živých organismů vytvářejí podobnou strukturu jako má uspořádaná voda. V jejím okolí je vírové elektrické pole, [2], [13]. Toto uspořádání ovlivňuje kmitání kyvadla (nebo pohyb virgule).

Voda a její struktura mají významný vliv na živé organismy. Úprava vody, prováděná libovolným způsobem, má vliv hlavně na dva základní parametry. Zkušenost ukazuje, že harmonizace (spinová uspořádanost) molekul a energie atomů vody významně ovlivňuje „správnou“ funkci buněk lidského organismu a jejich ochranu před ovlivněním toxiny a infekcemi. Spinová uspořádanost molekul má velký význam při dostatečné hladině energie atomů. Další zvyšování energie atomů již nemá větší přínos pro funkci buněk lidského organismu a pro zdraví organismu. Limity jsou následující: harmonizace molekul – $D = 9200 \text{ m.j.}$ a násobek energie je $n = 4$.

Molekuly vody v určitém objemu jsou náhodně prostorově uspořádány a jsou v chaotickém pohybu. Molekuly vody mají tři stupně volnosti a mohou se v prostoru volně pohybovat. Pro uspořádání molekul vody do určité struktury s minimální energií je nutné molekuly vody vložit do fyzikálně definovaného elektromagnetického pole. Elektromagnetické pole v okolí molekul vytvoří fyzikální síly a ty uspořádají molekuly do struktur, které z makroskopického pohledu budou mít vyšší energii a v jejím okolí bude harmonizovaná a uspořádaná struktura elektromagnetického pole.



Obr. 43 Shluky malého počtu molekul vody vedou ke kulovitým amorfním částicím. Částice o přibližně 275 molekulách začnou již vykazovat zárodek šesterečného krystalického uspořádání, pro velké klastry je již jasně patrné krystalické jádro, povrch nanočástice zůstává amorfní [10].

Pro bližší představu uvedu text tiskové zprávy VŠCHT Praha ze dne 21. září 2012 [9]. Problematika o vzniku vodních klastrů byla popsána např. v následující publikaci [10]. Kolik molekul je potřeba k vytvoření nejmenšího krystalku ledu? Na tuto doposud nevyřešenou otázku nyní odpovídá tým vědců z Göttingenu a z Prahy. Ledový nanokrystal musí mít alespoň 275 molekul vody. Pochopení struktury malých vodních částic povede ke kvalitnějším modelům chemických dějů v atmosféře či vývoje klimatu. Výsledky výzkumu týmů Dr. Thomase Zeucha (Univerzita Göttingen), Prof. Udo Bucka (Ústav Maxe Plancka pro dynamiku a samoorganizaci, Göttingen) a doc. Petra Slavička z pražské Vysoké školy chemicko-technologické byly nyní publikovány v prestižním vědeckém časopise Science.

Mikroskopická struktura vody je na první pohled odlišná od struktury ledu, o čemž nás přesvědčí třeba popraskaná láhev s limonádou v mrazicím boxu. Prostorově náročnější architektura ledu je typická svým kubickým uspořádáním, kdežto v kapalné vodě jsou molekuly uspořádané náhodně. Nanočástice o malém počtu molekul se do krystalu za žádných okolností neuspořádají, molekuly se zhroulí a vytvoří amorfní kouli. Teprve od určité velikosti se uvnitř této koule začne vytvářet zárodek krystalové struktury. „První projevy krystalizace se objevují pro shluky 275 molekul vody a pro 475 molekul je už krystal prakticky hotový“. To je překvapivý výsledek. Doposud se předpokládalo, že ke krystalizaci ledu bude potřeba více než tisíce molekul vody. Experiment tak odpovídá na základní otázku, která vědcům nedá spát: kolik částic je třeba, aby se z molekul stal „materiál“. Jedna či dvě molekuly vody se nechovají ani jako kapalina ani jako krystal, běžná dešťová kapka vody obsahuje více než 1020 molekul. Práce česko-německého týmu ukazuje, že i hodně malé shluky molekul se již chovají jako látky známé ze světa našich rozměrů.

Tolik k simulačním výpočtům a výzkumům uspořádaných klastrových struktur vody.

Některé vybrané vlastnosti vody

Fyzikální a chemické vlastnosti vody jsou dostatečně popsány v mnohých knihách a na internetových stránkách. Tyto parametry jsou podloženy poznáním a vědeckými experimenty. Není účelné je v tomto textu podrobně popisovat. Doposud však neexistuje technické zařízení, pomocí kterého bychom mohli zobrazit molekulu vody. Makroskopicky je možné sledovat velký počet molekul vody ve všech skupenstvích.

V souvislosti se zdravím lidí se vyskytují některé metody charakterizující vliv vody na lidský organizmus. Z pohledu současné vědy však nejsou dostatečně teoreticky popsány nebo experimentálně dokázány. Takový pohled je na homeopatii, Kirilianovu fotografii, systém detekce biofeedback pomocí virgulí nebo kyvadla, případně tepelně, myšlenkové či optické vjemy některých lidí. Podobně je možné zjišťovat vliv vody na člověka pomocí přístrojů využívajících biofeedback pro vyhodnocení reakce člověka. Příkladem jsou Bicom, Global systems, Salvia a mnoho jiných. Do této oblasti patří také intuice, hypnóza nebo jasnovidnost. Zkušenosti však ukazují, že takové techniky vykazují statisticky významnou změnu pocitů pacientů při jejich použití.

Proto je důležité hledat fyzikální, chemické, teoretické nebo experimentální metody, které by ukázaly vliv aktivačních technik na molekuly, buňky a tkáň lidského organismu. K tomu účelu slouží snaha v co největší míře ovlivnit (aktivovat) soubor molekul vody a to čistě fyzikálním způsobem. V těchto technikách není účelné používat aktivaci pomocí myšlenky nebo vkládání informací do vody pomocí myšlenkových pochodů. Tomu uspořádání odpovídá snaha o takové nejlepší uspořádání molekul vody vytvořené pomocí elektromagnetických polí nebo jiných fyzikálních struktur, které je pro správnou funkci buněk živého organismu příznivé.

Uspořádanost vody lze sledovat například podle průměru otáčení kyvadla bez použití jakýchkoliv myšlenek. Kompenzované kyvadlo experimentátor drží v ruce a nechá jej volně viset nad aktivovanou vodou. Kyvadlo začne za krátkou dobu kroužit proti směru pohybu hodinových ručiček – otáčení je levotočivé. Průměr otáčení kyvadla charakterizuje stupeň aktivace vody. Pokud kyvadlo rotuje obráceně - pravotočivě, neodpovídá voda vlastnostem vody v živém organismu. Podle směru otáčení můžeme hovořit o rotaci molekul vody, o rotaci. Rotace je jeden významný parametr nejen pro vodu, ale i pro správný stav buněk živého organismu. Za přítomnosti pro tělo nevhodných chemických látek ve vodě se rotace mění na pravotočivou.

Pro posouzení uspořádanosti molekul vody je vhodné zavést tři nezávislé parametry. Jeden z nich – **harmonizace molekul** - se týká úrovně uspořádání spinů atomů, jader a elektronů. Úroveň harmonizace molekul lze charakterizovat pomocí velikosti elektrické indukce elektromagnetického pole (D) v okolí sledovaného množství vody. Je vhodnější používat měrnou jednotku (m.j.), která je úměrná skutečné velikosti D . Velikost D není úměrná množství sledovaných molekul.

Druhou veličinou pro posouzení uspořádanosti molekul vody je velikost **energie**. Energie je úměrná velikosti pole mezonů, které tvoří strukturu hmoty a které se vyskytují v okolí sledované vody a v celém vesmíru. Tato úroveň mezonů odpovídá energii molekul a také jejich množství. Geopatogenní zóny vykazují silný pokles mezonů v určitém místě. Úroveň mezonů se v čase mění na celé zemi. K charakterizování energie vody je vhodné stanovovat kolikrát má voda vyšší úroveň mezonů než má okolí. Tento násobek energie dobře charakterizuje energii molekul vody a není závislý na uspořádanosti molekul vody. Oba parametry jsou navzájem nezávislé.

Třetím parametrem posouzení příznivosti nebo aktivity vody je **šířka frekvenčního pásma** vyjádřená v hodnotách mocniny 10^x Hz. Frekvenční šířka pásma určuje, jak vysoké frekvence bude mít vlnění vodních částic a také charakterizuje, jak vysoké frekvence bioenergetického pole můžeme do vody zaznamenat. Pro člověka je významné, pokud maximální frekvence vody (hlavně vody v těle) se bude blížit maximální frekvenci vesmírného vlnění, tj. 10^{75} Hz.

Způsoby aktivace molekul vody

Z předchozího textu vyplývá, že aktivací vody je vhodné ovlivnit všechny tři parametry vody. Jedná se o velikost energie, harmonizaci a maximální frekvenci vln vody. Čím se budou hodnoty těchto parametrů blížit hodnotám vesmírného vlnění, tím lépe. Týká se to především vody a vodních molekul v celém lidském těle. Otázkou je, jaké existují fyzikální způsoby aktivace vody v těle člověka. Pro zjednodušení je možné popsat soubor technik pro aktivaci čisté (deionizované vody) a potom přenést tyto techniky na aktivaci vody v těle.

V současné době byly ověřeny tři základní možnosti aktivace molekul vody, které jsou založené jen na působení fyzikálních polí. Je samozřejmé, že stejnou úroveň aktivace vody lze dosáhnout i mentálními způsoby. Patří mezi ně např. mentální spektrálně-spinová úprava vody, mentální vkládání specifických informací do vody a mentální sfázování vln subčástic elektronů.

V průběhu vývoje různých způsobů **harmonizace molekul vody** nebo i harmonizace vnitřních struktur molekul (atomy vodíku, kyslíku, atomová jádra, elektrony i subčástice jader a elektronů) byly vytvořeny přechodné systémy pro harmonizaci vody, které postupně vylepšovaly výslednou harmonizaci molekul vody. Všechny systémy se liší stupněm uspořádání a složitostí vytvoření definovaného elektromagnetického pole. Úroveň harmonizace vody lze posuzovat podle velikosti elektrické indukce D v ose vzorku, stanovené kyvadlem. Metody aktivace vody založené na fyzikálních polích jsou následující: spirálový anténový systém, kruhový laserový paprsek, vysílač 3,5 GHz, světelné pole, šroubovicové magnetické

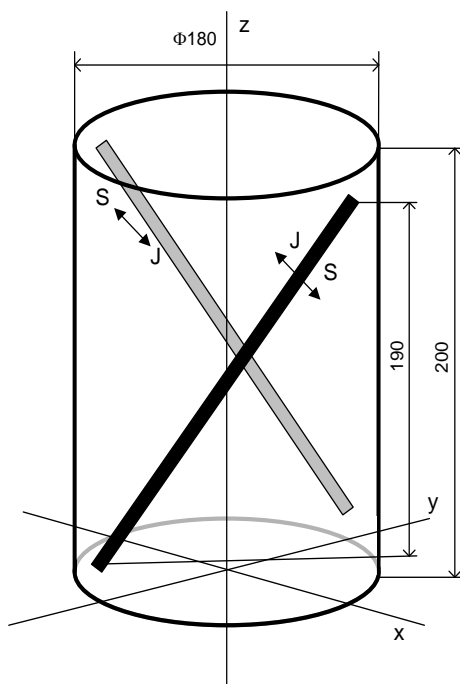
pole a akumulátory bioenergetického pole s duhovým světelným polem. V následujícím textu budou vysvětleny jen aktivace vody šroubovicovým magnetickým polem, elektrickým polem a s využitím akumulátorů bioenergetického pole. Zbývající přechodné systémy jsou popsány v příloze č. 1.

Kromě harmonizace molekul vody je pro aktivaci důležité zvýšit **energii dynamického systému vody** a také zajistit sfázování subčástic elektronů a jader v molekulách vody. K tomu účelu byly vyvinuty různé typy akumulátorů bioenergetického pole.

Zvláštní kapitolou je zvyšování **maximální frekvence vlnění vody** provedené několikanásobným zmrazením vody a následným rozmrazením, což výrazně zvyšuje maximální frekvence vody.

Speciální magnetické pole

Použití speciálního magnetického pole pro uspořádání molekul vody je jednoduché. Voda se vloží do středu magnetického pole s definovaným prostorovým rozložením, které je znázorněno na obr. 44. Magnety jsou umístěny na povrchu válce, mají tvar šroubovice a jižní pól magnetu směřuje vzhůru. Uspořádání vody trvá přibližně 2 hodiny. Vložíme-li do šroubovicového magnetického pole vodu upravenou dřívějšími způsoby (viz. Příloha č. 1 a [20]), bude uspořádání trvat přibližně 2 min. D této úpravy je 190 m.j. Při této úpravě je důležité, aby voda neobsahovala chlór. Ten po úpravě účinně sníží uspořádanost molekul. Pokud bylo $D = 190$ m.j., sníží se na $D = 140$ m.j.



Obr. 44 Šroubovicové magnetické pole pro úpravu vody.

Ještě lepšího uspořádání vodních molekul dosáhneme odplyněním vody (např. ohřevem pod bod varu a následným odsátím) a následným zmrazením. Led necháme pomalu rozpouštět ve šroubovicovém magnetickém poli. D této úpravy je 310 m.j. a uspořádanost je stabilní.

V Tab. 16 jsou uvedeny výsledky různého uspořádání vody, elektrická indukce D a velikost magnetického pole B ve svislé ose. Podle Tab. 16 je možné uspořádání vody do několika struktur, které se navzájem liší velikostí D . Jednotlivé úrovně D jsou následující: $D = 8, 26, 82,$

140, 190 a 310 m.j.. Kvantování úrovní úpravy souvisí pravděpodobně s fyzikální strukturou molekul vody a s možností vzniku chemických vazeb.

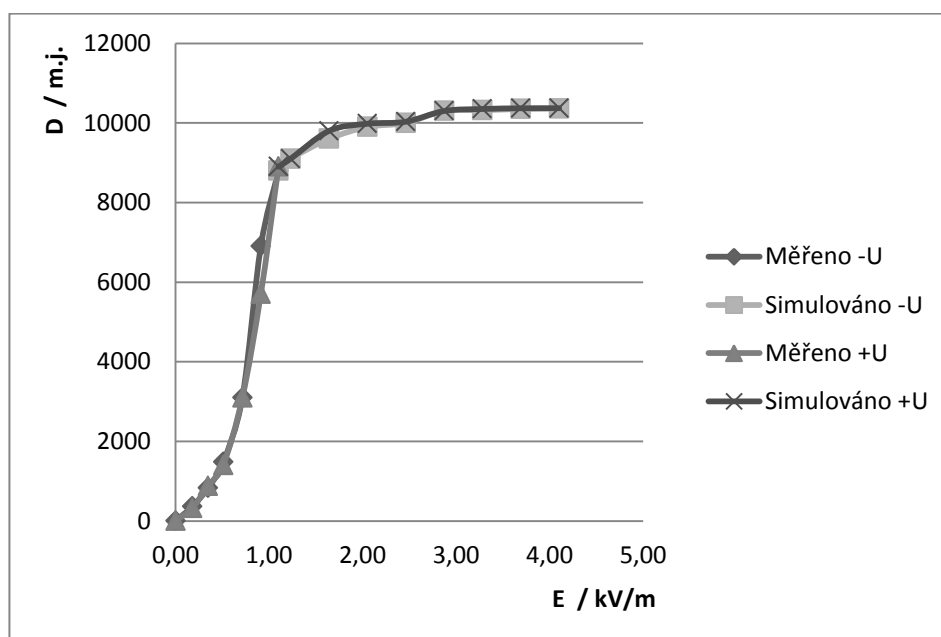
Tab. 16 Výsledky různého uspořádání vody: velikost elektrické indukce D a magnetického pole B ve svislé ose.

Typ úpravy	D / m. j.	B / T
Vodovodní voda	8	$3 \cdot 10^{-12}$
Vodovodní voda + spirálová anténa	26	$4 \cdot 10^{-11}$
Vodovodní voda + světelné pole	82	$6 \cdot 10^{-10}$
Vodovodní voda po úpravě v magnetu po 2 hod	140	$5 \cdot 10^{-9}$
Vodovodní voda + světelné pole po úpravě v optimálním magnetu	190	$4 \cdot 10^{-8}$
Deionizovaná voda - led + úprava v magnetu	310	$3 \cdot 10^{-7}$
Deionizovaná voda + spektrálně-spinová-úprava molekul	660	$7,4 \cdot 10^{-7}$

Uspořádanost molekul vody statickým elektrickým polem

Polární molekuly jsou molekuly se stálým a nenulovým dipólovým momentem. Elektrický náboj je v nich rozložen nesymetricky. Je známo, že molekula vody je polární molekulou a lze si ji představit jako elektrický dipól. Molekula je asymetrická a má kladný náboj v okolí vodíkových atomů a záporný náboj v okolí atomů kyslíku. Molekuly vody se vložením do elektrického pole uspořádají do směru elektrického pole. Uspořádanost molekul vody je stejná, jako uspořádanost získaná vložením vody do speciálního magnetického pole.

Pro ověření uspořádání molekul vody elektrickým polem byl proveden následující experiment. Mezi dvěma rovinnými deskami bylo vytvořeno nastavitelné elektrické pole. Elektrody (desky) o rozměrech 100x100 mm byly ve vzdálenosti 65 mm od sebe. Uprostřed mezi desky byla umístěna kádinka naplněná vodou. Hladina vody byla ve výšce 30 mm ode dna nádoby. Velikost elektrické indukce ve vodě je ϵ_r krát menší než elektrická indukce mezi elektrodami bez kádinky s vodou ($\epsilon_r = 1$).



Obr. 45 Úprava molekul vody pomocí statického elektrického pole.

Uspořádanost molekul vody byla posuzována podle velikosti elektrické indukce D stanovené kyvadlem v měrných jednotkách. Na obr. 45 jsou výsledky experimentu. Byla posuzována uspořádanost pro obě polarity elektrického pole v rozsahu 0 – 1,1 kV/m. Pro vyšší elektrická pole bylo uspořádání simulováno a byla charakterizována saturační oblast v grafu.

Statickým elektrickým polem větším než 2 kV/m je možné uspořádat molekuly vody až na úroveň $D = 10400$ m.j.. Výsledek ukazuje, že uspořádanost odpovídá sjednocení dipólů molekul vody, jejich atomů (spinů atomů) a také jader a elektronů. Protože výsledek uspořádání v silném statickém elektrickém poli je stejný, jako mentální harmonizace vody včetně všech jejich nejjemnějších struktur, znamená to, že v elektrickém poli dojde k uspořádání i subčástic atomových jader (kvarků) a subčástic elektronů. To je velmi zajímavý výsledek. Dalším důležitým výsledkem je, že harmonizací molekul vody nedochází ke zvýšení jejich energie (bioenergie).

Akumulátory bioenergetického pole

Akumulátory bioenergetického pole jsou speciální struktury vytvářející ve vnitřním vymezeném prostoru bioenergetické pole s vyšší energií, než jaká se vyskytuje v okolním prostoru. Slouží živým buňkám zvýšit svoji energii a zlepšit jejich funkci. V lidském těle zvýší energii buněčných membrán a usnadní žádané přechody různých chemických látek přes buněčné membrány do a z buňky. V případě zplodin činnosti buněk nebo toxických látek bude jejich vylučování z buněk snazší. Konstrukce akumulátorů bioenergetického pole je popsána v samostatné kapitole.

Co dokáže zmrazení vody?

Jedním z fyzikálních způsobů jak rozšířit maximální frekvenci vln vody je použít zmrazení vody. Postup je následující: deionizovanou vodu vložíme do skleněné nádoby, necháme ji odplynit zahřátím pod bod varu. Voda nesmí vařit (bublat) a necháme z ní po dobu asi 10 min odcházet plyny. Potom uzavřenou nádobu s vodou vychladíme. Dalším krokem je provedení mrazících cyklů. Připravenou vodu zmrazíme (v mrazicím boxu bez roztržení láhve) a následně necháme rozmrazit. Toto opakujeme 7 krát. Takto aktivovaná voda nebude mít zvýšenou energii, harmonizace bude $D = 300$ m.j. a maximální frekvence bude 10^{70} Hz.

Jednodušší způsob aktivace vody (obr. 46) je aktivace vody mražením za přítomnosti speciální cívky. Odplyněnou vodu vložíme do speciální cívky a zmrazíme. Po rozpuštění bude mít aktivovaná voda vlastnosti stejné, jako speciálně mražená voda, popsána v předchozím případě.

Cívka je navinuta na toroidní nosné těleso, které je nevodivé a nemagnetické. Jeho vnější průměr je 100 mm, vnitřní průměr je 70 mm. Cívky jsou dvě a mají každá 7 závitů. Druhá cívka je vinuta uprostřed mezi závity první cívky. Konec závitu první cívky je spojen se začátkem závitu cívky druhé a začátek závitu první cívky je spojen s koncem závitu cívky druhé. Speciální cívka je tedy toroidní cívka spojená nakrátko a tvoří rezonátor pro vlnění molekul vody.



Obr. 46 Aktivace vody mražením za přítomnosti speciální cívky.

V přírodě samovolně nastává aktivování vody např. na rovníku, při prudkých deštích. Voda v mracích kondenzuje za nízké teploty a stává se přemraženou. Nevytváří se led. Výsledkem je, že dešťová voda má maximální frekvenci až 10^{40} Hz. Z rostlin například šťáva z aloe vera má maximální frekvenci 10^{42} Hz.

Zbývá odpovědět na otázku: jakým způsobem zvýšit maximální frekvenci vody v lidském těle. Fyzikálně je možné použít zesilovač bioenergetických vln, popsáný v samostatné kapitole. Na vstupu zesilovače umístíme aktivovanou vodu a výstup zesilovače nasměrujeme do příslušných oblastí člověka. Další možností, i když poměrně pomalou, je pravidelné pití aktivované vody. Je možné také použít přenosových kartiček a pomocí nich upravovat vodu v lidském těle. Zvyšování maximální frekvence mentálním způsobem je možné všemi způsoby meditace, uklidnění, fyzickým a duševním cvičením apod.

Mentální spektrálně-spinová úprava molekul vody

Pro účely lepšího měření elektromagnetických polí v okolí uspořádané struktury vody byla navržena a ověřena metoda mentální spektrálně-spinová úprava vody. Touto metodou se dosáhne harmonizování nebo sjednocení orientace spinů molekul vody. Makroskopicky bude voda mít silnější elektromagnetické pole ve svém okolí ($D = 660$ m.j.) a větší bioenergetické pole. Postup úpravy orientace spinů atomů je jednoduchý a výsledek je uveden v Tab. 17.

Přesný popis postupu spektrálně-spinová terapie (popsáný v samostatné kapitole) pro dosažení harmonizace buněk v těle je možné aplikovat například na molekuly vody. Ta má jednoduché molekuly a mnoho stupňů volnosti. Výsledkem působení je upravovaný vzorek vody s uspořádanými molekulami, který vykazuje velkou hodnotu elektrické indukce D popřípadě magnetické indukce B . Uspořádanost molekul vody je značně vyšší, než bylo doposud dosaženo fyzikálními prostředky pomocí definovaně uspořádanými elektromagnetickými poli.

Tab. 17 Velikost elektrické indukce D a poloměru R otáčení testovacího kyvadla pro různé druhy vod.

Druh vody	D m.j. před úpravou vody	D m.j. po úpravě vody	R kyvadla mm
Vodovodní voda	1	370	210
Vodovodní voda odplyněná	1	460	240
Deionizovaná voda	1,3	660	300
Osmotická voda	1,6	660	300

V Tab. 17 jsou uvedeny velikosti elektrické indukce D a poloměru R otáčení testovacího kyvadla pro různé druhy vzorků vod. Testování bylo provedeno kompenzovaným kyvadlem

bez použití myšlenky. Kyvadlo bylo drženo ve svislé ose nad upravenou vodou a vykonávalo krouživý pohyb. Poloměr kroužení R je závislý na velikosti D . Vodovodní voda obsahuje příměsi různých látek (soli, minerály, krystalické látky atd.), a také např. kyslík, chlór, vápníkové soli apod. Tyto příměsi poruší uspořádanost molekul vody. Pokud tyto příměsi z vody odstraníme, je uspořádanost lepší. To je vidět na uspořádané odplyněné vodovodní vodě a také na deionizované a osmotické vodě. Nejlepší uspořádanosti molekul vody bylo dosaženo mentálním spektrálně spinovým působením na vodní molekuly ($D = 660$ m.j.).

Postup harmonizace molekul vody byl aplikován jednou jen na celé molekuly vody. V případě, že harmonizaci provedeme postupně na atomy vodíku, potom na atomy kyslíku a potom třikrát na molekuly vody, dostaneme uspořádání molekul vody na hodnotu $D = 2000$ m.j.. Pokud vložíme vodu do akumulátoru bioenergetického pole, dojde k uspořádání molekul vody na hodnotu $D = 2000$ m.j.. Těmito způsoby je možné uspořádat molekuly vody mentálním i fyzikálním polem na vysokou úroveň charakterizovanou velikostí D .

Pokud kromě předchozích způsobů uspořádání molekul vody aplikujeme mentální harmonizaci na subčástice elektronů a subčástice atomových jader, dostaneme pravděpodobně nejvyšší možnou uspořádanost molekul vody. Při aplikaci harmonizace na subčástice elektronů (za použití harmonizaci na částice uvedené v předchozím popisu) dosáhneme uspořádanosti $D = 9000$ m.j.. Při aplikaci harmonizace na subčástice atomových jader (za použití harmonizaci na částice uvedené v předchozím popisu) dosáhneme uspořádanosti $D = 10500$ m.j.. Dále bylo ověřeno, že pokud vložíme vodu do akumulátoru bioenergetického pole a obklopíme jej specifickým magnetickým polem, dojde k uspořádání molekul vody na hodnotu $D = 8500$ m.j.. Specifické magnetické pole vznikne stočením plochého magnetického pásku (z pryžového magnetu) do tvaru toroidu. Průměr toroidní cívky je 45 mm a jsou provedeny celkem čtyři závity. Tímto způsobem provedeme uspořádání subčástic elektronů a všech vyšších struktur molekul vody fyzikálním polem. Uspořádání subčástic atomových jader fyzikálním polem zatím není známo.

Mentální sfázování vln subčástic elektronů a jader

Pro účely mentálního sfázování vln subčástic elektronů je možné udělat následujícím způsobem: nejprve aktivovat vodu metodou mentální spektrálně-spinové aktivace. U takto aktivované vody mentálně přečistí interferenční pole subčástic elektronů. Dále v mysli vytvořit mentální požadavek na sfázování vln s tímto interferenčním spektrem a mentálně posílat do subčástic elektronů. Dobu působení lze kontrolovat pomocí kyvadla. Stejný postup je vhodné aplikovat i na subčástice atomových jader molekul vody.

Metodou mentálního sfázování vln subčástic elektronů je možné zvýšit harmonizaci vody výrazným způsobem. V případě mentálního sfázování vln subčástic atomových jader je přínos nižší.

Aktivace vody přenosem z vody referenční

Vodu je možné také aktivovat přenosem bioenergetických vln z vody referenční. K tomu účelu byly navrženy přenosové karty popsané v samostatné kapitole.

Nejjednodušším způsobem aktivování vody je použít referenční aktivovanou vodu a ve svislé ose nad ní umístit neaktivovanou vodu. Tímto způsobem se horní voda asi za 5 minut aktivuje a bude mít shodné vlastnosti s vodou referenční. Obě vody by měly mít přibližně podobný objem. Opačně přenos nepracuje. Důvodem je, že aktivovaná voda má silnější vazby

mezi molekulami ve srovnání s vodou neaktivovanou. Proto silnější vazby molekul neaktivovaná voda nerozloží.

Použijeme-li pro přenos vlnění a aktivování vody dvě přenosové karty (zelenou a modrou), klesá prospěšnost pro zdraví člověka na úrovni fyzického těla na 80%. Pro zvýšení této prospěšnosti je možné zvýšit spektrální šířku přenosu a to přidáním polykrystalické destičky křemíku. Pro aktivovanou vodu pomocí tepelných cyklů je však nutné použít speciální kartu mající přenos s dostatečnou šířkou frekvenčního pásma a to takovou, aby byla přenesena maximální frekvence vln (kapitola Přenosové karty).

Konstrukce a charakteristika akumulátorů bioenergetického pole

Akumulátory bioenergetického pole jsou určeny pro zvýšení energie buněk. Pracují na principu vytvoření prostoru, do něhož bioenergetické vlny budou vstupovat a akumulátor tyto vlny nepropustí stěnami ven. Je třeba vytvořit pro bioenergetické vlny polopropustné stěny uzavřeného prostoru. Přes takové stěny budou vlny procházet dovnitř. Ve vnitřním prostoru budou vlny procházet např. kolem stěn a vracet se středem prostoru. Tím dojde k akumulaci vln. Důležité je, aby došlo ke zřívání vln. Proto je tvar prostoru volen ve tvaru koule, vajíčka nebo i kvádrů a rozměry by měly odpovídat Fibonacciho posloupnosti.

Akumulátory bioenergetického pole je možné vytvořit mnoha různými způsoby. Výsledné bioenergetické pole se bude lišit výslednou hladinou energie. Důležité při konstrukci akumulátoru je zvolit účel, ke kterému budou sloužit a jak bude konstrukce finančně náročná. Pro úpravu vody sloužící lidem k pití je možné mít akumulátor malých rozměrů. Stačí, když do něj umístíme běžnou láhev nebo konvici s vodou. Má-li akumulátor sloužit pro úpravu buněk celého těla, bude mít velké rozměry a konstrukce bude finančně dražší. Významné pro konstrukci akumulátoru je, zda bude vytvořen celý z vrstvených polopropustných stěn, nebo budou stěny tvořeny speciální strukturou magnetického pole. Tato konstrukce je jednoduchá, levná a dobře splňuje požadavky na vytvoření dostatečné úrovně bioenergetického pole.

Byly vytvořeny následující konstrukce akumulátorů:

- **Tvar kvádrů** - Elektromagnetické pole se vytvoří v akumulátoru ve tvaru kvádrů s rozměry podle Fibonacciho posloupnosti (zlatého řezu) s magnety v rozích.
- **Tvar koule** - Elektromagnetické pole se vytvoří v akumulátoru ve tvaru koule pomocí spirálového magnetického pole.
- **Tvar vejce** - Vytvoří se elektromagnetické pole ve tvaru vejce. Jde o obměnu akumulátoru vytvořeného Reichem a stěny akumulátoru jsou z polopropustné vrstvené struktury.
- **Izolovaný prostor** – Jde o elektromagnetické pole v akumulátoru ve tvaru kvádrů s rozměry podle Fibonacciho posloupnosti s magnety v rozích, ale bez vrstvené struktury. V prostoru bude bioenergetické pole, které je izolované od vnějších polí potřebných pro tkáň i předměty.

Akumulátor ve tvaru kvádrů

Bioenergetické pole v kvádrů se vytváří v prostoru o rozměrech 400x250x250 mm, přičemž rozměry odpovídají Fibonacciho posloupnosti, obr. 47. Na horní straně je vrstvená struktura umožňující vstup vnějších vln do kvádrů a zabraňuje výstupu vln horní stranou. Složení vrstvené struktury od středu akumulátoru je následující: Fe plech 0,2 mm, Al folie, TiO₃ tenká

vrstva a vrstva včelího vosku. Tato struktura se opakuje 3x. V rozích nahoře i dole je po dvou magnetech, orientovaných tak, že jižní pól při pohledu shora je orientován po směru hodinových ručiček a magnet je ve směru diagonály. Magnety zabraňují vlnám bioenergetického pole vycházet z prostoru ven nebo do něj vstupovat. Dojde k akumulaci vlnění uvnitř kvádrů. Takto se vytvoří pole jako v Reichově akumulátoru. Maximální hodnota bioenergetického pole je ve výšce 162 mm zdola.

Pokud akumulátor na spodní straně doplníme další vrstvenou strukturou, a to tak, že první vrstva od středu akumulátoru bude z Fe, nebudou vlny spodní stranou odcházet ven a uvnitř akumulátoru získáme přibližně dvounásobnou energii, než v akumulátoru s jednou vrstvenou strukturou.

Při vložení válce se šikmým duhovým spektrem do akumulátoru, zvýšíme energii aktivované vody asi o 30% a získáme aktivovanou vodu s $D = 1900$ m.j., násobek energie $n = 6$. V případě, že chceme ještě harmonizovat subčástice atomových jader i elektronů, je třeba vložit vodu pro aktivaci do prostorové spirály s barvami duhy. Takto aktivovaná voda bude mít $D = 9000$ m.j., násobek energie $n = 10$.



Obr. 47 Zdroj bioenergetického pole v prostoru tvaru kvádrů vlevo. Uprostřed je akumulátor doplněn o prostorovou spirálu s barvami duhy. Vpravo je válec se šikmým duhovým spektrem pro zvýšení energie.

Izolovaný prostor

Prostor izolovaný od vnějších bioenergetických polí je stejný jako akumulátor ve tvaru kvádrů, ale vrstvená struktura na horní straně kvádrů chybí, obr. 47. Tímto uspořádáním se vnější bioenergetické pole nedostává dovnitř a prostor je od těchto polí izolován.

Akumulátor ve tvaru koule

Bioenergetické pole v kulovém prostoru se vytváří v kouli o průměru 190 mm, obr. 48. Na povrchu koule je 8 magnetů ve tvaru prostorové spirály, přičemž se spojí do jednoho bodu na horní a spodní základně. Toto uspořádání nedovolí bioenergetickým polím dostat se dovnitř

koule nebo vycházet z ní ven. Izolace je velmi dobrá. Magnety jsou pólovány v tečné rovině a jižní pól je ve směru hodinových ručiček z pohledu shora. Aby se bioenergie mohla dostat dovnitř a akumulovat se, je třeba použít vrstvenou strukturu stejnou jako v případě kvádrů. Z toho důvodu je na horní straně koule otvor, v níž je kyveta s vodou. Kyveta končí na vnější úrovni magnetů. Nad vrstvenou strukturou je druhá kyveta naplněná vodou, která přivádí bioenergetické pole z vnějšího prostředí. Ve středu koule se umísťuje měřený vzorek vody.



Obr. 48 Zdroj bioenergetického pole v prostoru tvaru koule.



Obr. 49 Zdroj bioenergetického pole v prostoru akumulátoru ve tvaru vejce [21].

Akumulátor ve tvaru vejce

Vejčitý akumulátor je založen na průniku dvou oblastí. Jedná se o střídanou strukturu organický materiál/kov zjištěnou a otestovanou Wilhelmem Reichem a vejčitý tvar hojně zmiňovaný Viktorem Schaubbergerem. Vejce je navrženo podle zlatého řezu [21], jeho centrální podélná osa má 35 centimetrů a z této hodnoty jsou odvozeny všechny ostatní rozměry. Tloušťka vrstvené stěny je cca 2,5 cm, tudíž délka centrální osy vnitřního prostoru je 30 cm. Oblast největší koncentrace energie by měla být 10 cm nad nejspodnějším bodem širší části vejce. Vzorek vody se umísťuje zhruba do této výšky na dřevěný podstavec.

Vliv aktivované vody na zdraví člověka

Vodu je možné aktivovat několika způsoby. Ve spirálovém magnetickém poli dosáhneme harmonizace molekul vody včetně harmonizace subčástic atomů pokud použijeme válec s duhovým spektrem. V akumulátoru dosáhneme zvýšení energie molekul vody a současně i určitého stupně jejich harmonizace. Pomocí cyklů mrazení a tání zvýšíme maximální frekvence vln vody.

Aktivovaná voda v akumulátoru má změněny dva základní parametry, velikost násobku energie ve srovnání a okolí (n), a harmonizaci (uspořádání spinů atomů). Pomocí různých technik je možné zvýšit energii molekul vody a harmonii ponechat na malé úrovni. Naopak, voda může být velmi dobře harmonizovaná, ale s malou energií. Další možnosti je voda s malou energií a bez harmonie nebo voda s vysokou energií i harmonií. Ve šroubovicovém magnetickém poli vznikne voda s $n = 1$ a vysokou harmonií.

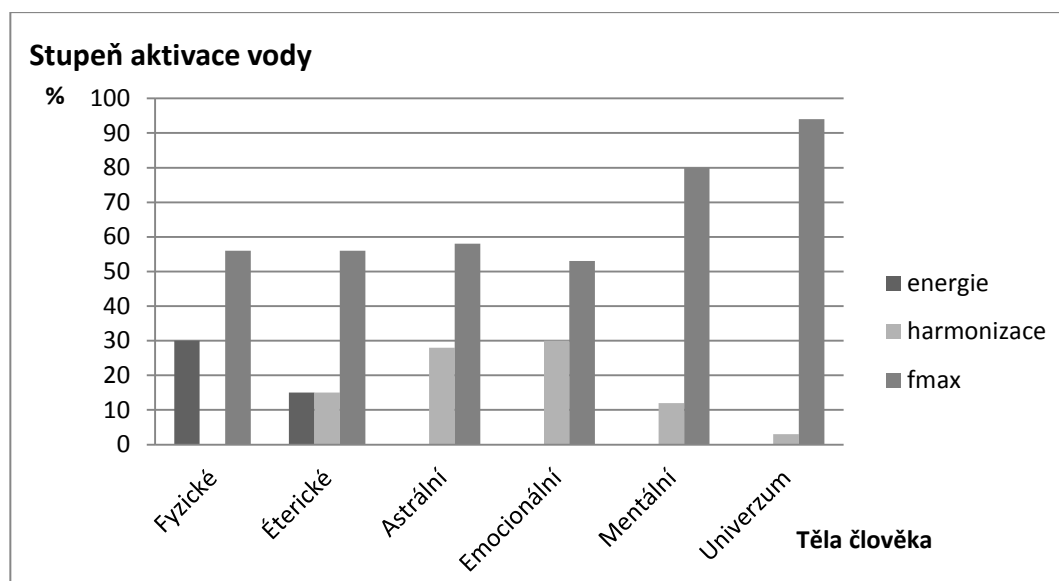
Pro vodu aktivovanou v akumulátoru bez barevného pole je uspořádání vody $D = 1900$ m.j., násobek energie $n = 3,5$. Vhodnost pro člověka na úrovni fyzického těla je 30%. K tomu účelu je nutné do akumulátoru přidat válec o průměru 80 mm a výšky 100 mm se spektrem duhy. Barevné pásy se stáčí do spirály a to tak, že horní hrana je z pohledu shora posunuta o 90° ve směru hodinových ručiček. Uspořádání vody pak je $D = 1900$ m.j., násobek energie $n = 6$. Přidání barevného spektra má významný vliv, protože vhodnost aktivované vody pro člověka na úrovni fyzického těla je 97% a v oblasti univerza je 50%. V akumulátoru se světelným polem získáme vodu s vysokou energií i harmonií. Pravidelné pití aktivované vody zvýší celkovou energii buněk člověka na $n = 3 - 4$. A to je již významné.

Byl zjišťován vliv aktivované vody na zdraví člověka. Stupeň aktivace vody vyjadřujeme v procentech, přičemž 100% je ideální stav. U člověka byly sledovány vlivy na všechna těla člověka včetně jemnohmotných těl. Z hlediska vlivu aktivované vody na člověka byla použita aktivace v akumulátoru se světelným polem, tepelných cyklů a pro ověření vlivu harmonizace byla voda aktivována ve šroubovicovém magnetickém poli. Výsledky jsou uvedeny na obr. 50.

Test ukázal, že zvýšení energie vody je významné pro fyzické tělo 30% a 15% pro éterické tělo. Pro ostatní těla (astrální, emocionální, mentální těla a universum) je prospěšnost pro člověka nulová. Pokud bude mít voda velkou harmonii atomů, její prospěšnost pro fyzické tělo bude nulová, pro éterické tělo bude 15% a pro další těla (astrální, emocionální) přibližně 30%, pro mentální tělo 12% a pro universum nebude prospěšnost významná. Prospěšnost aktivace vody teplotními cykly je významná pro všechna těla člověka.

Z uvedeného vyplývá, že pokud má být aktivovaná voda pro člověka prospěšná, je nutné ji aktivovat v akumulátoru s duhovým světelným polem a následně pak pomocí teplotních cyklů. Doposud se jeví optimální zvýšení energie na $n = 4$. Vyšší energie vody je již zbytečná a nepřináší žádné další výhody. V současné době převážná většina vod je aktivovaná na vyšší energii. Harmonizace atomů se neprovádí. V mnohých případech je voda aktivované

mentálním způsobem, kdy jsou do vody nahrány specifické informace a také je rozšířena maximální frekvence vln.



Obr. 50 Procentuální vliv jednotlivých způsobů aktivace vody na člověka.

Člověka při léčení je možné přímo postavit do akumulátoru bioenergie, místo toho, aby pil aktivovanou vodu. Působení může být účinnější, nebo výhodnější jen na některou oblast fyzického těla. Akumulátor podle původního Reichova návrhu a akumulátor s magnetickým stíněním se jeví z pohledu působení na člověka stejně. Podobně působení bioenergetického pole v pyramidě je stejné, jako v akumulátorech bioenergie. Z hlediska aplikace na pacienta je pravidelné sezení v akumulátoru organizačně složitější. Pravidelné pití aktivované vody je výhodnější.

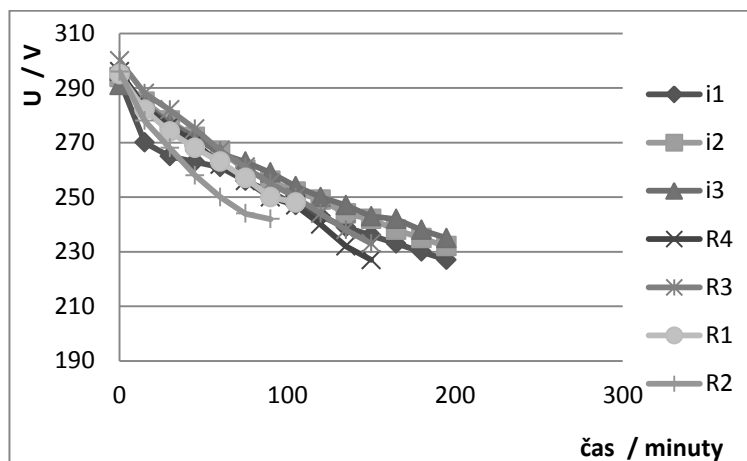
Experimenty s akumulátorem bioenergetického pole

Pro posouzení vlastností akumulátorů bioenergetického pole byly provedeny některé vybrané experimenty. V mnohých případech byly vlastnosti akumulátorů posuzovány podle vlastností vody, která prošla úpravou v akumulátoru.

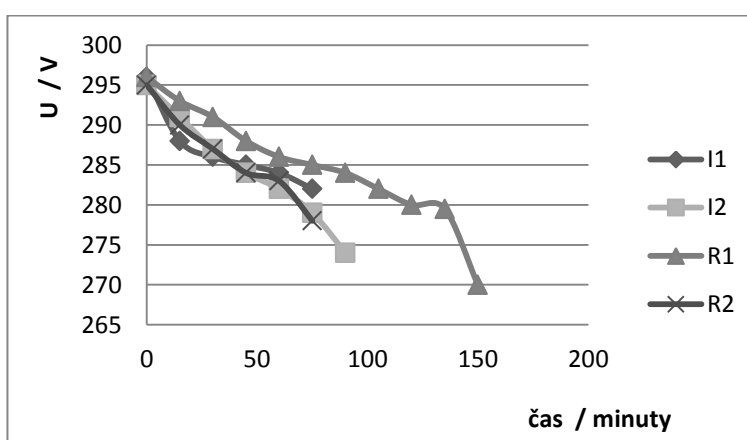
Vybíjení kondenzátoru v akumulátoru

Akumulátor ve tvaru kvádrů sloužil jako zdroj pole a byly prováděny vybrané experimenty s cílem zjistit nějaké změny parametrů nebo vlastností různých elektronických součástek a obvodů nebo materiálů. Pro porovnání účinnosti akumulátoru byl vytvořen prostor izolovaný od vnějších bioenergetických polí. Je stejný jako akumulátor ve tvaru kvádrů, ale vrstvená struktura na horní straně kvádrů chybí. Tímto uspořádáním se vnější bioenergetické pole nedostává dovnitř a prostor je od těchto polí izolován.

Cílem tohoto experimentu bylo zjistit, zda v akumulátoru dochází k rychlejšímu nebo pomalejšímu vybíjení kondenzátoru. To by znamenalo koncentrování nebo úbytek nábojů v akumulátoru způsobených akumulací bioenergie.



Obr. 51 Vybíjení kondenzátoru v uzavřeném akumulátoru.



Obr. 52 Vybíjení kondenzátoru v otevřeném akumulátoru.

Pro experiment byl vytvořen kondenzátor, přičemž jedna elektroda byla kádinka s deionizovanou vodou a druhou elektrodou byla Cu deska o rozměrech 100x100 mm. Elektrostatickým voltmetrem METRA bylo měřeno vybíjení kondenzátoru z počátečního stavu -300 V. Dále bylo posuzováno vybíjení kondenzátoru v kvádrovém akumulátoru (R1, R2, R3 a R4) a v izolovaném prostoru (i1, i2, i3). Protože vybíjení může být způsobeno volnými ionty, bylo provedeno dvojí měření. První měření proběhlo v akumulátoru uzavřeném, ve kterém se koncentrace iontů sníží na minimum a v prostoru se nenachází žádný zdroj iontů. Druhé měření probíhalo v akumulátoru z jedné strany otevřeném. Vzdušné ionty z místnosti se mohou dostat dovnitř a mohou způsobit pokles napětí na kondenzátoru. Výsledky měření jsou uvedeny na obr. 51 a obr. 52.

Z měření vyplývá, že pokles napětí na kondenzátoru klesá stejnou rychlostí jak v akumulátoru, tak i v izolovaném prostoru. Vyplývá z toho, že vybíjení je způsobeno svodem kondenzátoru a nepřispívají k němu vzdušné ionty v okolním prostoru. Pokles napětí je stejný v uzavřeném i otevřeném prostoru.

Vliv šroubovicového gradientního magnetického pole na iontovou vodivost vody

Experimentálně bylo zjištěno, že vložením vzorku zásadně chemicky a fyzikálně neupravované v kapalném stavu do navrženého speciálního šroubovicového „gradientního“

magnetického pole, dojde ke změně dynamické struktury uspořádání molekul vody ve sledovaném vzorku. Magnetické pole vykazuje vysoký stupeň nehomogenity, tzv. gradient ve sledované části prostoru. Z měření na takto upraveném vzorku vyplývá, že došlo ke změně iontové vodivosti vody. Vzorek změněné, nově přeuspořádané struktury vody má menší měrnou iontovou vodivost ve srovnání s originálním stavem vzorku vody

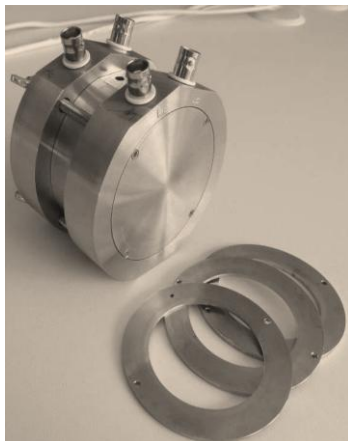
Tento stav si lze vysvětlit tak, že molekula vody z mikroskopického pohledu je elektrickým dipólem a ve svém blízkém okolí vykazuje elektrický moment. Potom z mikroskopického pohledu na seskupení molekul vody se při změně dynamického uspořádání vazeb změni v makroskopickém pohledu jejich parametr - elektrická vodivost. Magnetickým polem upravený dynamický systém vzorku vody vytvoří strukturu, vykazující specifické rozložení elektrického a magnetického pole. Takto vzniklé dynamické přeuspořádání systému fyzikálních vazeb a rozložení okamžitých pozic elementárních složek vody charakterizuje makroskopické fyzikální a chemické vlastnosti vody. Za normální teploty (20°-25°C) a tlaku (1010 kPa) se molekuly vody pohybují zdánlivě náhodně v různých směrech zvoleného souřadnicového systému. Podle zákonů popsaných elektrodynamikou má tento pohyb vysokou míru neuspořádanosti a dynamická seskupení (klastry) nevytváří. Vnější magnetické pole, v tomto případě spirálové gradientní magnetické pole, ovlivňuje pohyb elektricky nabitých částic (složek atomů molekuly vody) a ovlivňuje jejich základní dynamické uspořádání do elektrického dipólu. Vhodným rozložením magnetického pole dochází k seskupení molekul vody do dynamických podsystémů (klastřů). Iontová vodivost takto změněného vzorku vody případně složek její struktury může být menší z makroskopického pohledu a může být zajímavý parametr, charakterizující vlastnosti testovaného vzorku.

Pro měření elektrických parametrů vody byly připraveny dva vzorky vody (každý vzorek vody byl ve dvou PE nádobkách). Jeden vzorek (referenční) obsahoval vodu bez úpravy magnetickým polem. Druhý vzorek (modifikovaný) prošel úpravou v magnetickém poli. Pro experiment byla použita demineralizovaná voda vyrobená zařízením AQUA OSMOTIC 02. V tomto zařízení je využita mechanická filtrace, filtrace přes uhlíkový filtr, demineralizace pomocí reverzní osmózy a dočištění pomocí iontoměníčů (směs anexu a katexu). Dosahovaná vodivost vody na výstupu zařízení je 0,1 mS/cm. PE nádobky (250 ml) byly nejprve 5x vymyty demineralizovanou vodou odebranou ze zásobníku demineralizované vody (25 l) a potom pro měření byly naplněny čtyři PE nádobky demineralizovanou vodou a uzavřeny.

Jeden vzorek vody ve dvou uzavřených PE nádobkách byl umístěn do středu šroubovicového „gradientního“ magnetického pole (podle popisu výše) po dobu 5 minut. Druhý referenční vzorek vody (ve dvou PE nádobkách) byl umístěn ve vzdálenosti 4 m od šroubovicového magnetu v klimatizované laboratoři v teplotě 24,7°C. Po úpravě vody bylo dbáno na to, aby všechny vzorky nebyly ovlivněny magnetickým polem a silným třepáním. Oba tyto způsoby by mohly ovlivnit dynamické uspořádání molekul vody.

Měření vodivosti vody v kapalném stavu byly použity dvě metody. První a druhé měření bylo provedeno automatizovaným měřením C a $tg\delta$ ve dvou, konstrukčně odlišných tříelektrokových systémech v laboratořích FEKT VUT v Brně s využitím analyzátoru AGILENT 4284A. Třetí měření bylo provedeno metodou elektrochemické impedanční spektroskopie a potenciostatu. Před každým měřením bylo důležité najít vhodnou metodu čištění elektrodoých systémů tak, aby měření kapalných vzorků byla co nejméně zatížena znečištěním z předchozích měření. U obou tříelektrodoých systémů bylo čištění provedeno trojitým propláchnutím měřicího systému demineralizovanou vodou.

Pro měření vodivosti vody byl použit tříelektrodový systém (konstrukční řešení systému vychází z tříelektrodového systému Agilent), určený pro měření kapalných elektrolytů. Tříelektrodový systém tvoří kondenzátor (Obr. 53). Rozměry elektrodového systému jsou 90 x 90 x 55 mm, průměr měřicí elektrody 38 mm, velikost mezery v elektrodového systému je 1,94 mm. Dielektrikum tvoří vzduch nebo měřený vzorek vody.



Obr. 53 Tříelektrodový systém.

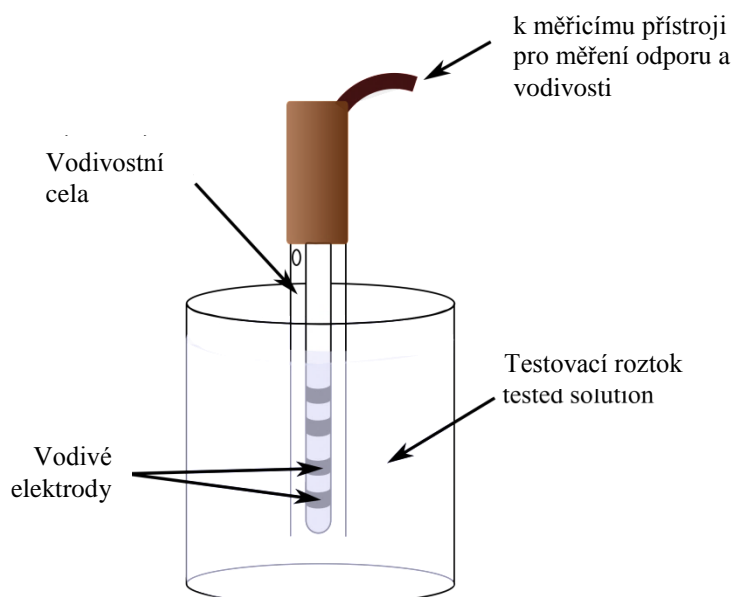
Byla měřena kapacita C a ztrátový úhel $\text{tg}\delta$ ve zvoleném rozsahu kmitočtů pro vodu a C_0 a $\text{tg}\delta$ pro vzduchové dielektrikum. Ze změřených dat byla vypočtena reálná a imaginární část komplexní permitivity vody.

Měření s tříelektrodovým systémem byla provedena 10x pro referenční a 10x pro modifikovanou vodu. Elektrodotový systém byl naplněn zvolenou vodou a po trojitém vypláchnutí systému byla automaticky změřena data ve frekvenčním rozsahu 20 Hz až 2 MHz.

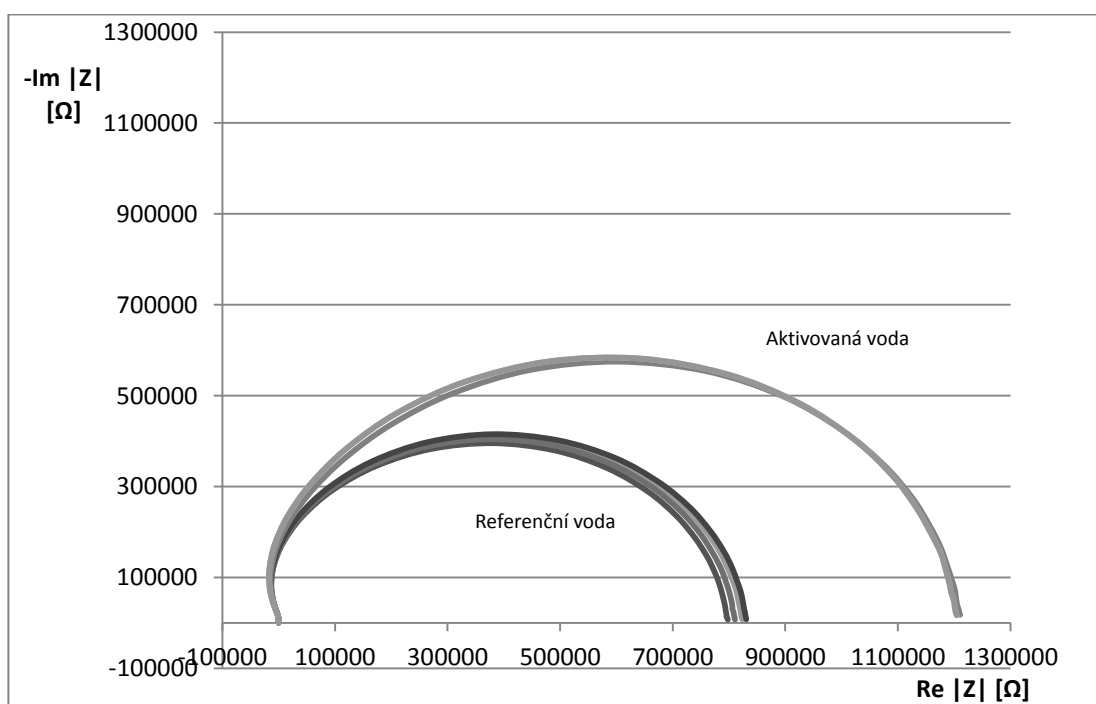
Druhou metodou je metoda elektrochemické impedanční spektroskopie s potenciostatem. Potenciostat zajišťuje oddělení měřeného kapalného vzorku od napěťových vstupních signálů tak, aby měření napětí probíhalo s minimálním ovlivněním vzorku. Pro měření vodivosti vody byla použita 4-elektrodová vodivostní cela ZU 6985 (obr. 54). Základem je skleněná trubice opatřená čtyřmi platinovými elektrodami a teplotním čidlem Pt1000 (-20+100°C). Měřicí rozsah je 1 μS ...1000 mS/cm, konstanta cely je 1,19 cm^{-1} +/-1%, teplotní rozsah -20,0 až +100°C. Vodivostní cela je připojena k potenciostatu od firmy Biologic typu VMP 3. Pro měření byl nastaven frekvenční rozsah 500 kHz až 1 Hz s napětím $U_{\text{P-P}}$ 500 mV ($U_{\text{P-P}}$ napětí špička-špička). Potenciostat měl rozlišení 100 μV .

Měření metodou elektrochemické impedanční spektroskopie a potenciostatem proběhlo 10x pro referenční a 10x pro modifikovanou vodu ve frekvenčním rozsahu 1 Hz – 500 kHz. Po změření impedančního spektra referenční vody byla sonda vytažena, mechanicky pomocí odstředivé síly odstraněny zbytky vody a měřeno impedanční spektrum aktivované vody. Tento postup byl 10x opakován. Výsledky měření impedančních spekter aktivované i referenční vody jsou uvedeny na obr. 55. Výsledek impedanční analýzy měřených dat a podmínky měření jsou uvedeny v Tab. 5 a Tab. 6.

Vzhledem k tomu, že měření byla prováděna se značným časovým odstupem a s odlišnými vodivostmi vody, bylo možné porovnat výsledky všech tří měření jen poměrem vodivosti referenční a aktivované vody pro každé měření. Porovnání výsledků a podmínky měření jsou uvedeny v Tab. 18 a Tab. 19. Ve všech třech případech došlo vlivem speciálního magnetického pole ke snížení vodivosti vody v průměru o 59%. Tato změna může být způsobena změnou uspořádání a změnou elektromagnetického pole v okolí molekul vody. Ionty, způsobující vodivost vody mohou být pevněji vázány na klastrovou strukturu molekul.



Obr. 54 Elektrodotová vodivostní cela ZU 6985.



Obr. 55 Impedanční spektrum referenční a aktivované vody.

Tab. 18 Porovnání poměru vodivosti referenční a modifikované vody.

	Poměr vodivosti referenční a modifikované vody
Měření 1	1.7538
Měření 2	1.5373
Měření impedance	1.4698
Průměrná změna vodivosti	1.59

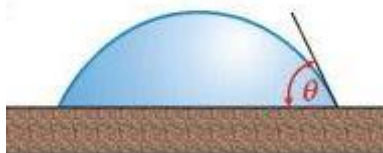
Tab. 19 Podmínky měření pomocí impedanční spektroskopie.

	Datum	Čas [hod]	Teplota okolí [°C]	Tlak [hPa]	Vlhkost [%]	Nadmořská výška [m]	AC napětí [V]	Frekvenční rozsah [Hz]
Měření 1	18. 12. 2012	9 - 12	24.7	1022.9	25	320	0.5	20 – 2.10 ⁶
Měření 2	29. 7. 2014	10 - 13	24.7	1025.9	24	320	0.5	100 – 1.10 ⁵
Měření impedance	25. 9. 2014	9 - 12	24.5	1030.8	26	320	0.5	1 – 5.10 ⁵

Experimentální výsledky ukazují, že vložení demineralizované vody v kapalném stavu po dobu větší než 5 min do spirálového „gradientního“ magnetického pole dochází ke snížení iontové vodivosti vody. Změna vodivosti vody (v průměru o 59 %) je pravděpodobně způsobena změnou uspořádání molekul vody a změnou elektromagnetického pole v jejich okolí. Ionty, způsobující vodivost vody mohou být pevněji vázány na klastrovou strukturu molekul. Změna jiných fyzikálních, mechanických a chemických parametrů vody nebyla pozorována.

Změna smáčecího úhlu vody

Měření smáčecího úhlu θ kontrolní a modifikované vody bylo provedeno kapkovou metodou. Na očištěnou skleněnou podložku se kápne definovaný objem vody, kapka vody se ze strany vyfotografuje a z fotografie se stanoví sklápěcí úhel, viz. obr 56.



Obr. 56 Definice smáčecího úhlu vody.

Podmínky měření:

- Deionizovaná voda – kontrolní a modifikovaná
- Objem vodní kapky – 1 μ l
- Podložka – sodíkové sklo tloušťky 1 mm
- Doba mezi vytvořením kapky a snímáním obrazu byla konstantní – 25 s
- Snímací kamera se záznamem
- Vyhodnocení smáčecího úhlu z obrazu

Postup měření:

- Připravit dva vzorky vody a jeden z nich modifikovat aktivací vody
- Před každým měřením vyčistit podložní sklo isopropylalkoholem
- Mikropipetou nabrat odměřené množství vody a vytvořit kapku na skle
- Za definovanou dobu snímat obraz vodní kapky
- Bylo měřeno 10 vzorků kontrolní a 10 vzorků modifikované vody

- Byly vyhodnoceny smáčecí úhly na levé a pravé straně kapky a stanoveny průměrné hodnoty a směrodatná odchylka
- Vyhodnocení provedli dva operátoři a byla vypočtena průměrně hodnota

Tab. 20 Výsledky měření smáčecího úhlu.

	Smáčecí úhel θ / směrodatná odchylka
Modifikovaná voda	25,37° / 2,6
Kontrolní voda	29,36° / 3,85
Rozdíl	3,89°

Výsledky měření jsou uvedeny v Tab. 20. Aktivovaná voda má smáčecí úhel o 3,89° menší, než voda kontrolní. Druhé opakované měření ukázalo u aktivované vody menší sklápěcí úhel o 0,6°. Charakter menšího sklápěcího úhlu u aktivované vody byl stejný v obou měřeních, ale přesnost měření není dostatečně vysoká.

Porovnání vlastností upravených a aktivovaných vod

Cílem testování je zjistit a porovnat vlastnosti vody, nacházející se v bioenergetických polích, vytvořených v akumulátorech různých tvarů. Testování bude provedeno pomocí kyvadla a přístrojem LM4 Experimental Life Energy Meter (od firmy Heliognosis, Kanada, <https://www.heliognosis.com/rd02.html>) [21].

Byly vytvořeny následující konstrukce akumulátorů: tvar vejce, tvar koule, tvar kvádrů, izolovaný prostor a bez pole. Testování bude provedeno pomocí kyvadla a přístrojem. Jako reference bude použita voda v přirozeném prostředí (bez pole). Zjišťované parametry budou následující:

- Velikost energie podle průměru kroužení kompenzovaného kyvadla.
- Velikost energie měřená přístrojem firmy Heliognosis.
- Uspořádanost spinů podle velikosti D .
- Násobek zvýšení úrovně mezonů stanovená kyvadlem.
- Frekvenční šíře pásma vln daných vlastností.

Testovacími vzorky bylo použito přesné množství deionizované vody (ÚPT AVČR) v uzavřených ampulkách.

Ze zpracování výsledků by mělo vyplynout, zda vytvořené elektromagnetické pole zvýší energii molekul vody a uspořádanost spinů atomů ve vodě. Také bude zjištěno, zda izolace od vnějších polí sníží energii molekul vody. To je významné, protože by ukazovalo na to, že známá elektromagnetická pole s různými frekvencemi v uzavřeném prostoru nemají sníženou energii. Potlačení vlnění vod však závisí na frekvenci a materiálech použitých na vytvoření izolovaného prostoru. Ale na molekuly vody působí vlnění vyšších kmitočtů nebo jiné struktury. Zajímavé bude i porovnání frekvenční šíře pásma vln uvnitř vytvořených prostorů.

Naměřené výsledky porovnání vlastností vody, nacházející se v polích vytvořených akumulátory různých typů, jsou uvedeny v Tab. 21. Prostor ve tvaru vajíčka zvyšuje energii o 2% při umístění vzorku vody po dobu 10 minut. Testování kyvadlem ukazuje, že násobek charakterizující zvýšení energie nebo úrovně mezonů v okolí vzorku je 1,6. Současně dojde k mírnému zvýšení uspořádanosti spinů, což je vidět na hodnotě elektrické indukce molekul vody (v měrných jednotkách). D je 400. Po vytažení vody z prostoru vajíčka dochází k mírnému snížení násobku mezonů na hodnotu 1,1 za půl hodiny.

Tab. 21 Naměřené výsledky porovnání vlastností vody, nacházející se v různých polí vytvořených podle Reicha.

	LM4	LM4	D	Mezony	Průměr kyvu	f_{\max}
	citlivost	%	m.j.	násobek	mm	$10^x/\text{Hz}$
Reference	1000	0	13	1	18	35
Vejce	1000	2	400	1,6	96	18
Reference	100	0	20	1	18	34
Vejce	100	2	330	1,4	120	18
	1000	6	330	1,4	120	18
Reference	1000	0	14	1	18	35
Koule	1000	10	1900	15	250	34
Koule	1000		1900	23	400	34
Koule + Ni/TiO ₂			1900	48	400	34
Reference	1000	0	14	1	18	35
Kvadr	1000	2	1800	1,4	90	35
Kvadr s duhovým polem			1900	6		35
Kvadr s duhovou spirálou			9000	10		35
Izolace	1000	-4	1	0,01	2	35

V kulovém prostoru (doba působení na vodu byla 5 min) se zvýší hodnota energie vody o 10%, ale za 5 minut klesne na 4%. V druhém měření byl pokles až na úroveň -4%. Uspořádanost spinů však byla $D = 1900$ m.j. a násobek mezonů byl 23. V případě, že se použije polopropustná vrstva Ni a TiO₂ v tloušťkách 48 nm, bude $D = 1900$ m.j. a násobek mezonů 48.

Umístěním vzorku vody do prostoru ve formě kvádru dojde ke zvýšení energie o 2%, ale za 3 min energie klesne na úroveň -12%. Uspořádanost spinů byla $D = 1800$ m.j. a násobek byl 1,4. Přidáním válce se šikmým světelným duhovým polem se zvýší násobek mezonů na 6, přičemž uspořádanost zůstává. Použitím prostorové spirály se světelným duhovým polem se násobek mezonů zvýší na hodnotu 10 a $D = 9000$ m.j.

V prostoru izolovaném pro bioenergií se energie za 5 min sníží na -4%. Uspořádanost spinů byla $D = 1$ m.j. a násobek mezonů byl 0,01. Dochází tedy ke snížení energie.

Měření ukázalo, že testované prostory vytvořené podle myšlenek Reicha a s modifikací podle autorů zvyšují energii molekul vody. Problémem však je její měření. Použitý přístroj má menší citlivost a co je podstatné, výsledky jsou ovlivněny přítomností operátora a pravděpodobně elektrickým polem v jeho okolí. Dalším problémem je uvést měřený vzorek do původního stavu tak, aby měl stejné vlastnosti jako reference a mohl být použit pro další měření. Proto byla rozbita struktura obou vzorků (měření i reference) ovlivněny ultrazvukem po dobu 1 min pro a po tom ponechány min, 10 min v klidu pro ustálení teploty a vnitřní struktury.

Kulový prostor výrazně zvyšuje energii i uspořádanost spinů, ale problémem bylo, že po vytažení vzorku z prostoru energie rychle klesá. Podobně tomu je i u kvádru. Další optimalizací bylo zjištěno, že pokud vrstvené okno na přísun energie z venkovního prostoru má následující strukturu, nerez 0,3 mm, Al 0,01 mm, kysličník titaničitý v tenké vrstvě a včelí vosk 0,5 mm,

nedochází po ovlivnění vzorku vody k poklesu energie. Je to způsobeno pravděpodobně přídavnou rezonanční frekvencí danou Al folií. V případě měření nebyla použita Al folie. Podobnou vlastnost mají také tři krystaly turmalínu umístěné ve výšce 1,68 x výška kvádrů (nebo koule) symetricky kolem měřeného vzorku vody.

Testování vody aktivované pomocí titanové pyramidy

Pro testování bylo připraveno šest druhů vod. Dva vzorky byly testovací. Jeden vzorek byl městská voda a druhý voda osmotická. Další dva vzorky upravené pomocí titanové pyramidy byly s neaktivovanou a aktivovanou městskou vodou. Dva vzorky obsahovaly osmotickou vodu neaktivovanou a aktivovanou pomocí titanové pyramidy. Přehledně jsou testované typy vod uvedeny v Tab. 22.

Tab. 22 Typy testovaných vzorků vod aktivovaných titanovou pyramidou.

Voda č.	
1	městská voda, titanová pyramida, neaktivované
2	osmotická voda, titanová pyramida, neaktivované
3	městská voda, titanová pyramida, aktivované
4	osmotická voda, titanová pyramida, aktivované
5	městská voda
6	osmotická voda

Všechny testované vzorky byly připraveny a na velkou vzdálenost testovány pomocí kyvadla. Zjišťovány byly uspořádanost spinů (D), násobek úrovně mezonů charakterizující energii vody, maximální frekvence vlnění vody a také vhodnost vody pro člověka. Výsledky testování jsou uvedeny v Tab. 23.

Tab. 23 Naměřené výsledky porovnání vlastností vody aktivované titanovou pyramidou.

Voda č.	D	Násobek mezonů	f_{\max}	Vhodnost pro člověka
	m.j.		$10^x / \text{Hz}$	%
1	100	2	18	50
2	110	2	18	50
3	200	2,2	18	80
4	200	2,3	18	80
5	15	1	30	10
6	19	1	18	10

Testování ukazuje, že rozdíl mezi městskou a osmotickou vodou z hlediska úpravy je nepatrný. Ve srovnání s neupravenou vodou je aktivovaná voda lepší z hlediska uspořádanosti spinů a vhodnosti pro člověka. Aktivace vody způsobuje výhodnější uspořádání spinů, má větší energii a pro zdraví člověka je příznivější. Aktivace může mít významnější vliv na některou z funkcí orgánů nebo těla. Aktivovaná voda se blíží vodě upravované v „Reichově akumulátoru“.

Vlastnosti různých aktivovaných vod

Pro porovnání byly stanoveny vlastnosti různě aktivovaných vod, které lidé používají k léčení. Výsledky jsou souhrnně uvedeny v Tab. 24. Úpravami se mírně zvýší energie vod, ale většinou se zúží frekvenční šířka pásma a tyto vody jsou aktivované a upravené jen v uvedeném frekvenčním pásmu. Důsledkem úprav je, že upravené vody mohou pozitivně ovlivňovat fyzické tělo a některé z vyšších těl člověka. V nejvyšších tělech nepůsobí lépe, než běžná vodovodní voda.

Tab. 24 Naměřené výsledky porovnání vlastností některých vybraných vod doporučených pro lidi.

Druh vody	D / m.j.	Násobky mezonů	f_{\max} $10^{\wedge x}$ /Hz	Vhodnost pro člověka /%
destilovaná (deionizovaná) voda	13	1	33	1
vodovodní voda (Brno)	12	1	35	25
π voda	83	1,3	21	60
lurdská voda	95	2	35	71
diamantová voda	65	1,5	12	58
voda se šungitem	55	1,6	24	48
voda Grander	300	3	26	80
vodíková voda	450	5.5	26	78
elektronová voda	6000	2.5	38	90

Elektronová voda je voda s mentálně sfázovanými subčásticemi elektronů a s nepatrně zvýšenou energií.

Mentální spektrálně spinové působení na hmotu

Jednou z vlastností buněk je jejich harmonizace. Jedná se o orientaci spinů atomů v živých buňkách. Zdravé živé buňky by měly mít stejnou prostorovou orientaci a také další fyzikální vlastnosti, kterými jsou rotace vln a náboj buňky. Z mnoha důvodů, jako například vnitřní stres v organizmu, vnější elektromagnetické pole, uspořádání a materiálové složení našeho okolí a také vlivem mnoha jiných faktorů dochází ke změně prostorové orientace některých spinů atomů. Tím dojde k disharmonizaci skupiny elektromagnetických vln buňky, snížení vitální energie a zhoršené funkci buněk a v důsledku toho pak ke zhoršení funkcí orgánů těla.

Mentálně i fyzikálně není jednoduché ovlivnit prostorovou orientaci spinů (rotaci) atomů v anorganické látce zvláště pak buňce. Bude-li směr momentu síly (kterým má být dosaženo otočení spinu atomu) kolmý na osu rotace atomů, dojde k precesi spinů kolem osy kolmé na rovinu tvořenou osou spinu atomu a momentem síly.

Tuto situaci je možné ukázat na následujícím experimentu. Jaký pohyb bude vykonávat rotující kolo, uchycené za hřídel? Bude-li kolo v klidu, stačí na jeho sklopení (sklopení hřídele) velmi malá síla (sleduje se ukazatelem - moment síly). V případě, že se kolo roztočí kolem hřídele konstantní rychlostí, při působení síly na hřídel a to tak, aby došlo ke sklopení rotujícího kola vzhledem k zemskému povrchu, bude kolo vykonávat precesní pohyb v ose kolmé na rovinu tvořící osu rotace kola a momentu síly. Pokud bude moment síly velmi malý, je možné rotující kolo pomalu sklopit do žádaného směru. Tento efekt je využíván v gyroskopech [14], gyrátorech atd., [20]. Podobného principu také využívá jaderná magnetická rezonance pro pohyb spinů atomových jader [15].

Magnetická rezonance je založena na principu sjednocení spinů atomových jader do jednoho směru. Tímto způsobem se sečtou velikosti magnetických polí atomových jader a ve snímací cívice je možné naindukovat dostatečně velký a měřitelný signál. Magnetická rezonance tedy manipuluje s orientací spinů atomových jader. Pro otáčení spinů o 180° jsou s výhodou používány tzv. adiabatické impulzy [16], [17], [18].

Adiabatické impulzy jsou třídou amplitudově a frekvenčně modulovaných radiofrekvenčních (RF) impulzů, které jsou relativně necitlivé k B_1 nehomogenitě (B_1 je v excitacní magnetické pole) a frekvenčním ofsetovým účinkům [5]. Využívají adiabatického principu, při kterém je s magnetizací M (M je makroskopický vektor magnetizace jader atomů) manipulováno pomalým průchodem pole B_1 přes rezonanci. S adiabatickými impulzy jaderné spiny mající různé rezonanční frekvence jsou invertovány nebo je s nimi v různých časech manipulováno. Tím se liší od klasického amplitudově modulovaného pravoúhlého RF-impulzu, při kterém jsou všechny jaderné spiny ovlivněny současně.

Adiabatická podmínka je formálně vyjádřena vztahem $|d\theta/dt| \ll \gamma |B_{\text{eff}}|$, kde $\theta = \{\arctan B_1(t) / B_z(t)\}$ je úhel tvořený B_{eff} s y'-z' rovinou. Tuto podmínku lze vyjádřit adiabatickým faktorem η definovaným $\eta = \gamma |B_{\text{eff}}| / |d\theta/dt|$. Pro splnění adiabatické podmínky musí být η podstatně větší než jedna. Při splnění této podmínky bude magnetizace M , která je zpočátku kolineární s B_{eff} , zůstává kolineární s B_{eff} . Navíc magnetizace, která je zpočátku kolmá k B_{eff} bude precesovat kolem B_{eff} v rovině kolmé k B_{eff} v průběhu aplikace impulsu.

Za předpokladu, že pole B_1 je dostatečně silné a aplikované značně pomalu (adiabatické podmínky) magnetizace M budou postupně následovat B_{eff} během B_1 frekvenčního rozmítání. Toto je známé jako adiabatický přechod (přenos). Pro názornost je adiabatický přechod pěkně názorně popsán v literatuře [16], [17], [18]. Reakce systému na časově závislou perturbaci (nečekanou odchylku) závisí na časovém měřítku perturbace. Například, ideální kyvadlo, bez tření nebo bez odporu vzduchu, oscilující tam a zpět ve vertikální rovině. Při „rychlém“ pohybu opory, bude pohyb kyvadla chaotický. Na druhé straně, při „postupném a pomalém“ pohybu opory bude kyvadlo i nadále oscilovat hladce (ve stejné rovině) a se stejnou amplitudou.

Pro dosažení **harmonizace buněk v těle**, je možné použít Spektrálně spinovou terapii [7]. Ta spočívá například v mentálním ovlivnění spinů atomů a sjednocení jejich orientace v prostoru. Postup je následující:

1. Na počátku je potřeba stanovit úroveň funkce vybraných částí těl (platí pro všechna těla člověka) v procentech (100% je správná funkce) v celém těle, nebo ve vybraných částech nebo orgánech. Harmonizace je možné provádět samostatně na vybraných částech fyzického těla nebo i na dalších tělech člověka. V případě vody je harmonizace prováděna na molekulách vody a jejich jemnějších částech, jako jsou atomy, atomová jádra, elektrony, subčástice jader a elektronů.
2. V případě snížené funkce vybraného těla (oblasti) je následující krok směřován k přečtení frekvenčního spektra všech atomů (molekul nebo celého orgánu) ve všech spektrálních oblastech.
3. Potom je nutné posunout přečtená spektra o definovaný kladný fázový úhel Φ (obvykle $+15^\circ$, ale i 100°).
4. Takové spektrum se aplikuje ve formě širokospektrální elektromagnetické vlny a vyše se mentálně zpět tak, že se postupně a spojitě mění fáze vln z kladné na zápornou fázi (obvykle z $+\Phi$ na $-\Phi$) v každé frekvenci spektra a to při nepřekročení limitu rychlosti fázové změny ($-2,6^\circ/\text{s}$).

Tímto postupem se pomalu mění frekvence aplikovaných vln v okolí rezonančního pásma spinů atomů a tím lze dosáhnout pomalého otáčení spinů atomů tak, aby na konci působení měly stejnou orientaci. Atomy pak budou harmonizovány.

Mentální ovlivnění spinů atomů je možné také provádět elektromagnetickou vlnou se známým spektrem ve všech spektrálních oblastech s pomalým rozmítáním frekvencí celého

spektra ve zvoleném rozsahu. V tomto případě se mění body 3 a 4 předchozího postupu na následující postup:

3. Posunutí přečtené elektromagnetické vlny a frekvencí spektra o definovanou kladnou změnu frekvencí o zvolenou velikost (obvykle +0,3%).
4. Takovou nově získanou elektromagnetickou vlnu se spektrem je vhodné mentálně posílat jako zpětnou vlnu tak, že se postupně a spojitě mění frekvenční posun EMG vlny celého spektra na záporný (obvykle z hodnoty +0,3% na -0,3%) při nepřekročení limitu rychlosti frekvenční změny (~0,004 %/s).

Tento příklad mentálního postupu je totožný s ovlivněním spinů atomů v těle pomocí fázové změny elektromagnetické vlny známého spektra.

Změna fáze spekter elektromagnetické vlny pro vzorky vody musí být symetrická (od +15° do -15°). Při jakékoliv nesymetrii nedochází k úplnému uspořádání spinů. Je to zřejmé z Tab. 25. Také změna fáze ze záporných do kladných hodnot je nevhodná. Spiny atomů přejdou do většího stochastického až v extrému chaotického pohybu a uspořádanost se zhorší. Při zmenšování rozsahu fázových změn dojde k uspořádání menšího počtu molekul vody. Rozsah fázových změn by měl být větší než ±10°. Limit rychlosti fázové změny je -2,6 °/s.

Tab. 25 Velikost elektrické indukce D , doby mentálního působení t a poloměru R otáčení testovacího kyvadla pro různé rozsahy aplikovaných fázových změn pro deionizovanou vodu.

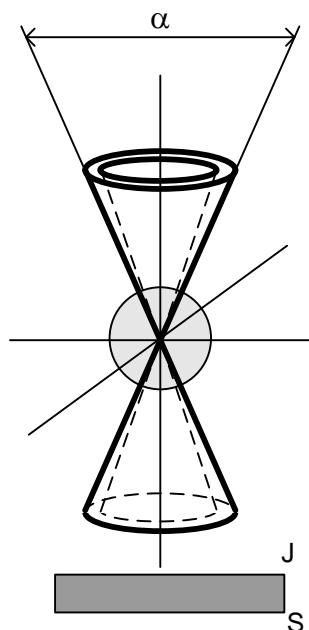
Změna fáze od °	Změna fáze do °	t s	D m.j.	R mm
+15	-15		660	300
+15	0		230	160
0	-15		240	190
+20	-10		470	230
+10	-20		460	220
-30	+30	165	0,05	-
-15	+15	75	0,2	-
+1	-1	22	180	110
+5	-5	35	630	270
+10	-10	55	660	330
+15	-15	75	660	330
+20	-20	115	660	330
+30	-30	165	660	360

Vzorek uspořádané vody jako hmoty má význam pro vytvoření silnějších elektromagnetických polí v makroskopickém měřítku uvnitř i vně vzorku především pro účely jejich měření nebo detekce. Kromě toho může mít dobrý vliv na činnost buněk a orgánů v těle. V lidském těle je možné vnímat šest „těl“, rozlišujících se podle frekvenčních spekter. Od nejnižších frekvencí je tělo fyzické. Pak následuje éterické a astrální tělo. Frekvenčně výše je pak emocionální, mentální tělo a univerzum. Podrobnější popis rozdělení těl člověka naleznete v samostatné kapitole. Spektrálně spinová terapie má zajímavý a velmi příznivý vliv na zklidnění především mentálního těla člověka.

Vliv magnetického pole na uspořádanost klastrové struktury

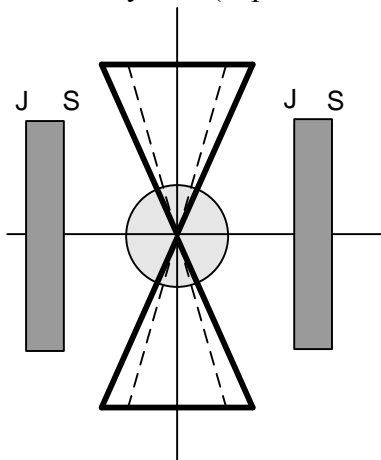
V přítomnosti magnetického pole dochází ke změně chování spinů jader ^1H , k změně konfigurace elektromagnetického pole v okolí a uvnitř klastrů vody a průběh D se mění. Tvar

kuželů D závisí na uspořádání vnějšího magnetického pole. V případě že permanentní magnet (s indukcí 20 mT ve středu na jeho povrchu) je umístěn ve svislé ose a obě osy vody i magnetu jsou paralelní, vytvoří se dutý dvojitý kužel D a úhel α se zvětší, obr. 57. Na polaritě nezáleží, mění se tím jen směr D . Pro J-pól magnetu směrem vzhůru, rotuje D proti směru hodinových ručiček a pro S-pól magnetu směřující vzhůru rotuje D ve směru pohybu hodinových ručiček. Důležité je, že kyvadlo na dvojitý kužel reaguje velmi malou výchylkou a tento stav je charakterizován malou energií.



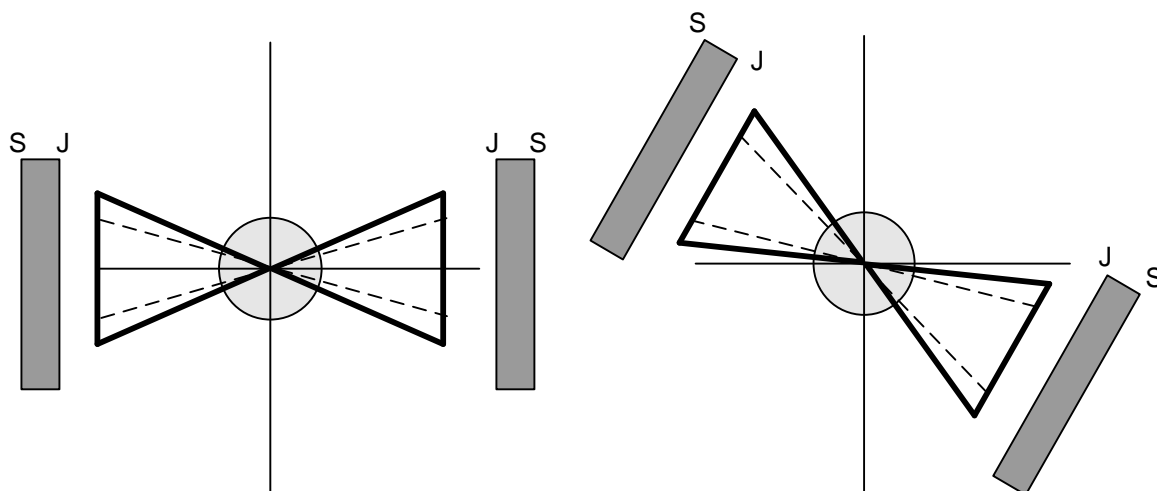
Obr. 57 Pole elektrické indukce D v okolí klastrové struktury vody po přiložení magnetického pole.

Na poloze permanentního magnetu (pod, nad nebo uprostřed dvojitý kuželu) nezáleží. Po odstranění magnetického pole zmenší úhel α a dvojitý kužel se nevrátí do úzkého kuželu. Návrat zajistí přítomnost nebo přiblížení krystalu (např. křemene, turmalínu).



Obr. 58 Působení homogenního magnetického pole na elektrickou indukci D v okolí klastrové struktury vody.

Podobná situace je při aplikaci homogenního magnetického pole kolmé na svislou osu, jak je to znázorněno na obr. 58. Zajímavé je působení gradientního magnetického pole, působícího na dvojitý kužel D . Osa dvojitého kužele se v tomto případě ztotožní s osou gradientního magnetického pole, obr. 59. A to platí i pro otočení osy gradientního magnetického pole mimo svislou osu.



Obr. 59 Působení gradientního magnetického pole na elektrickou indukci D v okolí klastrové struktury vody. Vlevo jsou osy kolmé a vpravo v libovolném směru.

Zemské magnetické pole má vliv na vytvořený dvojitý kužel D . V úzkém dvojitém kuželi D vytváří velmi malý dutý dvojitý kužel a zvýší se úhel α ze 4° na 5° . Lze to ověřit umístěním upravené vody do magnetického stínění a stanovit D a α .

Vliv elektrického pole na uspořádanost struktury vody

Za předpokladu, že střídavé elektrické pole nebo vlna elektrického pole vytváří vír kolem svislé osy, je možné tuto strukturu narušit stíněním. Vhodná struktura stínění je sendvičová, která vznikne např. následujícím způsobem: Proložíme papírovou izolací vodivou fólií v několika vrstvách. V mém případě bylo použito 20 vodivých vrstev.

Experiment 1

Ze sendvičové struktury vytvoříme válec, umístíme jej do svislé polohy a dovnitř vložíme vodu. Tuto strukturu vložíme nad anténní systém pro úpravu vody nebo do válcového prostoru s UV paprsky sloužícího k úpravě vody. V této konfiguraci se voda uspořádá do klastrů a stínění nemá vliv. Rozložení elektrického pole kolem klastrové struktury vody se takovýmto stíněním neovlivní.

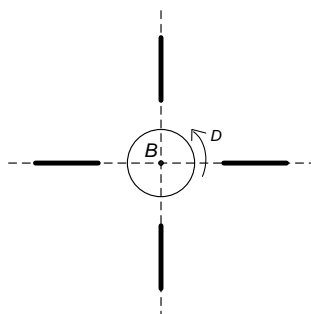
Experiment 2

Stínění uděláme z vodivých desek prokládaných materiálem s velkou permeabilitou. Příkladem jsou např. vodivé plochy prokládané vrstvou papíru nebo titanové běloby (TiO_2).

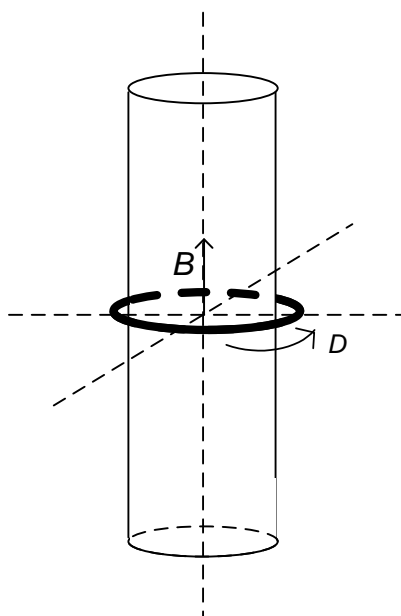
Stínění umístíme v polorovinách procházejícími svislou osou a s otvorem uvnitř. V řezu se to jeví jako sluneční paprsky. Na obr. 60 má stínění jen 4 vodivé plochy a mezi nimi vzduch. Uvnitř válce z desek je umístěna voda a v ose stínění. Vložení takovéto struktury na anténu pro úpravu vody nebo nad válec sloužícího k úpravě vody, nedojde k uspořádání vodních molekul do klastrové struktury.

Vložíme-li uspořádanou vodu do takového stínění, struktura elektrického pole se poruší a kompenzované kyvadlo neukazuje výchylku. Bude-li stínění daleko menší, než výška vodního válce, výchylka kyvadla bude zřetelná, i když malá. To znamená, že uspořádanost elektrického pole je porušena jen mírně. Bude-li mít stínění výšku přibližně poloviční než výška sloupce vody, bude výchylka kyvadla nulová. V případě, že osa stínění bude svírat se svislou osou malý úhel, bude se vírové elektrické pole zvyšovat a pro úhel 90° budou víry elektrického pole stejné, jako bez stínění. Tento vliv byl ověřen použitím chladiče pro tranzistory uvedeného uspořádání. Mezi vodivými žebry byl vzduch.

Z toho lze usuzovat, že víry elektrického pole lze porušit stíněním výše popsaného tvaru a tvar elektrického pole je vírový s víry ve svislé poloze, obr. 60.



Obr. 60 Uspořádání vodivých desek pro působení na elektrickou indukci D v okolí klastrové struktury vody.



Obr. 61 Uspořádání vodivého závitu pro působení na elektrickou indukci D v okolí klastrové struktury vody.

Poznámka: uprostřed takového stínění se vytváří geopatogenní zóna a dochází k deformaci pole působící na buňky. Z toho vyplývá, že svisle umístěné vodivé desky mohou deformovat bioenergetické pole a mohou vytvořit geopatogenní zónu.

Experiment 3

Kyveta s uspořádanou vodou byla celá obalena plásty včelího vosku. Na vnější straně bylo testováno bioelektrické pole kompenzovaným kyvadlem. V tomto uspořádání mělo kyvadlo nulovou výchylku. Elektrické pole ztratilo vírovou strukturu a uspořádanost.

Umístíme-li kyvetu s neuspořádanou vodou obalenou vrstvou včelího vosku na anténu pro úpravu vody nebo do světelného válce, voda se neuspořádá. Včelí vosk působí jako dobrý stínící materiál.

Experiment 4

Umístěním vodivého závitu spojeného nakrátko (obr. 61) dojde vlivem magnetického pole molekul vody k vytvoření vířivých proudů v tomto závitu a k porušení uspořádání molekul. Při přerušení závitu k porušení uspořádanosti nedojde.

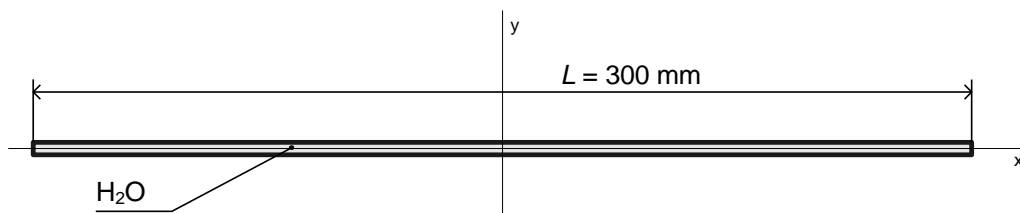
Tab. 26. Vliv různých materiálů na rozpad uspořádanosti molekul vody.

materiál	tloušťka / mm	útlum v % za 30 s
včelí vosk tl.	2	99,9
vzduch	2	96,2
zrcadlo - jedno	1	80
zrcadla - dvě odráží do Cu	1+1	99
vosk - svíčka	3	98,8
(Sklo-TiO ₂)x11	1-0,2-1-0,2 ...	99,1
Sklo - TiO ₂ – sklo	1 - 0,2 - 1	40
papír	0,1	20
zkrat dotykem	0,05	10
polystyrén	1	25
teflon	2	9
křemenné sklo	2	30
list euforbie	0,5	6
sklo	0,12	10

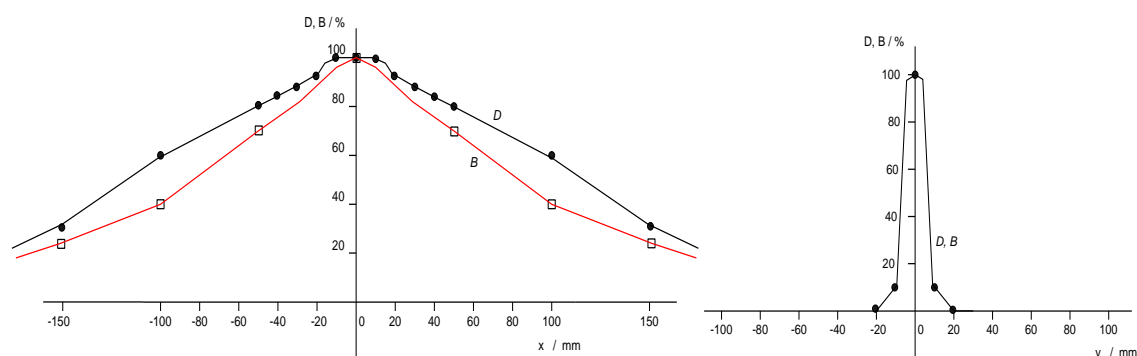
Kruhový zavit o průměru 95 mm z Cu vodiče o průměru 3 mm byl přerušen a do mezery byly vkládány různé materiály. Zavit byl umístěn doprostřed výšky kádinky s uspořádanou vodou. Byl sledován rozpad uspořádanosti za 30 s pomocí poklesu D v % původního stavu, Tab. 26.

Provedený experiment ukazuje, že některé materiály jsou dobrým vodičem pro elektrické pole molekul vody a poruší jejich uspořádanost. Existuje však skupina dobrých izolantů neporušujících uspořádanost molekul vody.

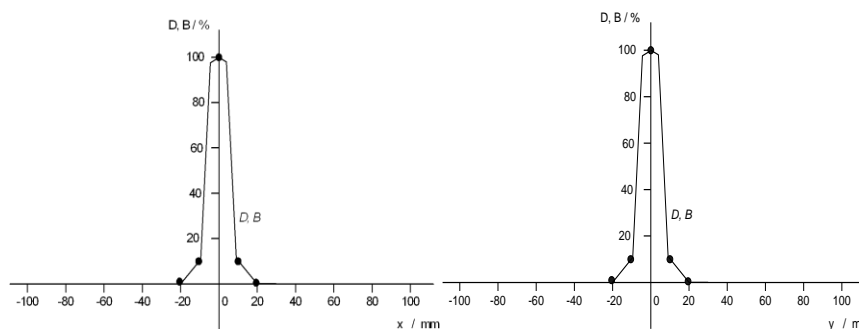
Elektromagnetické pole molekul vody v úzkém válci



Obr. 62. Vodorovný válec naplněný vodou.



Obr. 63. Průběh elektromagnetického pole (D a B) na podélné (vlevo) a příčné (vpravo) ose při umístění válce ve vodorovné poloze.



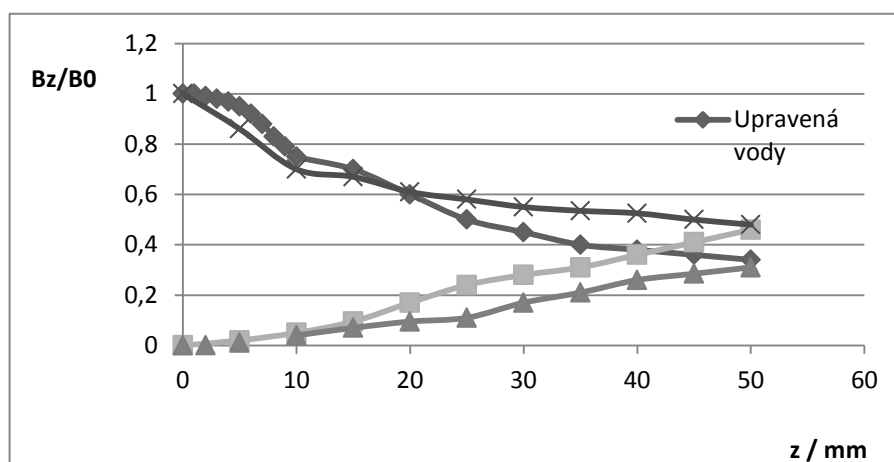
Obr. 64. Průběh elektromagnetického pole (D a B) na podélné (vlevo) a příčné (vpravo) ose při umístění válce ve svislé poloze.

Vložíme uspořádanou strukturu molekul vody do úzkého válce o rozměrech – průměr 3 mm a délky 300 mm, obr. 62. Válec necht' je ve svislé poloze nebo vodorovně. Stanovíme složky D a B podél osy válce, obr. 63, a v rovině kolmé na osu, obr. 64.

Z experimentu vyplývá, že elektromagnetické pole materiálů ve formě tenkých dlouhých tyčí má formu dvojitého kužele procházející těžištěm. Stejně to platí při umístění tyčového materiálu ve svislé poloze.

Vliv statického magnetického pole na elektromagnetické pole molekul vody

Byl proveden následující pokus. V kulové kyvetě o vnějším průměru 10 mm byla aktivovaná voda. Kyveta byla umístěna do jednozávitové kruhové cívky o průměru 50 mm, do které byl zaveden proměnný stejnosměrný proud I . Volně kmitajícím kyvadlem v ruce byl sledován pohyb. Pro nulový proud byl kruhový pohyb kyvadla proti směru hodinových ručiček. Pro proudy tekoucí cívku větší než $200 \mu\text{A}$ (pro tento proud bude ve středu cívky magnetické pole $B_{I=200} = 4,99 \cdot 10^{-10} \text{ T}$) byl kruhový pohyb kyvadla ve směru hodinových ručiček. Proud, pro který se pohyb kyvadla zastaví, byl $I = 185 \mu\text{A}$ ($B_{I=185} = 4,62 \cdot 10^{-10} \text{ T}$). Pro tuto velikost proudu dochází ke kompenzaci magnetických polí. Při přepólování proudu ke kompenzaci nedochází.



Obr. 65 Průběh magnetického pole $B_{I=0}$, ($B_{I=92}$, $B_{I=185}$) v ose z a pole jednozávitové cívky při kompenzaci.

Průběh magnetického pole v ose z pro různá kompenzační magnetická pole je uveden v Tab. 27 a obr. 65. Současně je znázorněno pole samotné jednozávitové cívky.

Druhý pokus byl proveden s cívku složenou ze dvou kruhových závitů vzdálených od sebe $d = 40 \text{ mm}$ (blízké Helmholtzovému uspořádání). Magnetické pole je v takové cívce homogennější. Proud, při kterém dochází ke kompenzaci magnetických polí, byl $I = 152 \mu\text{A}$ ($B_{I=152} = 3,64 \cdot 10^{-10} \text{ T}$). Výsledek se dobře shoduje s předchozím pokusem.

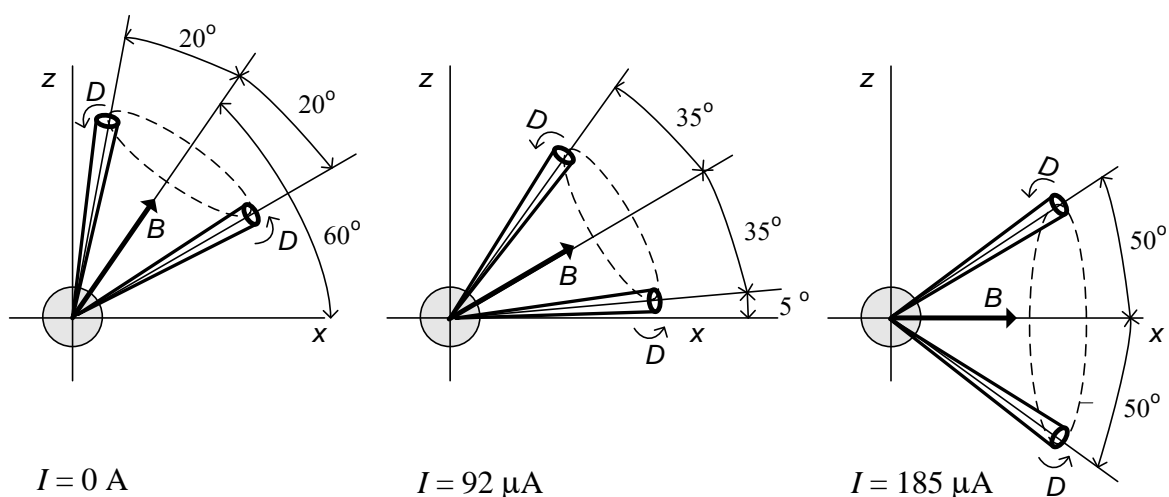
Třetím pokusem bylo stanovení závislosti kompenzačního pole na objemu uspořádané vody. Do kyvety bylo postupně zvyšováno množství vody po kvantech 25 ml (25, 50, 75, 100 ml) a určována velikost kompenzačního proudu. Bylo zjištěno, že velikost kompenzačního proudu je stálá ($185 \mu\text{A}$) a nezávisí na objemu uspořádané vody.

Předpokládám, že kužel magnetického a elektrického pole molekul vody je v prostoru bez magnetického pole ve svislé poloze. Nachází-li se kužel elektromagnetického pole molekul vody v zemském gravitačním magnetickém poli, bude vykonávat precesní pohyb podobně jako jádra v NMR, obr. 66 vlevo.

Budeme-li ve svislé rovině z aplikovat statické magnetické pole, vytvořené jedním závitom umístěným v rovině x,y a protékáným proudem $I = 92 \mu\text{A}$ ($185 \mu\text{A}$), bude elektromagnetická vlna precesovat kolem pole daným vektorovým součtem elektromagnetických vln a přídavného magnetického pole. Tato situace je znázorněna na obr. 66 a obr. 67, přičemž vektory jsou znázorněny v té velikosti, v jaké byly experimentálně zjištěny. Pro vykompenzování pole v ose z je tedy nutné vytvořit pole $B_{I=185}$, které odpovídá velikosti $0,86 \cdot B_0$, kde B_0 je velikost magnetického pole.

Tab. 27 Průběh magnetického pole $B_{I=0}$, ($B_{I=92}$, $B_{I=185}$) v ose z a pole jednozávitové cívky při kompenzaci.

	jen voda upravená			jen cívka
	$I_k = 0$ mA	$I_k = 0,184$ mA	$I_k = 0,152$ mA	$I_k = 0,184$ mA
	v ose z	v ose z	v ose z	v ose z
z / mm	B_z / -	B_z / -	B_z / -	B_z / -
0	1	0	0	1
1	1			
2	0,99		0	
3	0,98			
4	0,968			
5	0,95	0,02	0,01	0,86
6	0,92			
7	0,88			
8	0,83			
9	0,79			
10	0,75	0,05	0,04	0,7
15	0,7	0,095	0,07	0,67
20	0,6	0,17	0,095	0,61
25	0,5	0,24	0,11	0,58
30	0,45	0,28	0,17	0,55
35	0,4	0,31	0,21	0,535
40	0,38	0,36	0,26	0,525
45	0,36	0,41	0,285	0,5
50	0,34	0,46	0,31	0,48
	$B_z = 0$ T	$B_z = 4,62 \cdot 10^{-10}$ T	$B_z = 3,64 \cdot 10^{-10}$ T	$B_z = 4,62 \cdot 10^{-10}$ T

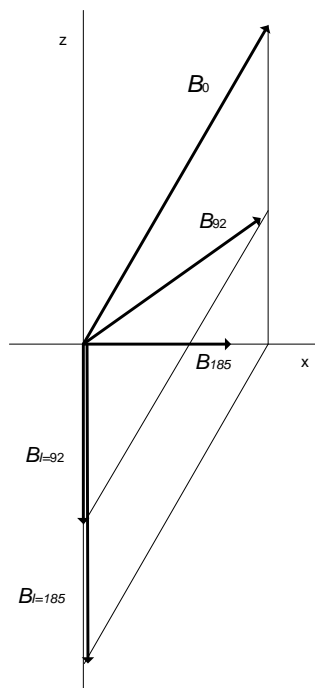

 Obr. 66 Pohyb elektromagnetické vlny v magnetickém poli $B_{I=92}$ ($B_{I=185}$) buzeném jedním závitem v rovině x,y protékajícím proudem $I = 0$ μ A (92 μ A, 185 μ A).

Magnetické pole jednoho kruhového závitu je dáno vztahem

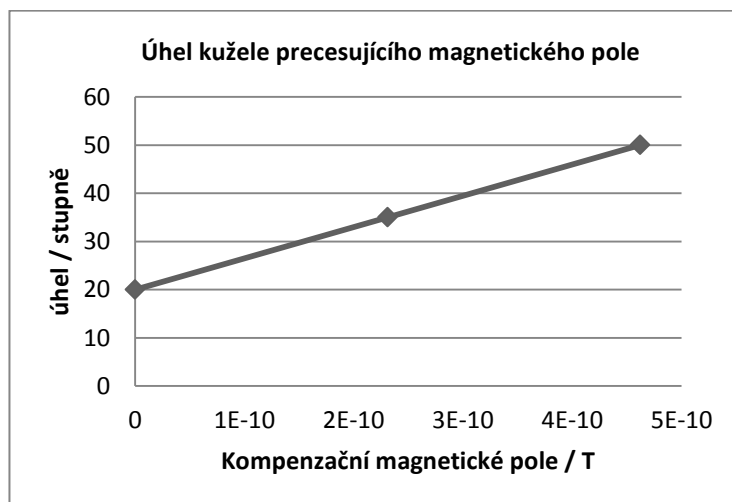
$$B = I \cdot \mu_0 / 2 r,$$

kde $\mu_0 = 1,256 \cdot 10^{-12}$ H/m, $r = 25$ mm, $I = 185 \mu\text{A}$. Magnetické pole ve středu závitu je $B_{I=185} = 4,62 \cdot 10^{-10}$ T.

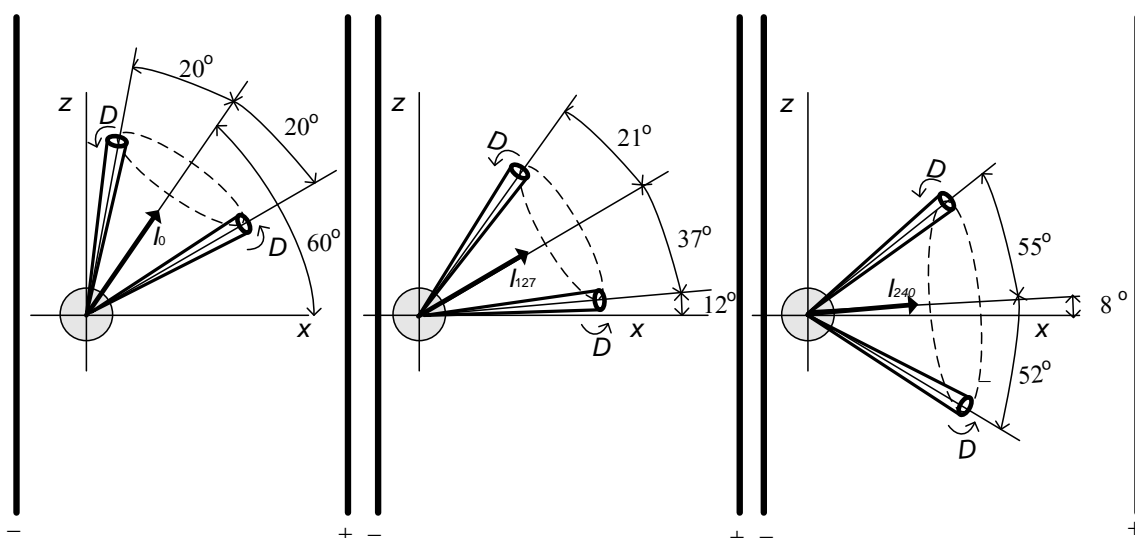
Experimentálně byl zjišťován vliv elektrostatického pole na pohyb elektromagnetické vlny. Se vzrůstajícím elektrickým polem se zvyšuje úhel sklonu precese elektromagnetické vlny, obr. 69.



Obr. 67 Skládání vektorů zemského magnetického pole s inklinací 60° B_0 s poli $B_{I=92}$ ($B_{I=185}$) buzenými protékajícím proudem $I = 92 \mu\text{A}$ ($185 \mu\text{A}$) jedním závitem v rovině x,y .



Obr. 68 Úhel kužele precesujícího magnetického pole B v závislosti na velikosti kompenzačního magnetického pole $B_{I=185}$



Obr. 69 Pohyb elektromagnetických vln ve statickém elektrickém poli E_{127} (E_{270}) buzeném napětím na dvou paralelních elektrodách v rovině x, y . $U = 0$ V (19 V, 36 V); vzdálenost elektrod je 0,15 m.

Sedmý dílčí závěr o vodě

Voda je zajímavou tekutinou. Voda z hlediska hmoty tvoří většinu našeho těla, přičemž optimálně by lidské tělo mělo obsahovat 60% vody a to volné nebo vázané v buňkách a tkáních. Z toho důvodu je funkce celého lidského organismu závislá na kvalitě a vlastnostech vody. Pro určení vlivu aktivované vody na lidský organismus je důležité znát fyzikální a chemické vlastnosti vody v lidském těle.

Poznání vody, jako shluku velkého množství jednoduchých molekul složených z kyslíkových a vodíkových atomů, vychází z představ složení atomů a jejich subčástic, ze kterých jsou složeny. Je možné přijmout hypotézu, že atomy jsou specifická elektromagnetická pole uspořádaná do toroidních (prstencových) struktur. Tato hypotéza o složení hmoty vysvětluje vznik a velikost fyzikálních sil mezi protony, elektrony, neutrony a dalšími strukturami hmoty a ukazuje na uspořádání atomů a různých chemických látek. Zároveň lze předvídat některá zvláštní chování některých materiálů. Tato hypotéza může také lépe než současný fyzikální pohled zdůvodňovat zvláštní vlastnosti a anomálie vody. Ve většině případů není možné změny vlastností vody zjistit fyzikálním měřením.

Pro lidské zdraví a správnou funkci buněk v těle může mít voda příznivý vliv. Záleží však na jejich vlastnostech. V současné době existují různé druhy aktivovaných nebo jinak upravených vod. Pro posouzení uspořádanosti molekul vody je vhodné zavést tři nezávislé parametry. Jeden z nich – **harmonizace molekul** - se týká úrovně uspořádání spinů atomů, jader a elektronů. Druhou veličinou pro posouzení uspořádanosti molekul vody je velikost **energie**. Energie je úměrná velikosti pole mezonů, které tvoří strukturu hmoty a které se vyskytují v okolí sledované vody a v celém vesmíru. Třetím parametrem posouzení příznivosti nebo aktivity vody pro člověka je **šířka frekvenčního pásma** vyjádřená v hodnotách mocniny 10^x Hz. Frekvenční šířka pásma určuje, jak vysoké frekvence bude mít vlnění vodních částic a také charakterizuje, jak vysoké frekvence bioenergetického pole můžeme do vody zaznamenat.

Z předchozího textu vyplývá, že pro aktivaci vody je vhodné ovlivnit všechny tři parametry vody. Jedná se o velikost energie, harmonizaci a maximální frekvenci vln vody. Čím se budou hodnoty těchto parametrů blížit hodnotám vesmírného vlnění, tím lépe. Týká se to především vody a vodních molekul v celém lidském těle. Otázkou je, jaké existují fyzikální způsoby aktivace vody v těle člověka. Pro zjednodušení je možné popsat soubor technik pro aktivaci čisté (deionizované vody) a potom přenést tyto techniky na aktivaci vody v těle.

Cílem popsaných způsobů aktivace vody je použití definovaných fyzikálních polí, do kterých se vloží neaktivovaná voda. Molekuly vody jsou dobře pohyblivé a působí na ně fyzikální síly a to takovým způsobem, že se seskupí do žádaných struktur, ve kterých na molekuly působí vzájemné síly, udržující je v žádané prostorové struktuře. Je to podobné uspořádání jemných železných pilin nad magnetem, Piliny se uspořádají ve směru magnetických siločar a to za velmi krátkou dobu. Běžná voda má chaotické uspořádání molekul a přitažlivé síly mezi molekulami jsou malé. To je důvodem, že běžná voda v blízkosti aktivované vody neovlivní její uspořádání.

V současné době byly ověřeny tři základní možnosti aktivace molekul vody, které jsou založené jen na působení fyzikálních polí. Je samozřejmé, že stejnou úroveň aktivace vody lze dosáhnout i mentálními způsoby. Patří mezi ně např. mentální spektrálně-spinová úprava vody, mentální vkládání specifických informací do vody a mentální sfázování vln subčástic elektronů.

Experimentálně byly ověřeny tři základní fyzikální způsoby aktivace molekul vody. Prvním z nich je vložení vody do šroubovicového magnetického pole na dobu asi 2 minut. Tato aktivace nemění energii vody ani maximální frekvenci molekul. Experiment je jednoduchý a ukazuje na skutečnost, že v určitém magnetickém poli se molekuly vody uspořádají do výhodnější struktury. Druhým způsobem je vložení vody do akumulátoru bioenergetického pole. Za krátkou chvíli dojde k harmonizaci a zároveň ke zvýšení energie vody. Kromě harmonizace molekul vody je pro aktivaci důležité zvýšit **energii dynamického systému vody** a také zajistit sfázování subčástic elektronů a jader molekul vody. K tomu účelu byly vyvinuty různé typy akumulátorů bioenergetického pole. Zvláštní kapitolou je zvyšování **maximální frekvence vlnění vody**. Několikanásobné zmrazení vody a následné rozmrazení výrazně zvyšuje maximální frekvenci vody.

Akumulátory bioenergetického pole jsou určeny pro zvýšení energie buněk. Pracují na principu vytvoření prostoru, do něhož bioenergetické vlny budou vstupovat a akumulátor tyto vlny nepropustí stěnami ven. Je třeba vytvořit pro bioenergetické vlny polopropustné stěny uzavřeného prostoru. Přes takové stěny budou vlny procházet dovnitř. Ve vnitřním prostoru budou vlny procházet např. kolem stěn a vracet se středem prostoru. Tím dojde k akumulaci vln. Důležité je, aby došlo ke sfázování vln.

Vlastnosti aktivované vody je možné ovlivnit elektrickými a magnetickými poli. Změní se prostorové uspořádání makroskopicky sledovaných elektromagnetických polí molekul vody. To má význam pro pochopení chování molekul vody a především pro výzkum detekce polí vodních molekul. V důsledku to bude mít význam pro detekci elektromagnetických polí člověka.

Při aktivování vody dochází ke změně parametrů vody. Pro člověka má aktivování všech tří parametrů vody uvnitř těla velký význam. Dochází k uklidnění nervového systému, jeho detoxikaci, odstranění části toxinů v nervových buňkách apod. To vše má potom za následek zklidnění problémů na fyzickém těle. Je nutné zdůraznit, že je nutné aktivovat všechny tři parametry vody. Ne vždy k tomu dochází.

Závěr

Pochopení nejjemnějších struktur vesmíru a vesmírných zákonů je jedním z kroků pro pochopení života na Zemi, jeho zákonitostí a postupných proměn. V důsledku to lidem může přinést něco zajímavého ve vědeckém poznání a pochopení života. Současně toto poznání bude prospěšné pro lidskou společnost, její soužití a udržení se po co nejdélší dobu. Lidstvo si tvoří zajímavou mozaiku o fungování živé i neživé hmoty na Zemi člověka nevyjímaje. Je samozřejmé, že do této mozaiky zapadají všechny negativní jevy v lidské společnosti, probíhající již tisíce a tisíce let.

Text této knihy je určen především zájemcům o zajímavou a přitom jednoduchou oblast psychotroniky, o používání lidské myšlenky k nápravě jak našeho fyzického, tak i duchovního těla. Současně správně formulovaná myšlenka nás může dovést k odpovědím na zajímavé jevy doposud známé i neznámé. Poznatky a zkušenosti z experimentů přispějí k prohloubení poznání chování živé i neživé hmoty na Zemi. Hypotéza o struktuře vesmíru naznačuje jiný pohled na vesmír a hmotu v něm. Může a nemusí pravdivě popisovat nejjemnější strukturu hmoty, ale může inspirovat jedince pro hledání důkazů a nových cest v popisu vesmíru.

Zajímavou je i část zabývající se aktivací vody čistě fyzikálními elektromagnetickými poli. Do jiné oblasti patří mentální aktivace vody, která je cíleně v tomto textu vynechána. Výsledky porovnání vod aktivovaných různými způsoby ukazují na značné rozdíly. Bude proto potřeba dále hledat srovnávací metody ukazující na příznivé účinky aktivace v chemických procesech nebo na experimentech s biologickými tkáněmi. Způsoby aktivace vody prohlubují poznání o stavbě hmoty a zároveň vzniká voda se specifickým uspořádáním atomů prospěšná lidskému organismu.

Metody a postupy mentální diagnostiky a způsoby působení na pacienty jsou zajímavé, ale jsou natolik specifické a rozsáhlé, že je nelze popisovat spolu s technickým popisem fyzikálních jevů. Mnoho léčebných mentálních myšlenek je možné převést na působení přesně definovanými fyzikálními poli malých energií. Pro podporu této myšlenky jsou popsány některé experimenty propojující oblast mentální s fyzikální a také medicínskou.

Ukázaný fyzikální pohled na léčitelství by mohl přispět k přiblížení léčitelství k medicíně a ke snížení počtu odpůrců z řad odborníků z různých oborů. Současně by mohl podnítit tyto odborníky hledat cestu k potřebným důkazům.

Literatura

- [1] Bartušek Karel, Mentální léčení fyzikální silou myšlenky, Brno, 2012, <https://www.isibrno.cz/~bar/>.
- [2] Werner, P., Ošmera, P., *Základy modelování prstencové struktury elementárních částic hmoty, víceúrovňová vírová struktura, návrh modelů*, (2018), Vysoké učení technické v Brně, UTEE FEKT VUT v Brně.
- [3] Anslyn, E. V., Dougherty D. A., (2005), *Modern Physical Organic Chemistry*, University Science Books, Kausalito, (2005), California. ISBN 1-891389-9.
- [4] Himmer A., Digitální holografie a její aplikace, diplomová práce, Přírodovědecká fakulta UP v Olomouci, (2011).
- [5] Bartušek, K., Spektrálně spinová terapie.pdf, <https://www.isibrno.cz/~bar/>
- [6] Bartušek, K., Fyzické tělo, myšlení a duchovno, <https://www.isibrno.cz/~bar/>
- [7] Bartušek, K., Diagnostika nemocí nervového systému, <https://www.isibrno.cz/~bar/>
- [8] Zrubec V., Elektromagnetická zmyslová sústava ľudského organizmu, Bratislava, 2008
- [9] Tisková zpráva VŠCHT Praha ze dne 21. září 2012 zveřejněná na http://www.vscht.cz/homepage/tisk/tiskove_zpravy/2012/science.
- [10] Cristoph C. Pradzynski, Richard M. Forck, Thomas Zeuch, Petr Slavíček, Udo Buck, A fully size-resolved perspective on the crystallization of water clusters, *Science* 337, 1529-1532, 2012.
- [11] Vacek Karel, Voda - známá neznámá, *Pokroky matematiky, fyziky a astronomie*, Vol. 42 (1997), No. 3, 134—143.
- [12] 21století EXTRA, podzim/2012.
- [13] Mayl, K., *Scalar waves*, (2003), Amazon.
- [14] Tea, PL, Elementary theory of the gyroscope, *Journal of the Franklin Institute*, Volume 214, 299-325, DOI: 10.1016/S0016-0032(32)90933-8, 1932. <https://en.wikipedia.org/wiki/Gyroscope>.
- [15] Slichter C. P., *The Principles of Nuclear Magnetism*, Springer – Verlag, New York, 1980.
- [16] Allen D. Elster, MD FACR, Chair, Emeritus, Division of Radiologic Sciences, Wake Forest School of Medicine, Winston-Salem, NC 27106, <http://mriquestions.com/adiabatic-pulses.html>
- [17] Tannus A, Garwood M. Adiabatic pulses. *NMR in Biomed* 1997;10:423-434.
- [18] DeGraaf RA, Nicolay K. Adiabatic rf pulses: Applications to *in vivo* NMR. *Concept Magn Res* 1997; 9, 247-268.
- [19] <http://www.rpi.edu/dept/phys/Courses/phys410/lct10.pdf>
- [20] Fiala P., ústní sdělení, UTEE FEKT VUT v Brně, 2016.
- [21] Veverka D., konstrukce a ústní sdělení, Lednice, 2018.

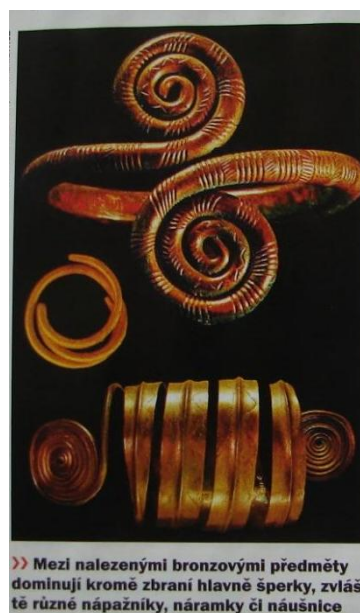
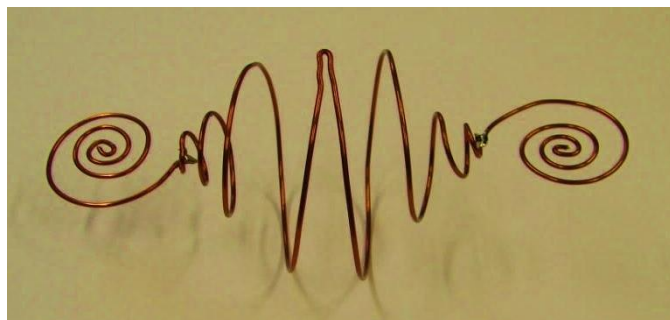
Příloha

Fyzikální metody harmonizace molekul vody jsou rozdílné. Postupem vývoje prošly několika typy konstrukcí. Mezi metody aktivace vody patří např. spirálový anténní systém, kruhový laserový paprsek, vysílač 3,5 GHz, světelné pole, šroubovicové magnetické pole, mentálně-spinová úprava a akumulátory bioenergetického pole. Úpravy šroubovicovým magnetickým polem, mentálně-spinovou úpravou a pomocí akumulátorů bioenergetického pole jsou popsány v kapitole o vodě. Zbývající přechodné systémy jsou popsány v této příloze.

Spirálový anténní systém

Spirálový anténní systém vytvoří ve svém okolí elektromagnetické pole, které uspořádá molekuly vody do prostorové kulové struktury, je znázorněný na obr. 70. Spirálový anténní systém je tvořen čtyřmi pasivními spirálovými anténami v definovaném prostorovém uspořádání. Z obr. 71 je konstrukce zřejmá. Inspirací pro toto uspořádání byly archeologické nálezy bronzových předmětů. Příklad je uveden na obr. 70 (Inspirace v historii: [5]).

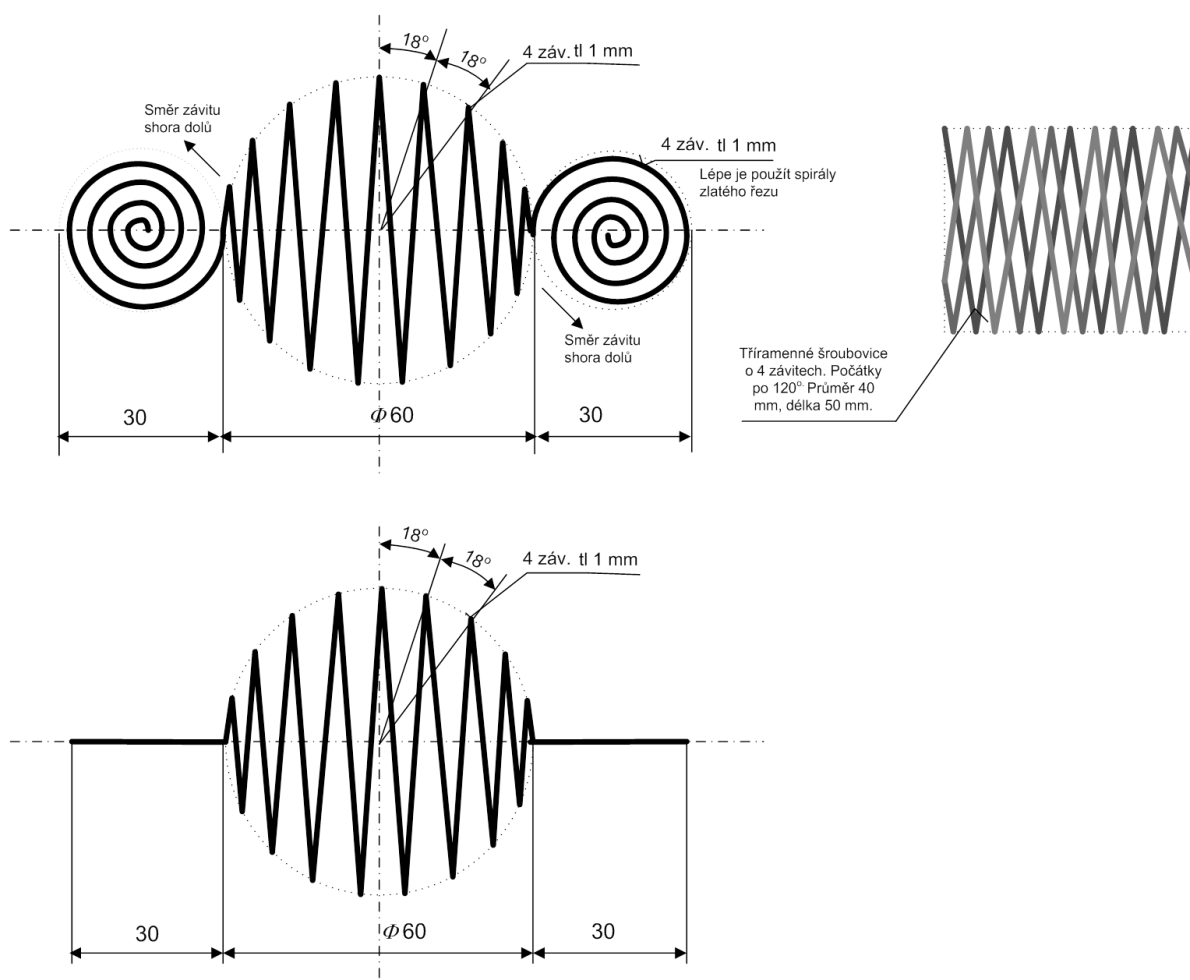
Ve středu spirálového anténního systému jsou proti sobě dvě prostorové velké logaritmické spirály vedené po povrchu koule o průměru 60 mm. Osa spirál je ve vodorovné poloze. Obě spirály mají 4 závity. Směr stáčení je souhlasný. Na obou stranách ve středu velkých spirál (těmito body prochází osa koule) jsou umístěny další dvě malé logaritmické spirály uložené ve vodorovné rovině, kterou prochází osa koule a bod styku obou velkých spirál. Malé spirály se stáčí do svého středu a to navzájem opačně (připomínají písmeno S z pohledu shora, kam se umísťuje vzorek s vodou). Jejich vnější průměr je 30 mm a každá má 4 závity. Body styku všech spirál jsou vodivě spojeny. Všechny spirály jsou z Cu vodiče o průměru 1 až 2,5 mm. Materiál mimo spirálu by měl mít malou permitivitu $\epsilon_R \sim 2$. Je možné celou anténu zalít do elektretu z epoxidové pryskyřice naplněné TiO_2 (titanová běloba). Elektrické pole o velikosti $>20 \text{ kV/m}$ působící při tuhnutí pryskyřice je kolmé na směr osy koule.



Obr. 70 Spirálová anténní struktura (vlevo) a inspirace v historii [5].

Úprava vody spočívá v umístění spirálové antény do vody, nebo lze vodu v nádobce umístit v blízkosti velkých logaritmických spirál (do 20 cm). Doba uspořádání je 2 hodiny. Za běžných domácích podmínek vydrží uspořádání vody asi 1,5 roku. Uspořádaná struktura se poruší při ohřevu vody na teplotu $> 60^\circ$ po dobu 1 hodiny (při teplotě $> 70^\circ$ se struktura poruší rychleji, přibližně za 10 min.). Také v blízkosti magnetického pole o intenzitě > 10 mT se uspořádanost molekul vody poruší.

Ještě větší stupeň harmonizace vody bude mít uspořádání vodních molekul v podobě prostorové koule, přičemž uvnitř koule bude prostorově uspořádaná krychle z molekul vody o velikosti od $1/3$ do $1/8$ průměru koule. Pro toto uspořádání je třeba ke spirálové anténní struktuře přidat strukturu ze tří šroubovic vzájemně pootočených o 120° , obr 71. Nejjednodušší provedení je vytvořit šroubovice z trojlinky stočené do šroubovice a vhodně ukončenými konci po 120° . Umístění jejich os je kolmé na rovinu obou malých plochých spirál. Průměr spirály je 30 mm a směr vinutí je proti vinutí plochých spirál.



Obr. 71 Konstrukční řešení Spirálové antény pro uspořádání vody.

Poznámka: Šándorův stabilizátor (krystal turmalínu v elektretu) způsobí jemné kmity molekul kolem střední hodnoty a tím odstraní nedotvořené vazby či poruchy v pravidelné struktuře a zpevní strukturu. Ta je pevnější a vydrží delší dobu. Stabilizátor je určen pro stabilizování informací ve vodě případně v jiných materiálech. Pro stabilizování informací v lidském těle je vhodný i krystal grafitu nejlépe v přírodní formě, nebroušený.

Laserový paprsek

Jinou možností harmonizace vody je použití kruhového laserového paprsek. Jedná se o vytvoření válcového prostoru, přičemž se laserový paprsek šíří po obvodě. Systém se dá vytvořit jednoduše zavedením laserového paprsku do stěny svisle postavené skleněné trubice. Tato trubice se umístí na anténní systém popsany v první části úpravy. Voda pro aktivaci se umístí do středu válce. Jak zavedeme laserový paprsek do trubice? Na hraně trubice (na jejím konci) se udělá zářez pod úhlem asi 30° a paralelně s osou trubice. Tímto zářezem se zavede laserový paprsek do stěny trubice. Optimální vlnová délka světla je 320 nm (oblast UV). Pro úpravu vody byla použita modrá LED dioda L-934SBC-F+G (470 nm) nebo výhodnější UV led dioda L-53UVC+G (400 nm).

V prostoru uvnitř trubice se vytvoří vhodné elektromagnetické pole a molekuly se podle něj uspořádají ve větší celky – klastry. Protože světlo velmi málo odchází z trubice její stěnou, byl proveden následující pokus. Kyveta s neaktivovanou vodou o průměru asi $1/3$ průměru trubice se světelnými paprsky byla vložena souose do trubice. Aktivace vody probíhala asi 2 hod. V druhém pokusu byla kyveta omotána hliníkovou fólií a vložena do trubice. Úprava proběhla opět za stejnou dobu jako v předchozím případě. Ve třetím případě byl použit obal kyvety sestavený ze sendviče složeného 20-ti alobalovými fóliemi proloženými listy papíru. Výsledná doba úpravy byla opět stejná, jako v předchozích případech. Sendvičová struktura optimálně odstíní UV paprsky, pokud by vycházely z trubice.

Je možné vyslovit následující hypotézu. Podle teorie elektromagnetického pole (Laplaceova rovnice) u elektromagnetických polí s libovolným prostorovým rozložením bez zdrojů, odpovídají libovolnému prostorovému rozložení elektromagnetickému poli jednoznačné okrajové podmínky na uzavřené křivce. Kruhový světelný paprsek pak interaguje s vírovým elektromagnetickým polem molekul vody a vytvoří pro něj vhodné a definované okrajové podmínky. Těmto okrajovým podmínkám tedy odpovídá rozložení vírového elektromagnetického pole uvnitř trubice. Dojde k interakci vírového pole molekul vody s elektromagnetickým polem laserového paprsku a vírové pole změní své prostorové uspořádání. To vysvětluje, proč se molekuly vody uspořádají do výhodnější prostorové struktury s menšími vazebnými energiemi.

;

Vysílač 3,5 GHz

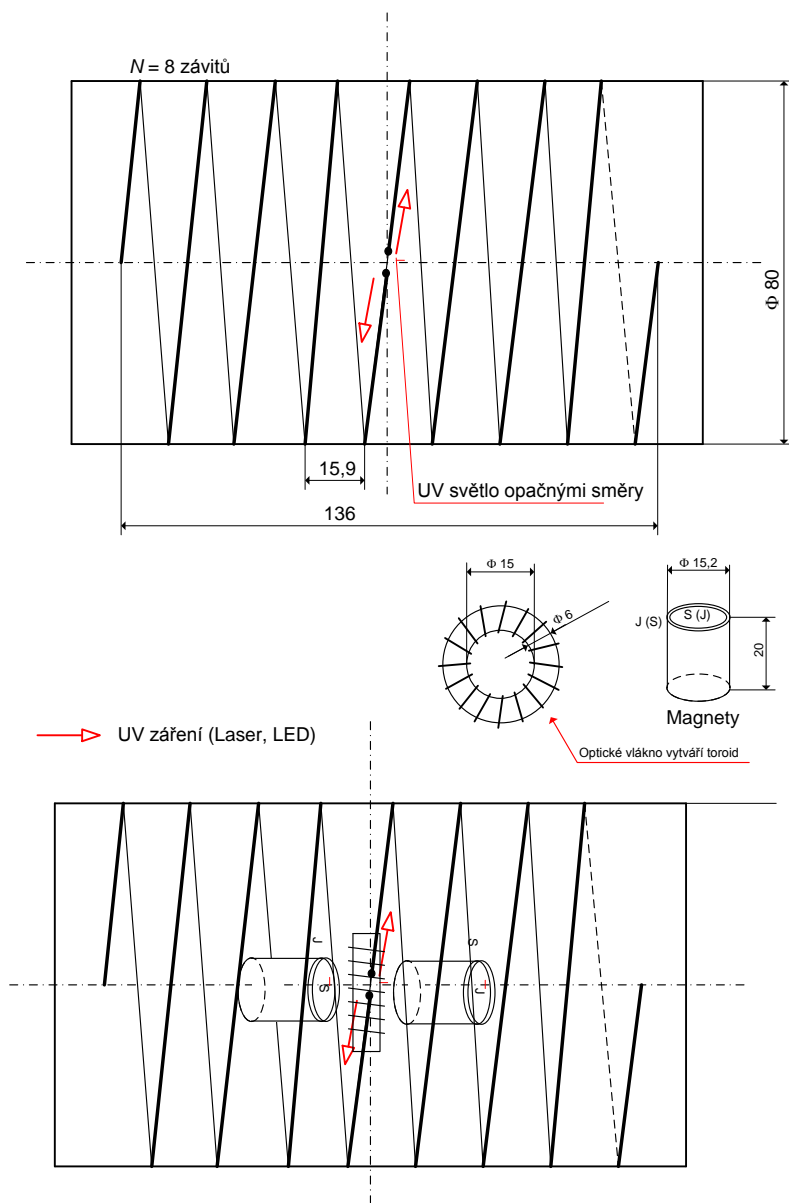
Vysílač v mobilu vysílá impulsy s frekvencí 1,8 GHz. Spektrální složky tohoto signálu se vyskytují i na frekvenci 3,5 GHz. Přiblížením vysílače k úpravě vody prováděné současně dvěma dříve popsanými způsoby se zlepší uspořádaná struktura a voda bude mít větší velikost elektrické indukce D (její směr je v kružnici kolem svislice nad molekulami vody) v porovnání s předchozími úpravami.

Světelné pole

Dalším vývojovým krokem při hledání zařízení pro úpravu vody na uspořádání s minimální energií bylo využití UV světla. Zařízení navazuje na předchozí řešení a konstrukční uspořádání je uvedeno na obr. 72.

Ze světelného zdroje UV záření o vlnové délce 320 nm (byla použita modrá LED dioda nebo je možné použít UV LED diodu, která je spektrálně lepší) jsou světelné paprsky vedeny do dvou optických vláken. Ty jsou navinuty na válci o průměru 140 mm a tvoří dvě šroubovice

(navazují na sebe a mají stejný směr vinutí). Osa válce je ve vodorovné poloze. Paprsky vstupují do šroubovice v jejím středu a šíří se opačnými směry. Optická vlákna nejsou na konci zakončena. Do středu válce je umístěn na trubici toroid s osou totožnou s osou válce, na kterém je navinuto vlákno s vyšší permitivitou (např. optické vlákno). Na obě strany od toroidu je umístěn toroid z permanentního magnetu. Je stočen z pryžového magnetu 15x65x2 mm jižním pólem k ose. V ose válce se šíří druhý UV světelný paprsek (z jiného zdroje). Tento paprsek je modulován a vytváří vhodné prostředí pro uspořádání vodních molekul. Upravenou vodou prochází tento paprsek a uspořádá její molekuly. Doba uspořádání je 2 minuty.



Obr. 72 Konstrukční uspořádání světelného pole pro úpravu vodních molekul na minimální energii. Uvedené rozměry jsou pro stimulator lidské krve.

Tato kniha je určena především zájemcům o zajímavou a přitom jednoduchou oblast psychotroniky, o používání lidské myšlenky k nápravě jak našeho fyzického, tak i duchovního těla. Současně správně formulovaná myšlenka nás může dovést k odpovědím na zajímavé jevy doposud známé i neznámé. Kniha shrnuje poznatky a zkušenosti z experimentů vedoucích k prohloubení poznání chování živé i neživé hmoty na Zemi. Hypotéza o struktuře vesmíru naznačuje jiný pohled na vesmír a hmotu v něm. Zajímavou je i část zabývající se aktivací vody čistě fyzikálními elektromagnetickými poli. Způsoby aktivace vody prohlubují poznání o stavbě hmoty a zároveň vzniká voda se specifickým uspořádáním atomů prospěšná lidskému organismu. Cíleně se kniha nezabývá metodami a postupy mentální diagnostiky a způsoby působení na pacienty. Toto téma je specifické a nelze jej popisovat spolu s technickým popisem fyzikálních jevů.

V knize je ukázán fyzikální pohled na léčitelství proto, aby se léčitelství přiblížilo medicíně, snížil se počet odpůrců z řad odborníků z různých oborů a podnítilo tyto odborníky hledat cestu k potřebným důkazům. Mnoho léčebných mentálních myšlenek je možné převést na působení přesně definovanými fyzikálními poli malých energií. Věřím, že sestrojení diagnostického přístroje na bázi reakce lidského těla na definovanou a cílenou stimulaci bude v krátké době možné.

Autor knihy prof. Ing. Karel Bartušek, DrSc. je vědeckým pracovníkem zabývající se technikami měření elektrických a magnetických polí a rozvojem metod magneticko-rezonanční tomografie. Na základě vlastních zkušeností, výsledků mnoha experimentálních pokusů v oblasti psychotroniky a statisticky významných reakcí lidského organismu na mentální stimulace, používá zajímavý směr mentální diagnostiky a terapie. Pomohl mnoha lidem odstranit jejich zdravotní problémy. Hlavním cílem bádání je však hledat propojení klasické medicíny a léčitelství na základě fyzikálního vysvětlení.

Souznění vesmíru a člověka

z celostního psychotronického pohledu

prof. Karel Bartušek, DrSc.

©2018, bar@isibrno.cz

vydáno vlastním nákladem

v elektronické podobě v roce 2018